



# Envejecimiento cerebral, inflamación y neurodegeneración

**María Trinidad Herrero Ezquierro**

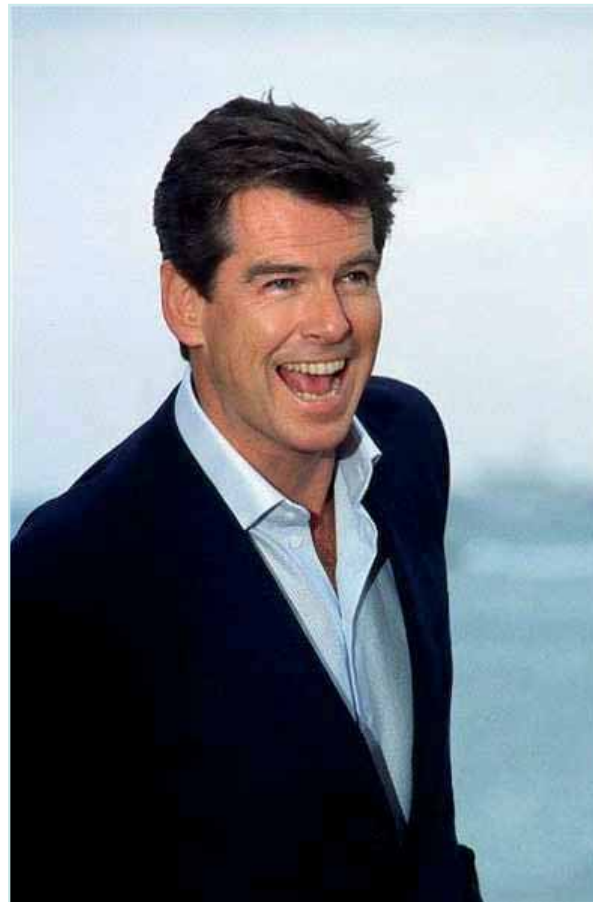
Neurociencia Clínica y Experimental  
(NiCE- CIBERNED)

Facultad de Ciencias de la Salud (Medicina)  
. Universidad Jaume I - Spain

Siglo XVIII



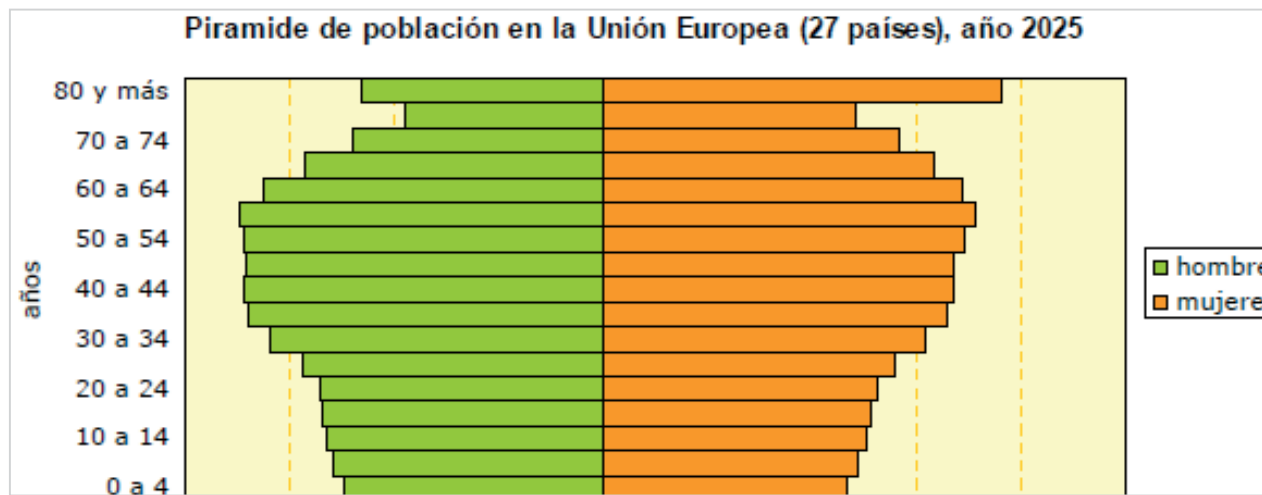
Siglo XXI



Dos “jóvenes de 50 años”

Carlos IV de España (1798)

Pierce Brosnan (2008)



Unión Europea (27 países) Población total y adultos mayores en 2000, 2008, 2025 y 2050				
	2000	2008	2025	2050
<strong>POBLACIÓN TOTAL</strong>				
Total	482.760.665	495.394.020	517.810.844	515.303.488
Hombres	235.080.335	241.849.000	253.876.528	253.363.762
Mujeres	247.680.330	253.545.020	263.934.316	261.939.726
Hombres %	48,7%	48,8%	49,0%	49,2%
Mujeres %	51,3%	51,2%	51,0%	50,8%
<strong>PERSONAS DE 60 AÑOS Y MÁS</strong>				
Total	100.946.181	111.490.629	146.798.439	181.420.615
Hombres	42.528.674	48.113.311	65.744.892	83.196.635
Mujeres	58.417.503	63.377.318	81.053.547	98.223.980
Proporción s/ la población total %	20,9%	22,5%	28,3%	35,2%
Hombres %	42,1%	43,2%	44,8%	45,9%
Mujeres %	57,9%	56,8%	55,2%	54,1%

# ¿cuándo viviremos hasta los 100 años?

2030 →

85 años varones  
90 años mujeres

Ritmo de crecimiento →

de 4 cada 20 años mujeres  
de 5 años cada 20 años varones

100 años de vida →

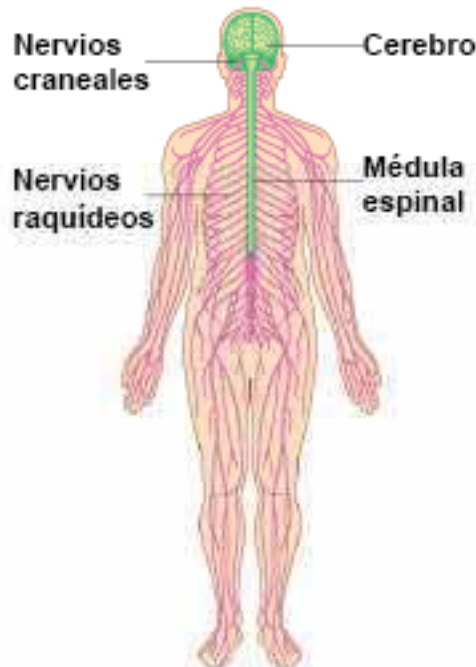
2070 mujeres  
2090 varones



# CEREBRO: MOTOR NUESTRO CUERPO

Exterior

## ORGANOS DE LOS SENTIDOS



Médula Espinal

Información

Interior  
cuerpo

CEREBRO

Procesamiento de información

Memoria

Respuesta

TODAS LAS FUNCIONES  
del cuerpo humano

Degeneración progresiva de huesos y articulaciones

Pérdida progresiva de los sistemas homeostáticos

Aumento de la Tensión Arterial

Pérdida progresiva de la capacidad del sistema inmunitario

Pérdida progresiva de la libido



Pérdida progresiva de olfato, gusto y audición

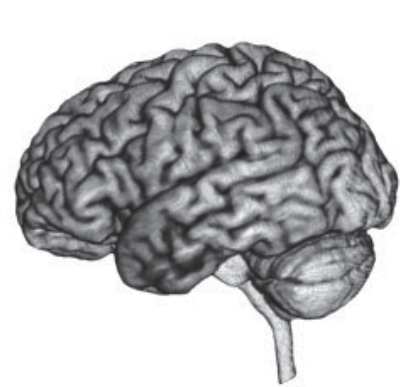
Pérdida progresiva de la capacidad visual

Pérdida progresiva de la capacidad y coordinación motora

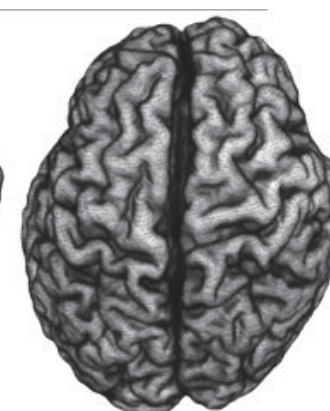
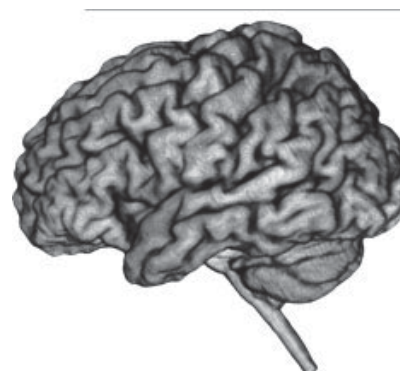
Pérdida progresiva de la memoria y de la cognición

**Aspectos del envejecimiento humano**

**Pérdida de Plasticidad**

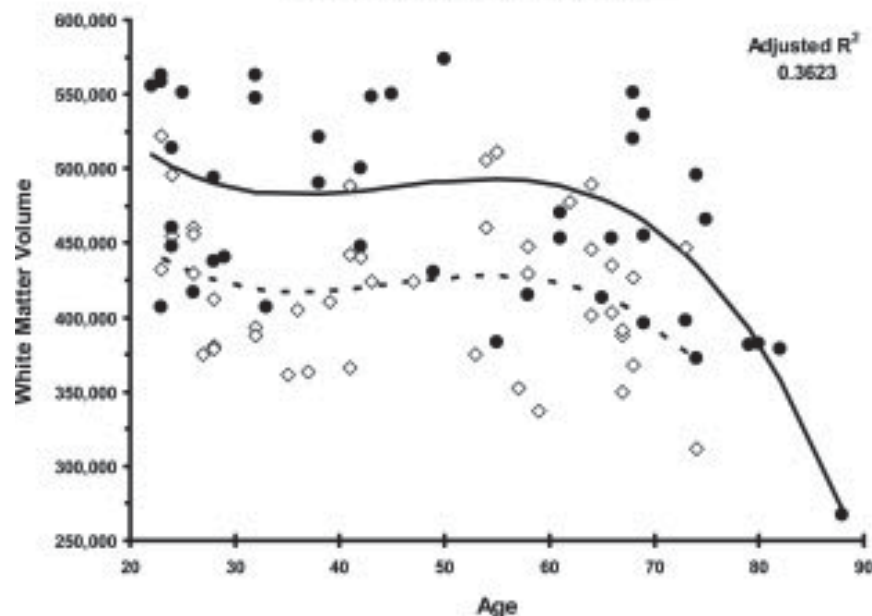


28-year-old  
male

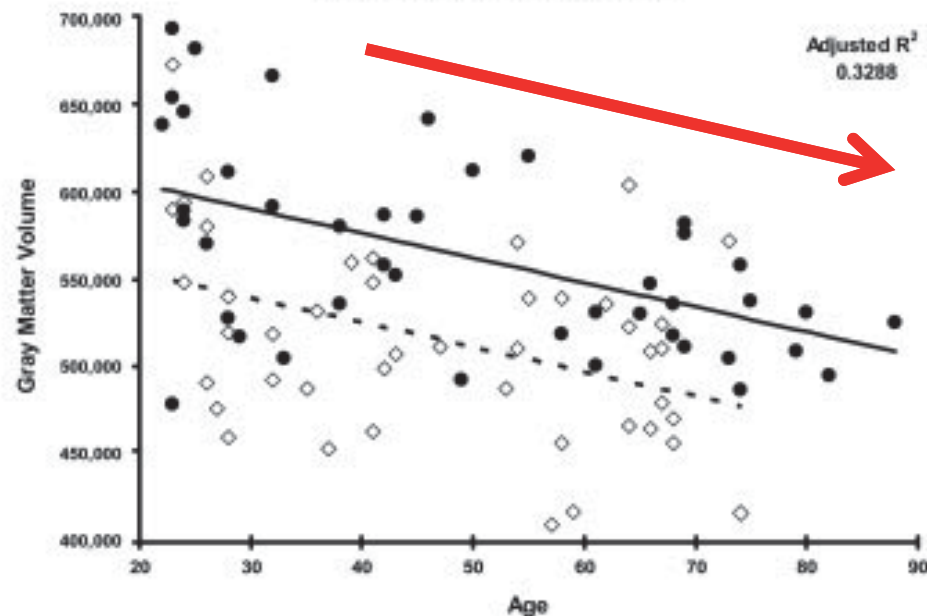


88-year-old  
male

Cerebrum White Matter Volume on Age  
Cubic Regression without Interaction



Cerebrum Gray Matter Volume on Age  
Linear Regression without Interaction

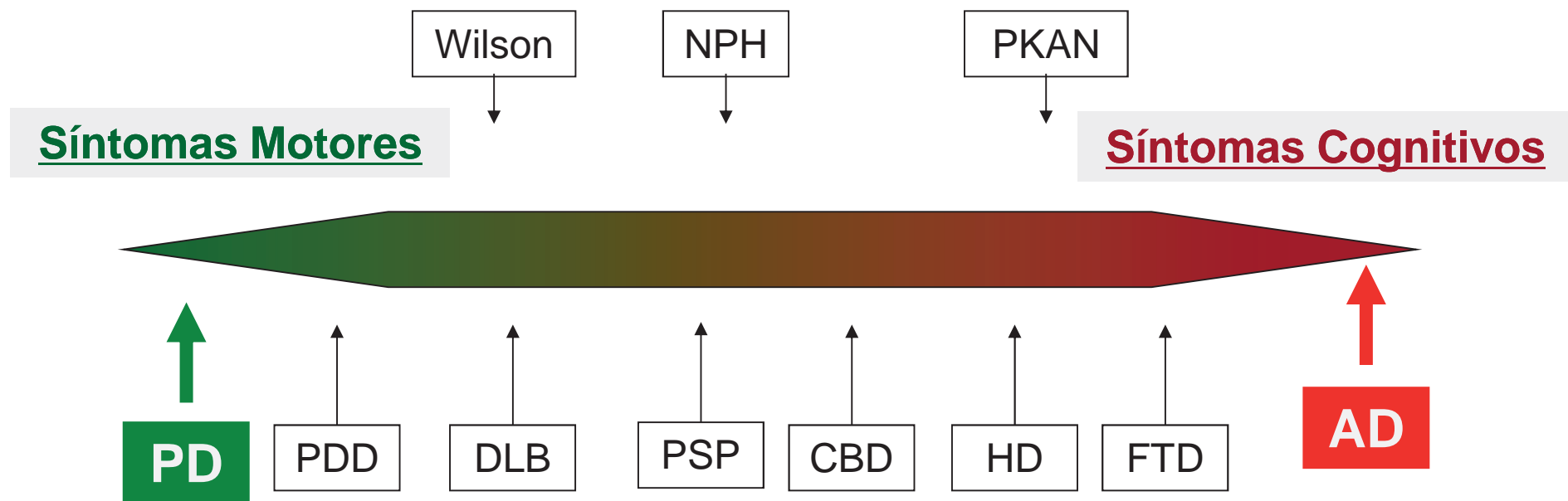


# DE LOS MOVIMIENTOS ANORMALES → A LA DEMENCIA

## DE LOS SÍNTOMAS MOTORES → A LOS COGNITIVOS

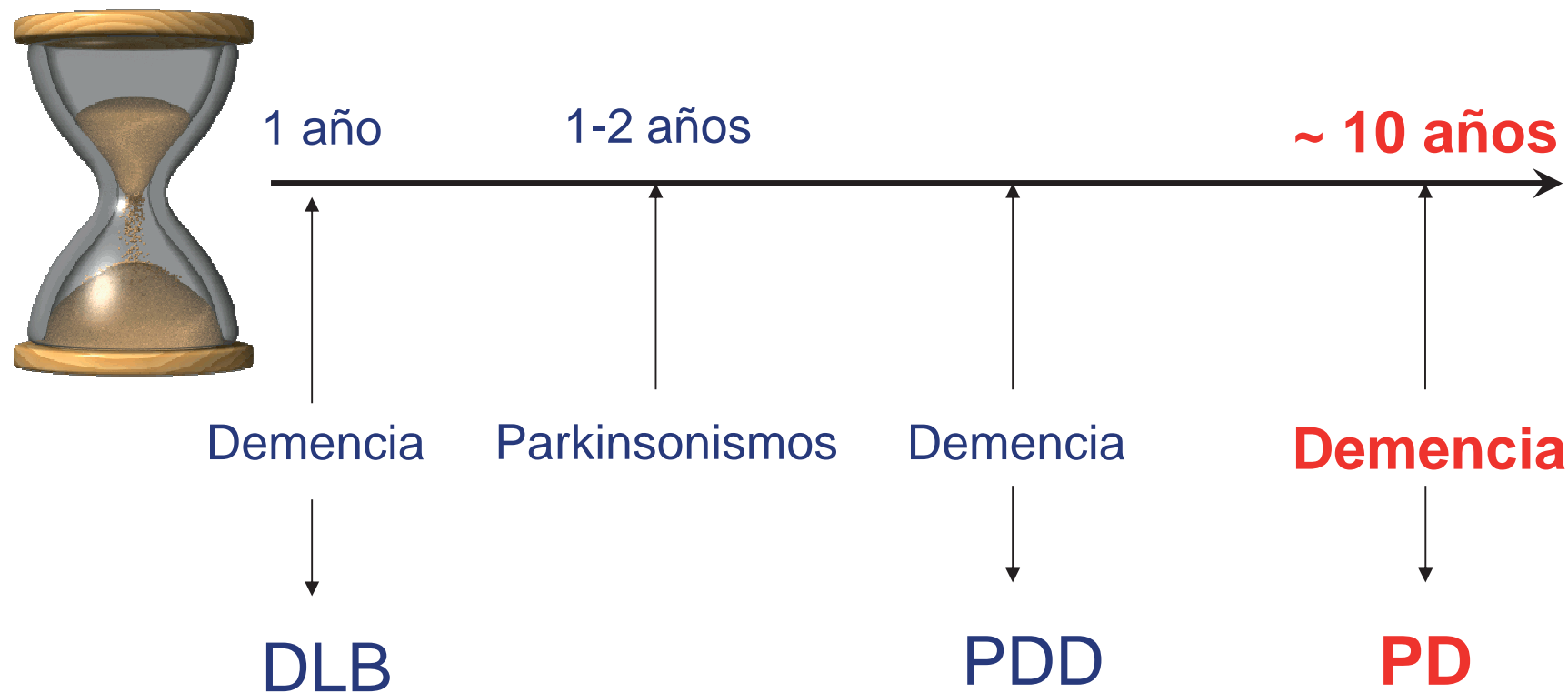
### Trastornos del Movimiento

### Demencias

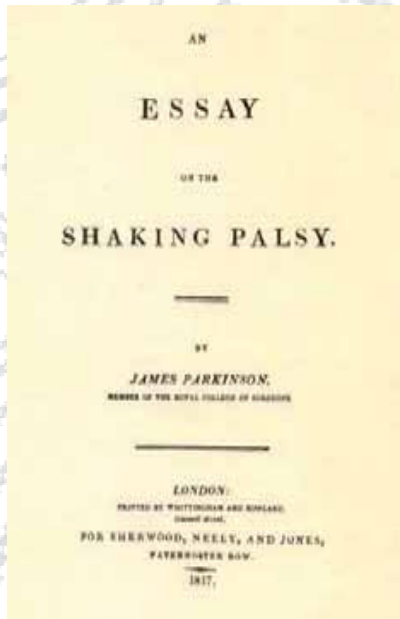


# Parkinsonismo y demencia: el factor tiempo

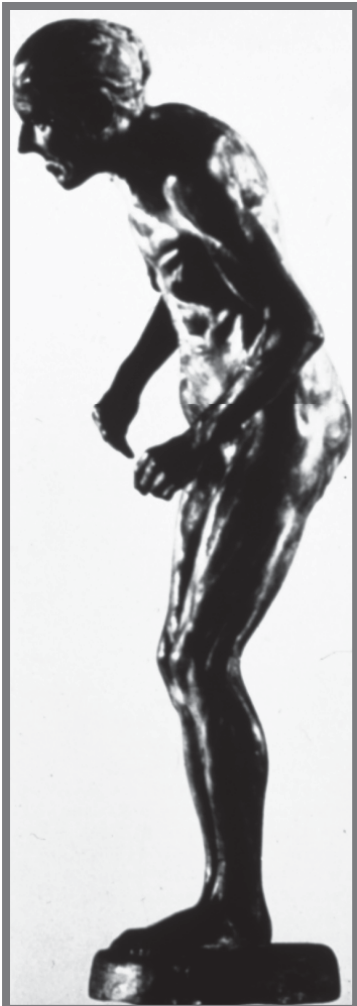
## Curso de la enfermedad



# Enfermedad de Párkinson



## Es una entidad clínica



# Parkinson's disease

*Lancet* 2009; 373: 2055–66

Andrew J Lees, John Hardy, Tamas Revesz

Parkinson's disease is a common progressive bradykinetic disorder that can be accurately diagnosed. It is characterised by the presence of severe pars-compacta nigral-cell loss, and accumulation of aggregated  $\alpha$ -synuclein in specific brain stem, spinal cord, and cortical regions. The main known risk factor is age. Susceptibility genes including  $\alpha$ -synuclein, leucine rich repeat kinase 2 (*LRRK-2*), and glucocerebrosidase (*GBA*) have shown that genetic predisposition is another important causal factor. Dopamine replacement therapy considerably reduces motor handicap, and effective treatment of associated depression, pain, constipation, and nocturnal difficulties can improve quality of life. Embryonic stem cells and gene therapy are promising research therapeutic approaches.

# Parkinson's disease

Lancet 2009; 373: 2055-66

Andrew J Lees, John Hardy, Tamas Revesz



## Queen Square brain bank clinical diagnostic criteria

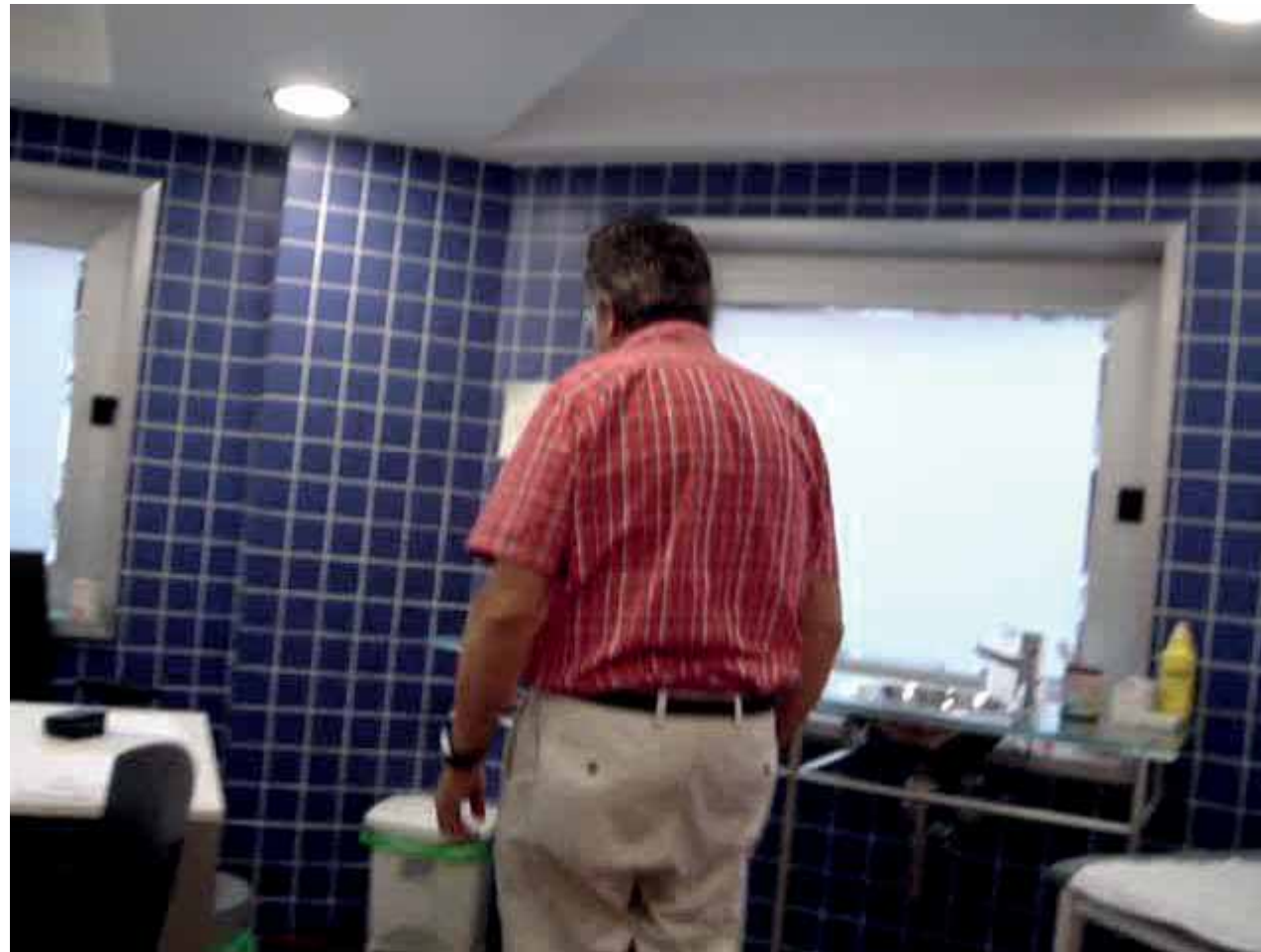
### Step 1 Diagnosis of parkinsonian syndrome

**Bradikinesia** (slowness of initiation of voluntary movement with progressive reduction in speed and amplitude or repetitive actions)

And at least one of the following:

- Muscular rigidity
- 4–6 Hz rest tremor
- Postural instability not caused by primary visual, vestibular, cerebellar, or proprioceptive dysfunction

# PACIENTE DE 64 AÑOS

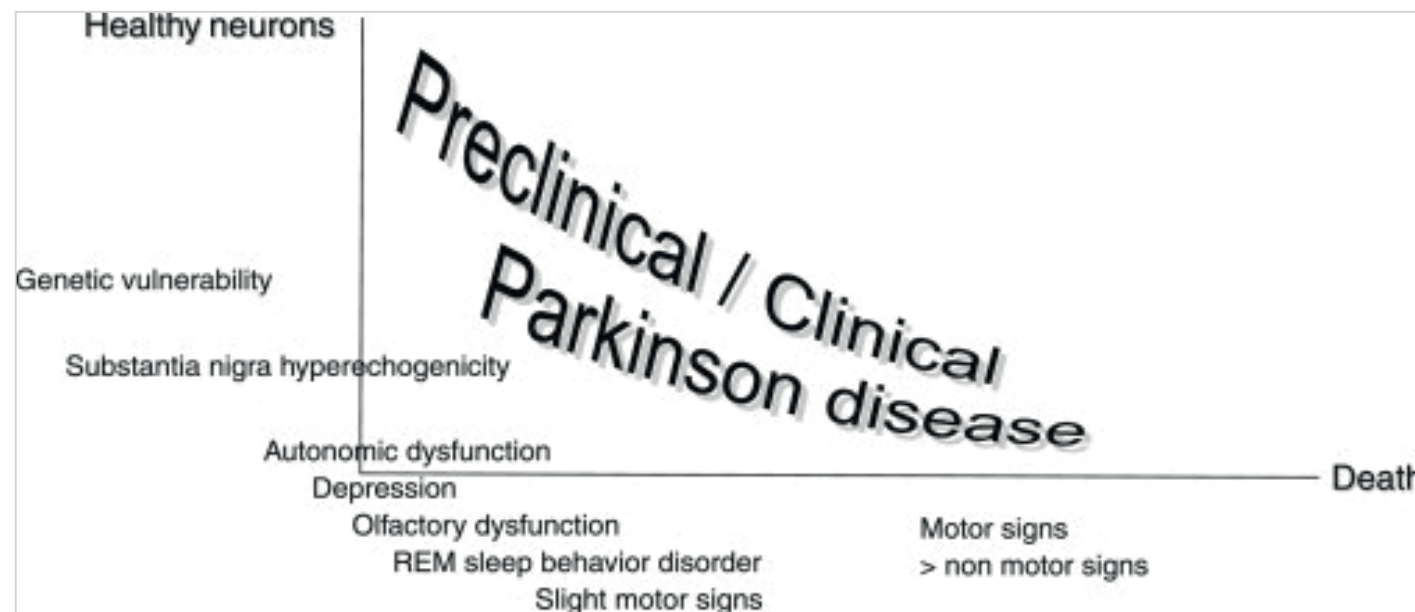


# PACIENTE DE 44 AÑOS

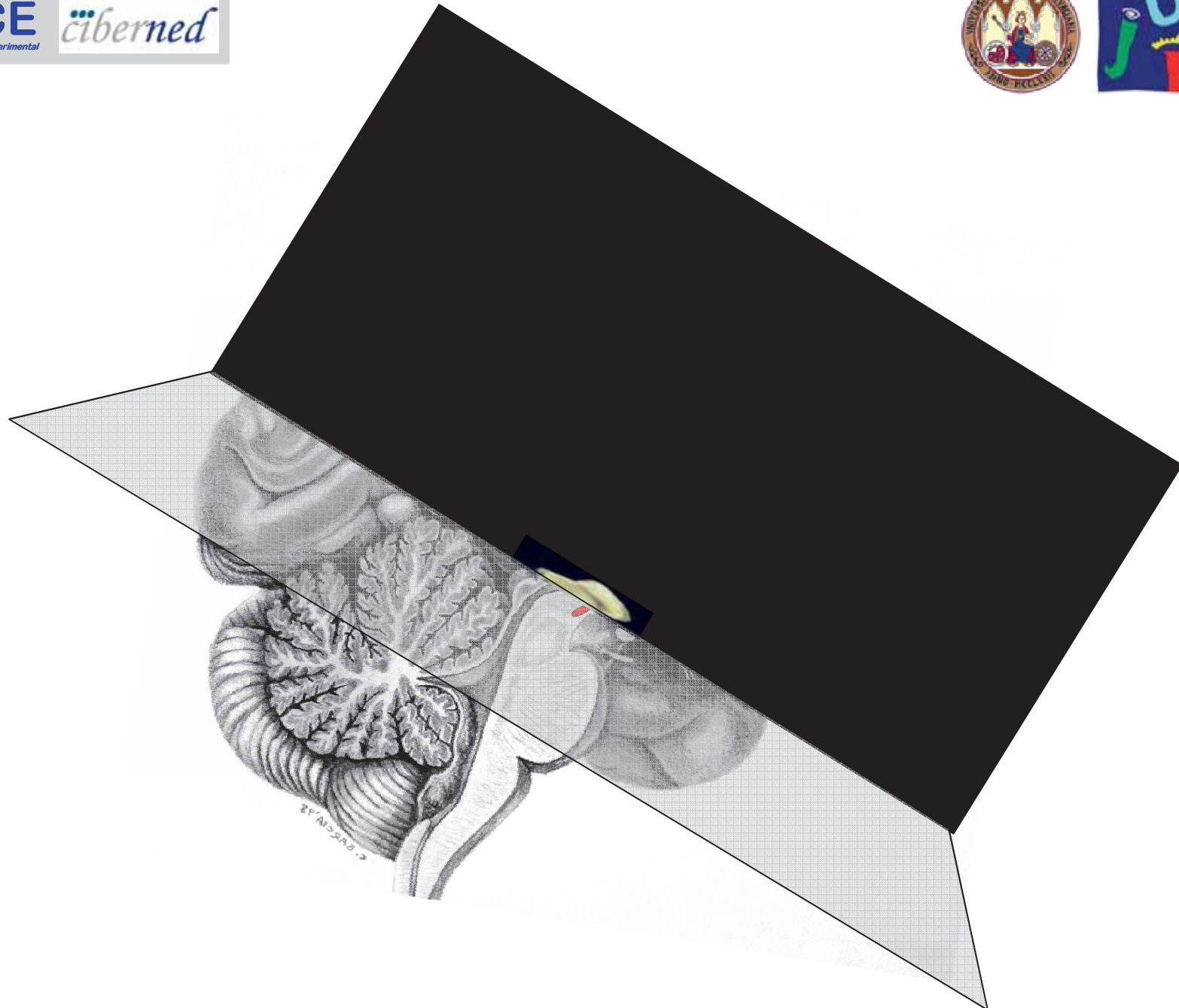


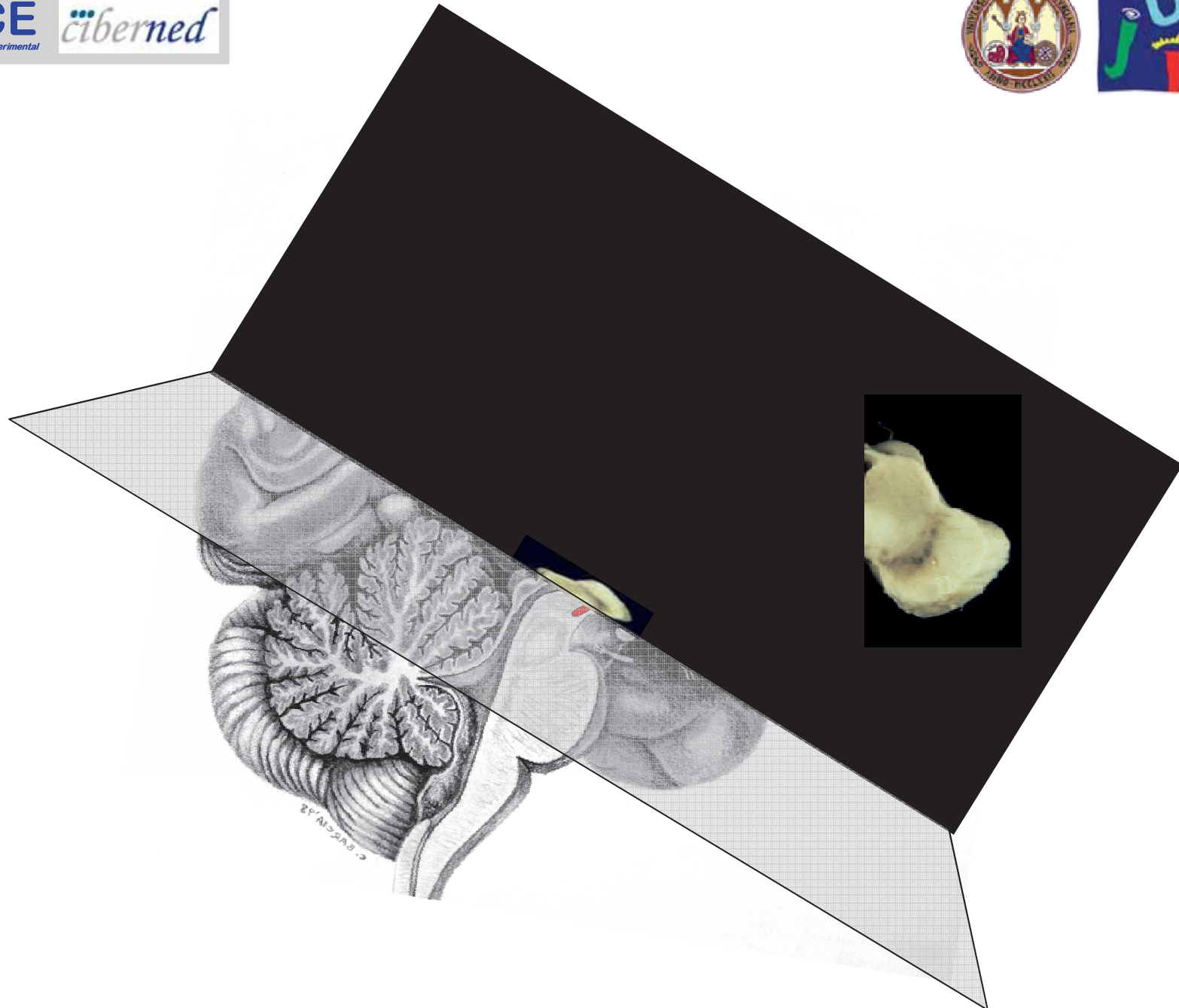


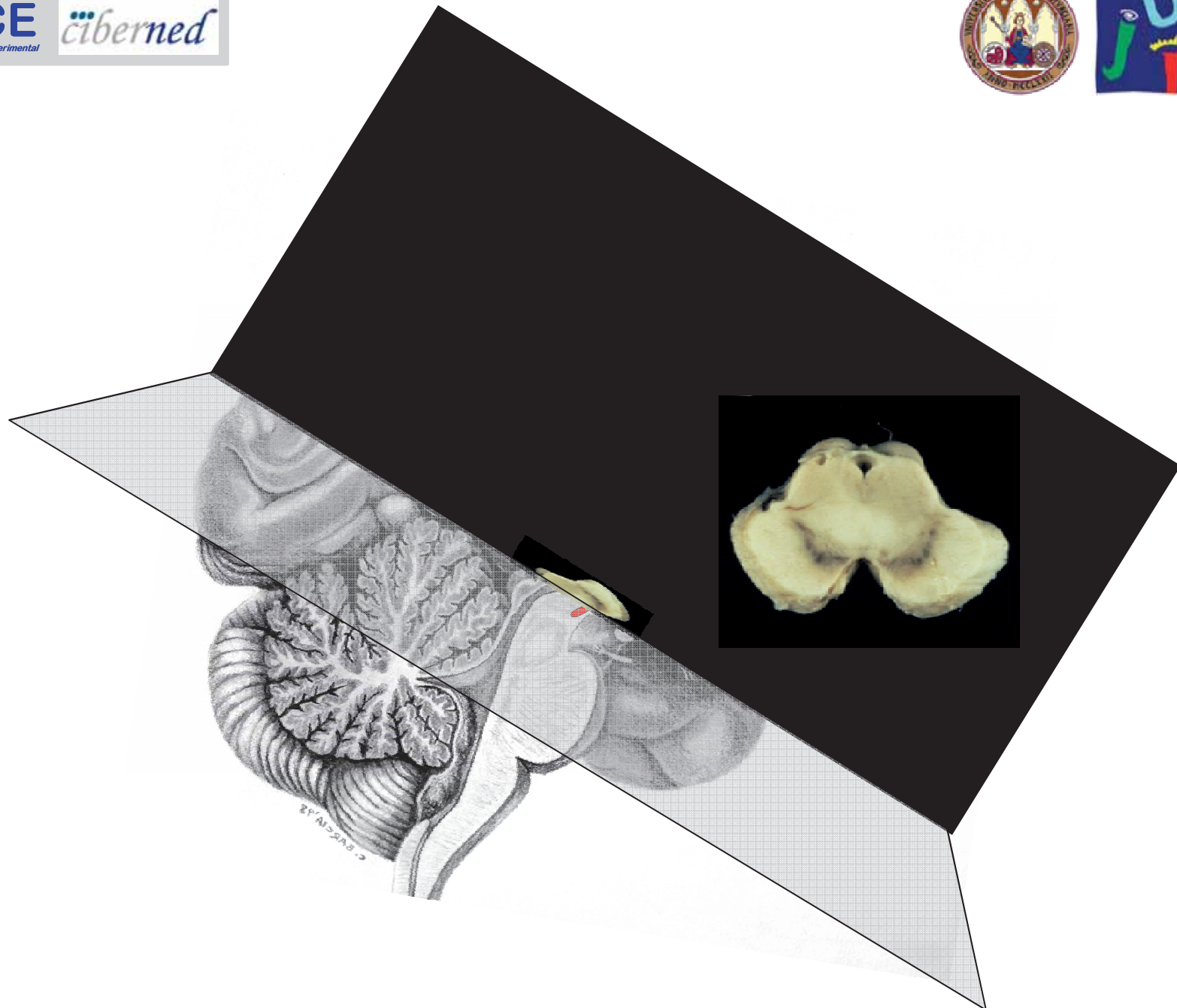
# Es una enfermedad sistémica

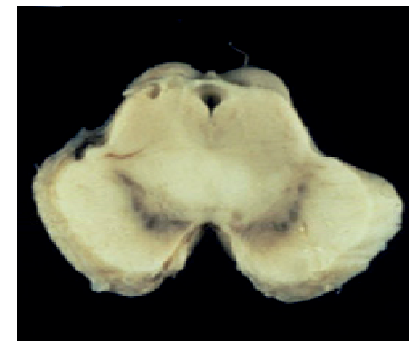


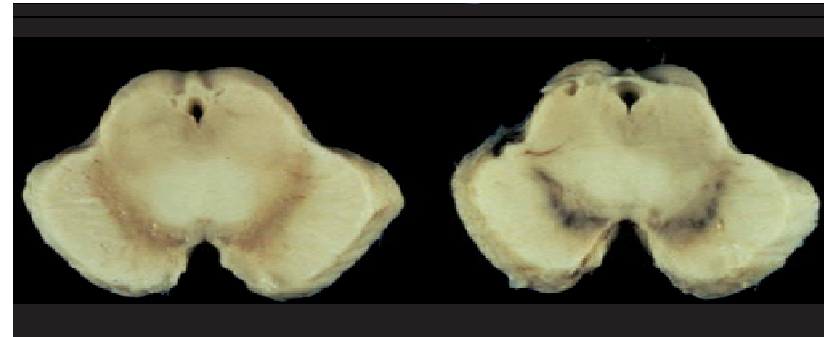






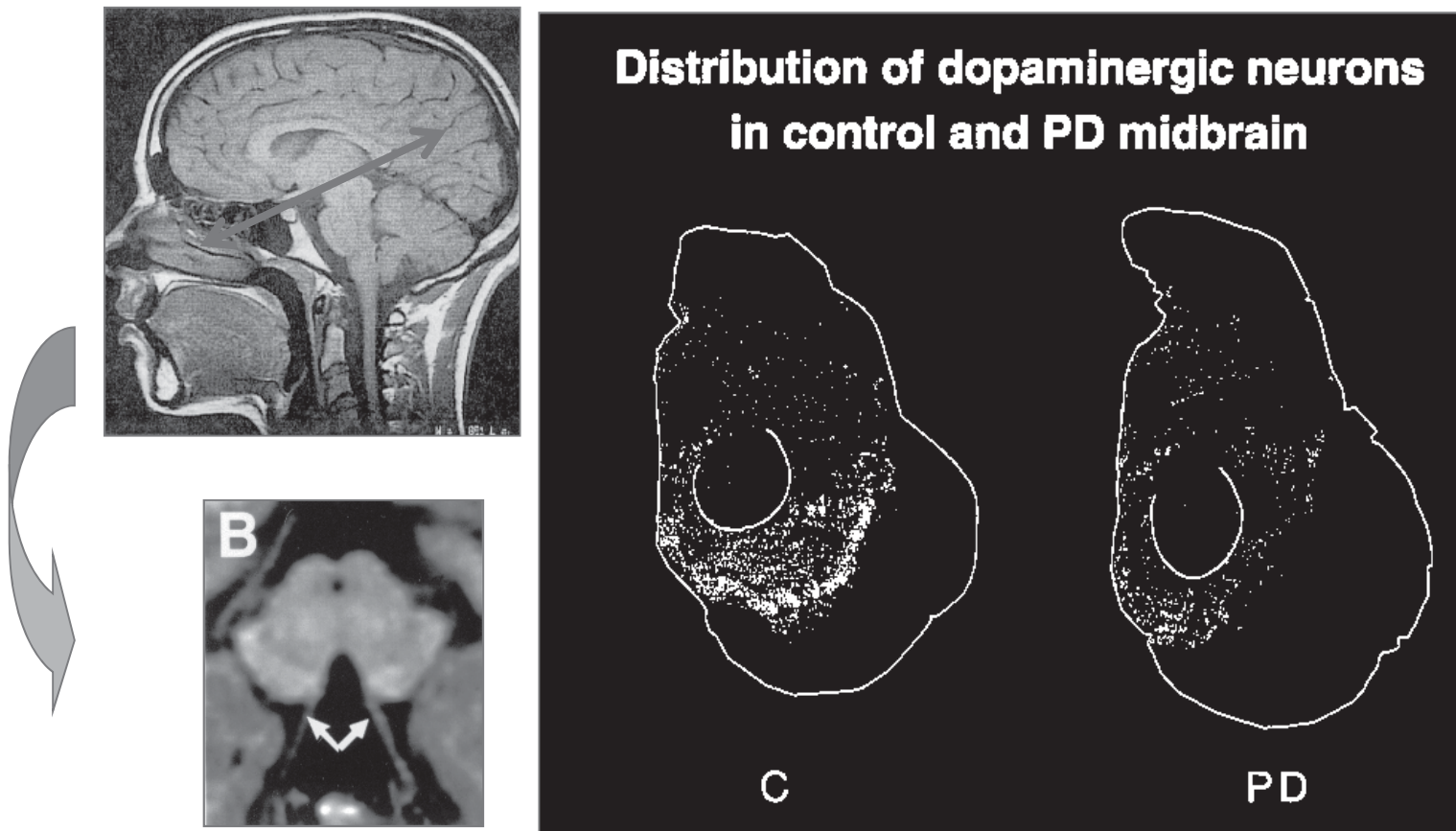


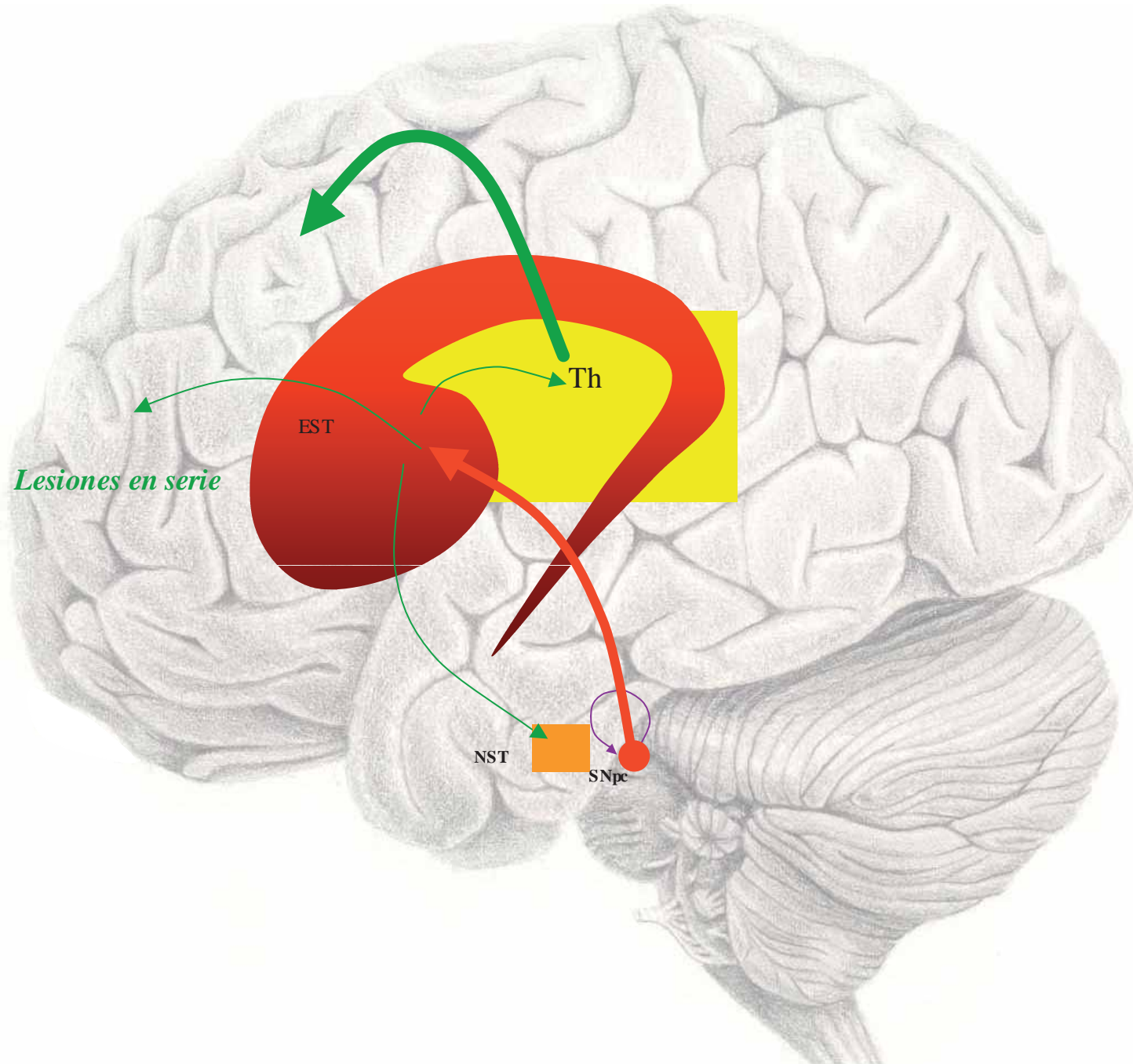


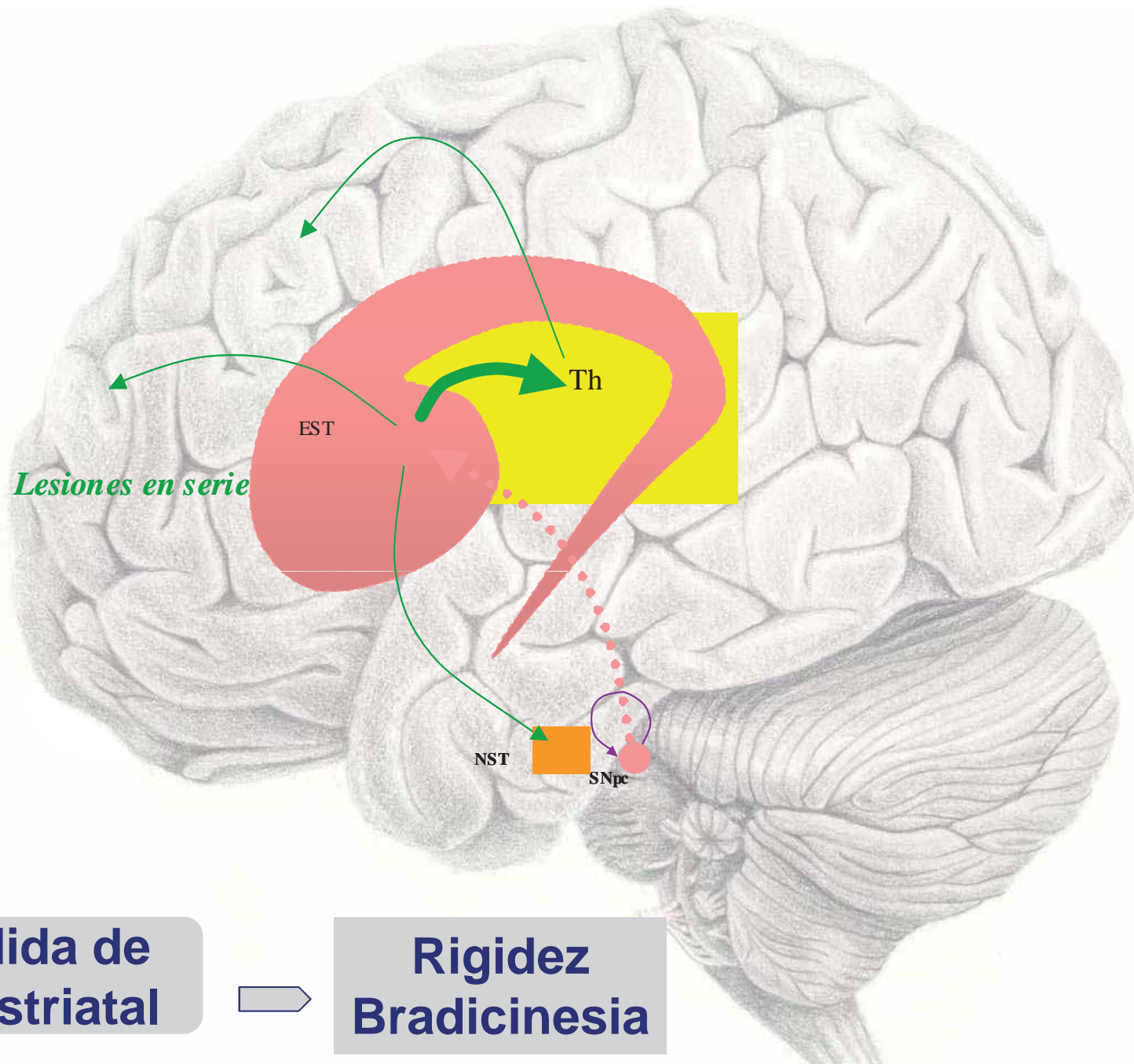


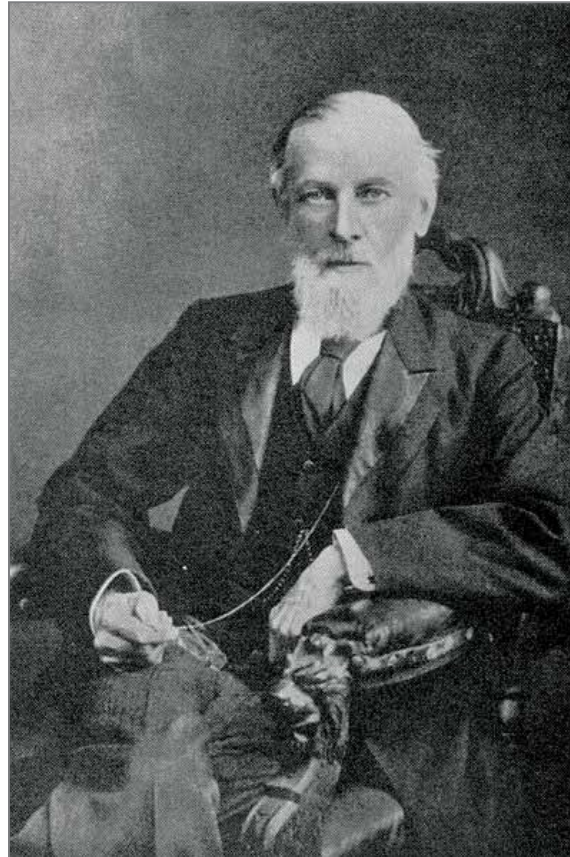
## Muerte neuronal dopamínérgica (Tetriakoff, 1919)

# Degeneración de neuronas dopaminérgicas: MASIVA pero HETEROGENEA









**Sir William Richard Gowers**  
neurologist, researcher & artist

Prof. Gowers drew this illustration in 1886 as part of his documentation of Parkinson's Disease. The image appeared in his book, **A Manual of diseases of the Nervous System**, still used today by medical professionals as a primary reference for this disease.

33 y.o



59 y.o



42 y.o



HONOGRAPHIEN AUS DEM GESAMTGESETZ DER NEUROLOGIE UND  
PSYCHIATRIE  
HERAUSGEGEBEN VON  
O. FOERSTER-BRESLAU UND K. WILMANNS-HEIDELBERG  
HEFT 34

DIE  
LEHRE VOM TONUS  
UND DER BEWEGUNG

ZUGLEICH SYSTEMATISCHE UNTERSUCHUNGEN  
ZUR KLINIK, PHYSIOLOGIE, PATHOLOGIE UND  
PATHOGENESE DER PARALYSIS AGITANS

von  
F. H. LEWY  
PROFESSOR AN DER UNIVERSITÄT BERLIN

Mit 569 ZUM TEIL FARBDEN Abbildungen  
UND 8 TABellen



BERLIN  
VERLAG VON JULIUS SPRINGER

1923

ENFERMEDAD  
PROGRESIVA



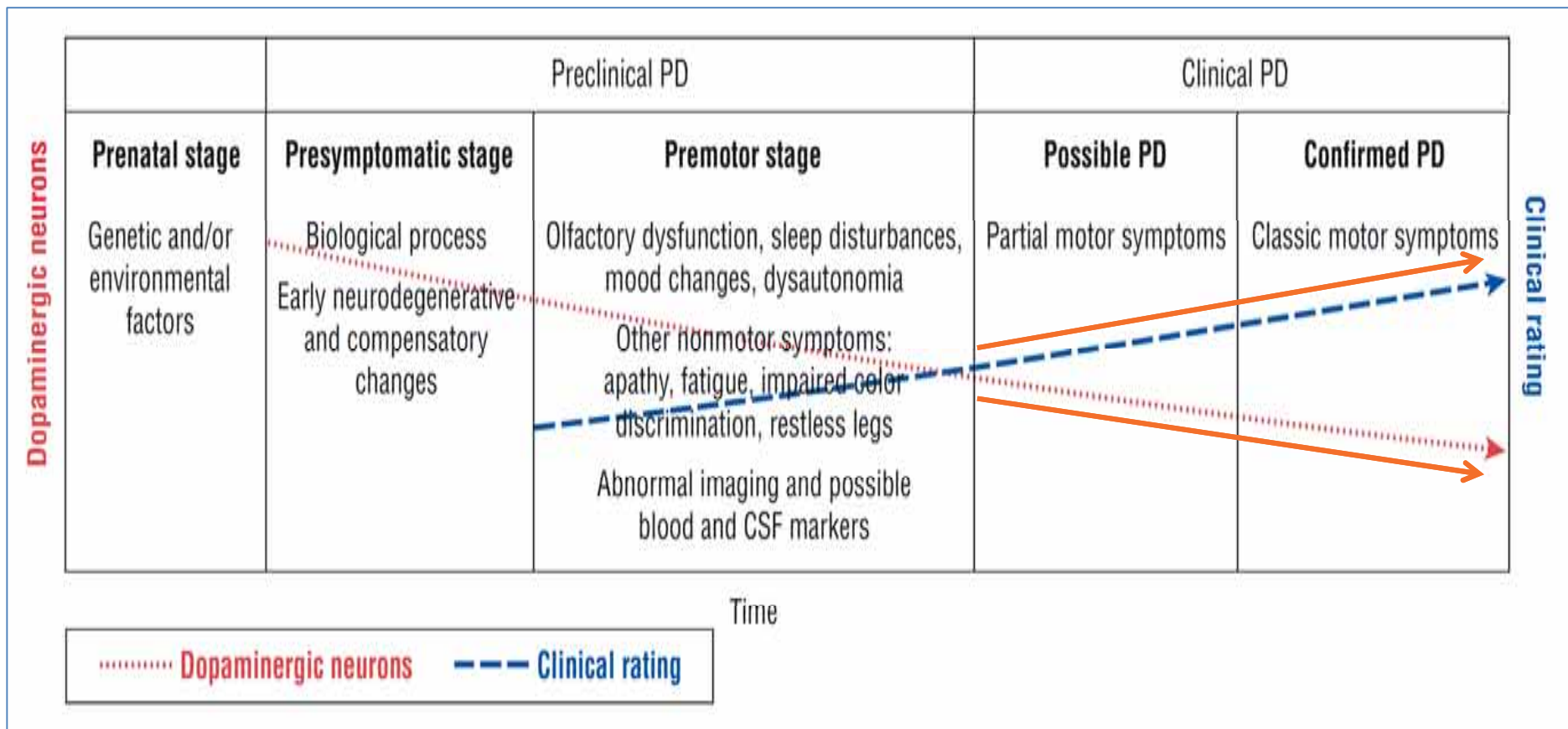
Arch Neurol. 2011;68(1):22-30

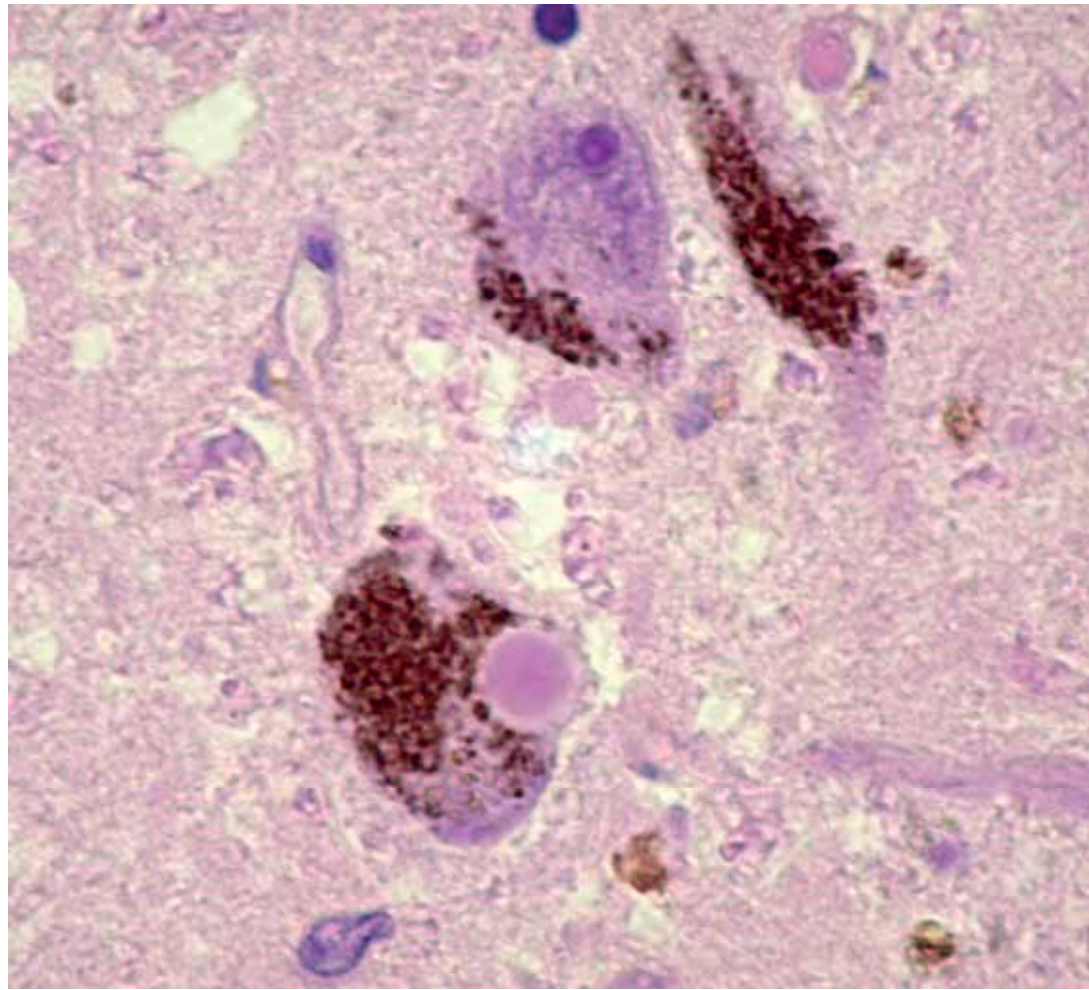
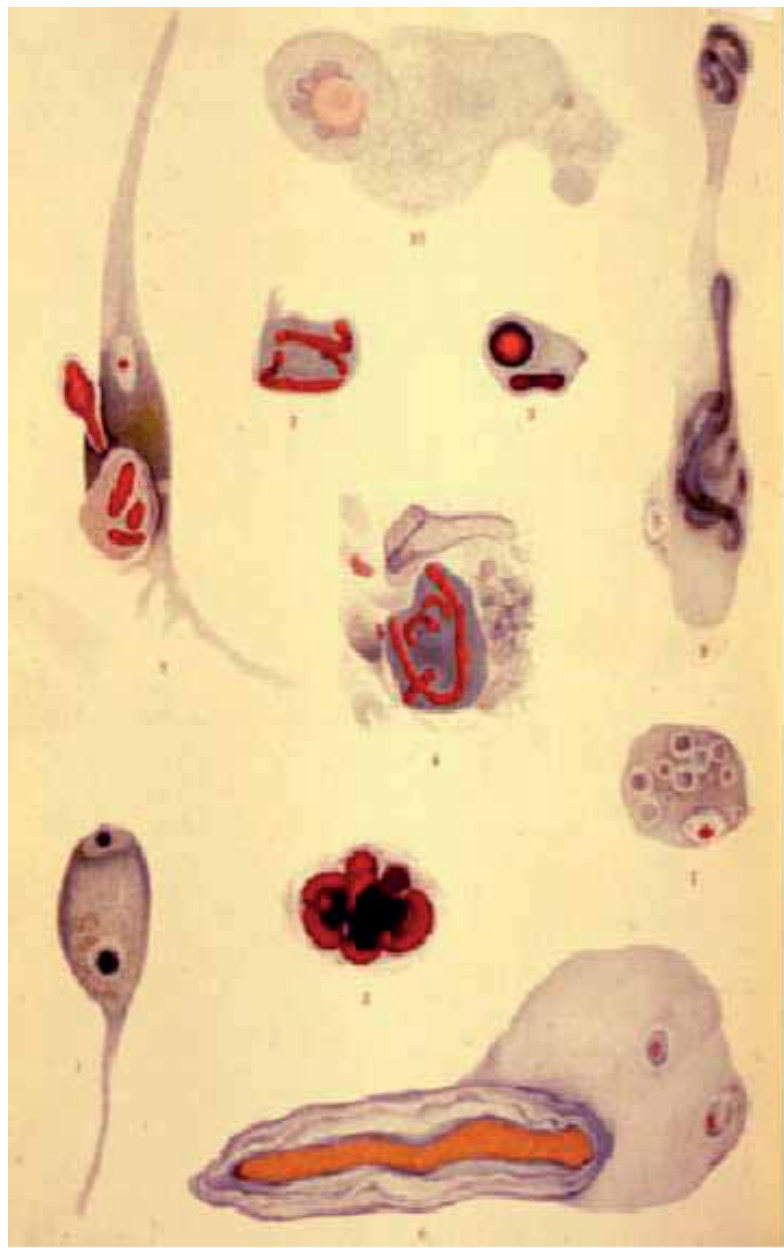
NEUROLOGICAL REVIEW

SECTION EDITOR: DAVID E. PLEASURE, MD

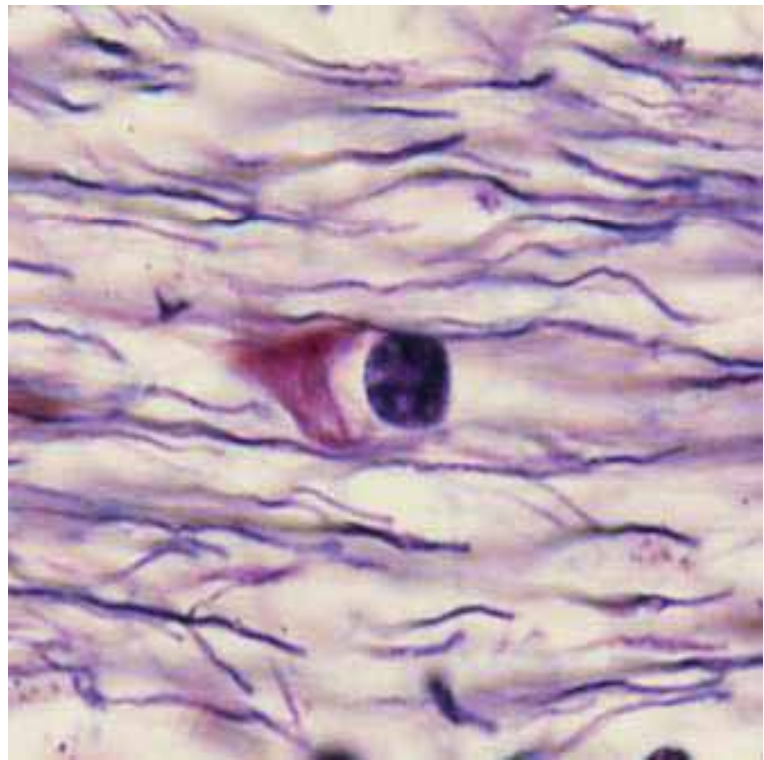
## Preclinical Biomarkers of Parkinson Disease

Yuncheng Wu, MD, PhD; Weidong Le, MD, PhD; Joseph Jankovic, MD





F. Lewy



## CUERPOS DE LEWY

**$\alpha$ -sinucleína**

Sinfilina-1

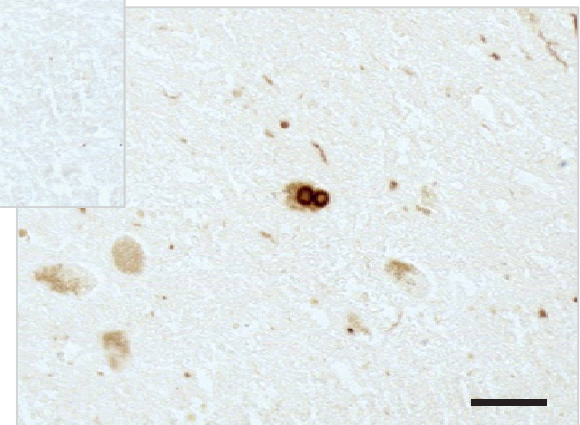
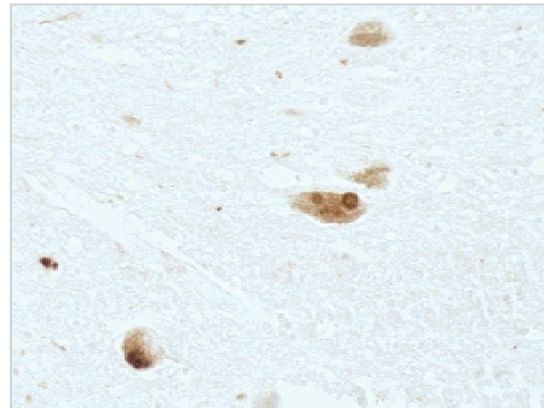
(Wakabayashi et al, 2002)

Ubicuitina

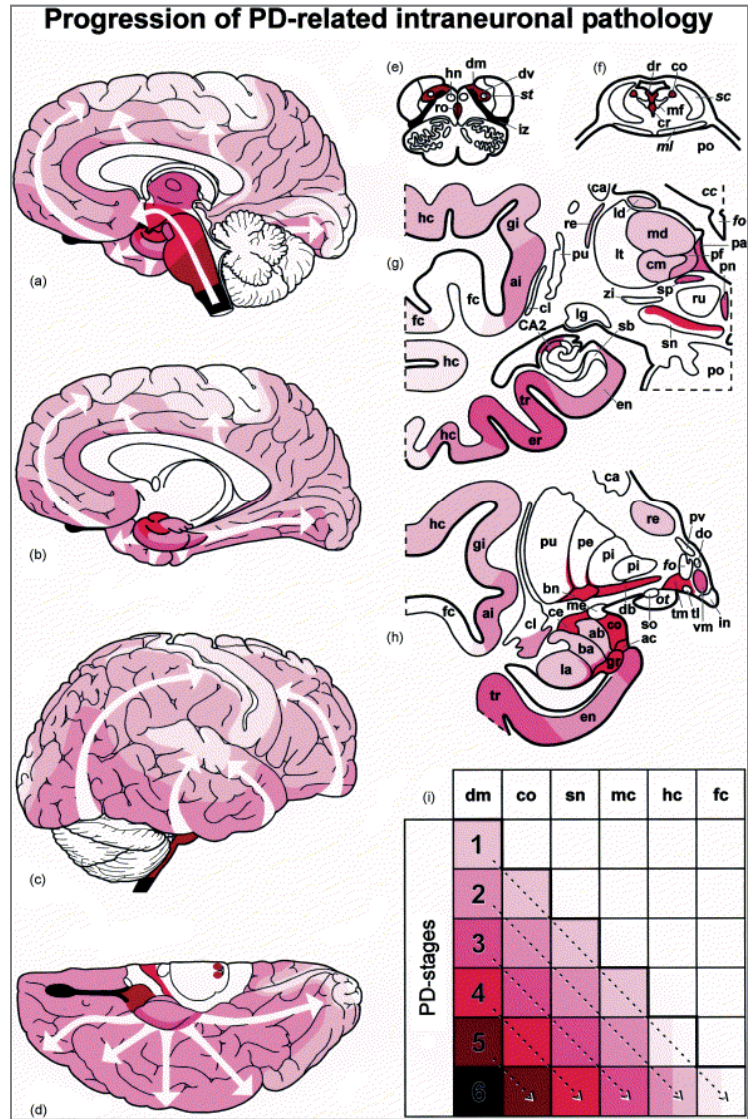
TAU no fosforilada

$\alpha$  y  $\beta$ -cristalina

$\alpha$  y  $\beta$ -tubulina



# Progresión de la muerte neuronal

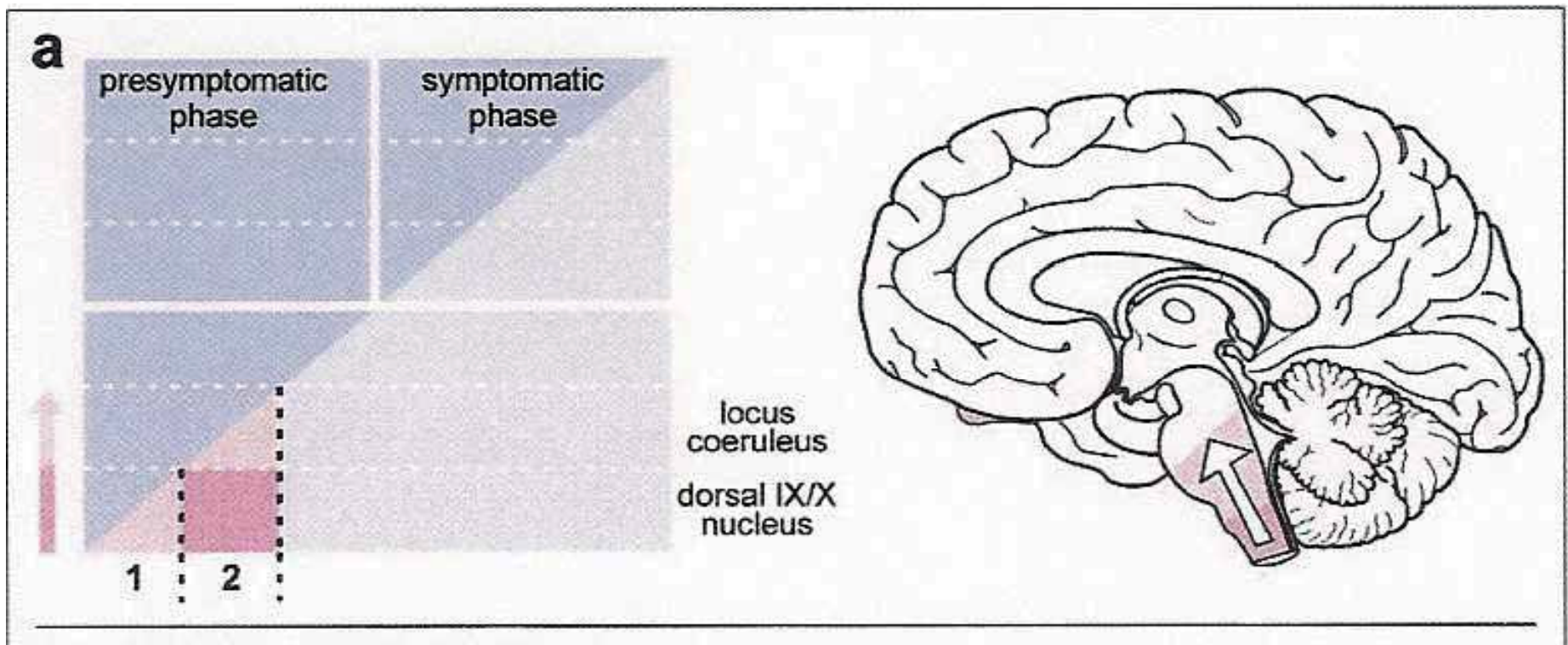


## MUERTE NEURONAL

(Braak et al, 2003)

**Estereotipada**

**Temporo-espacial**



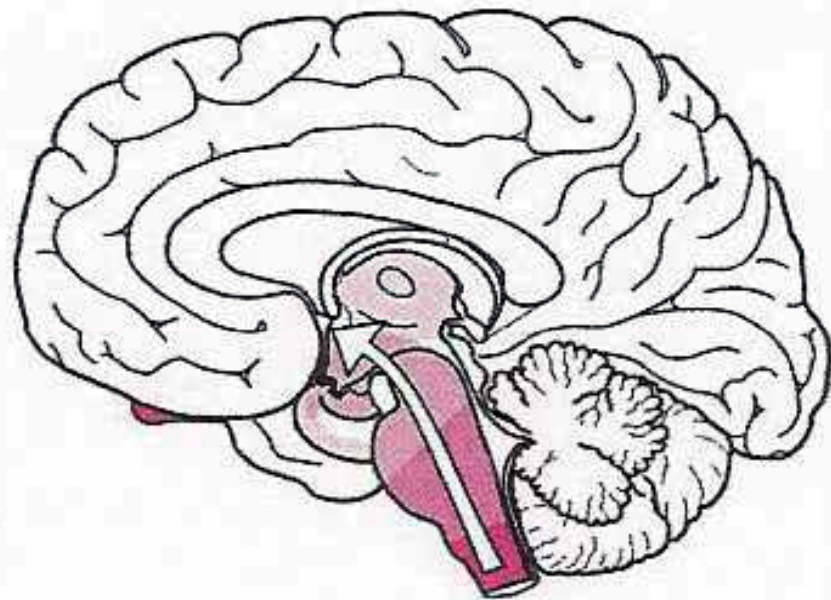
**b**

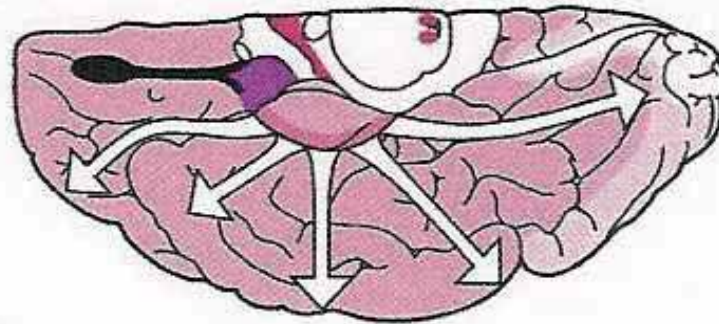
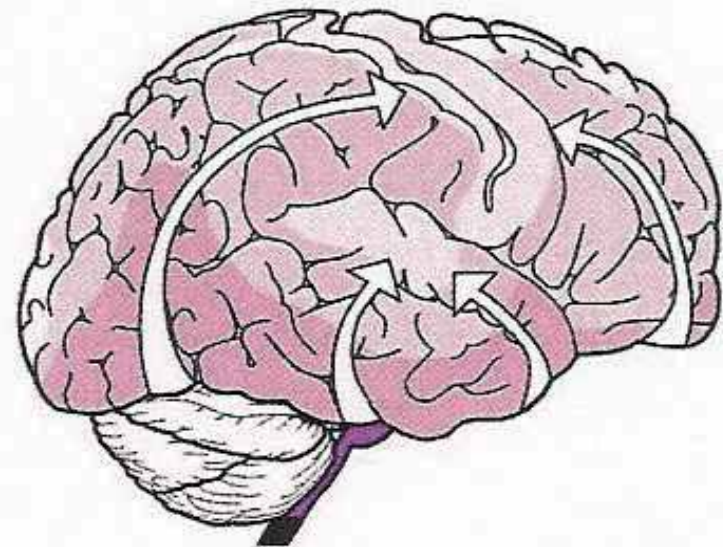
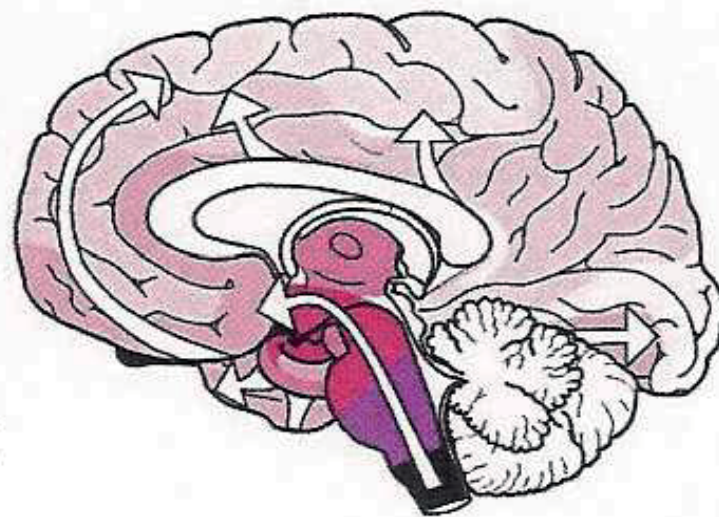
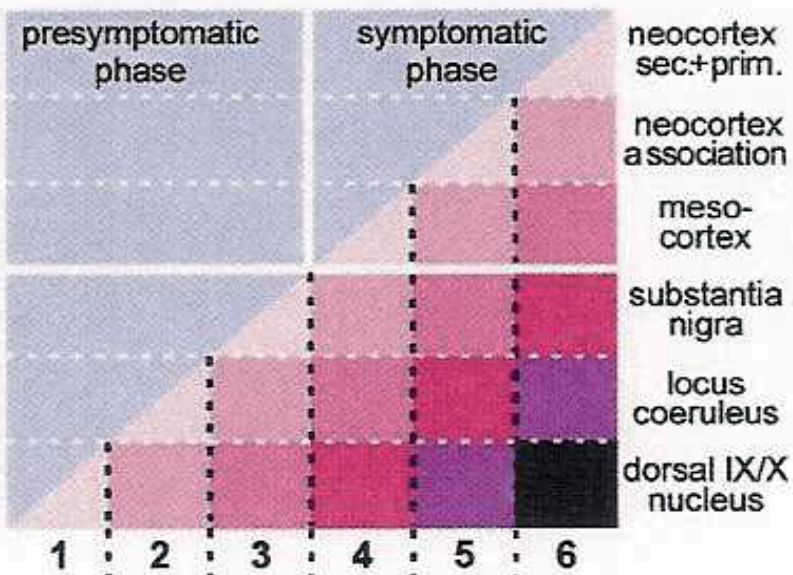
presymptomatic  
phase

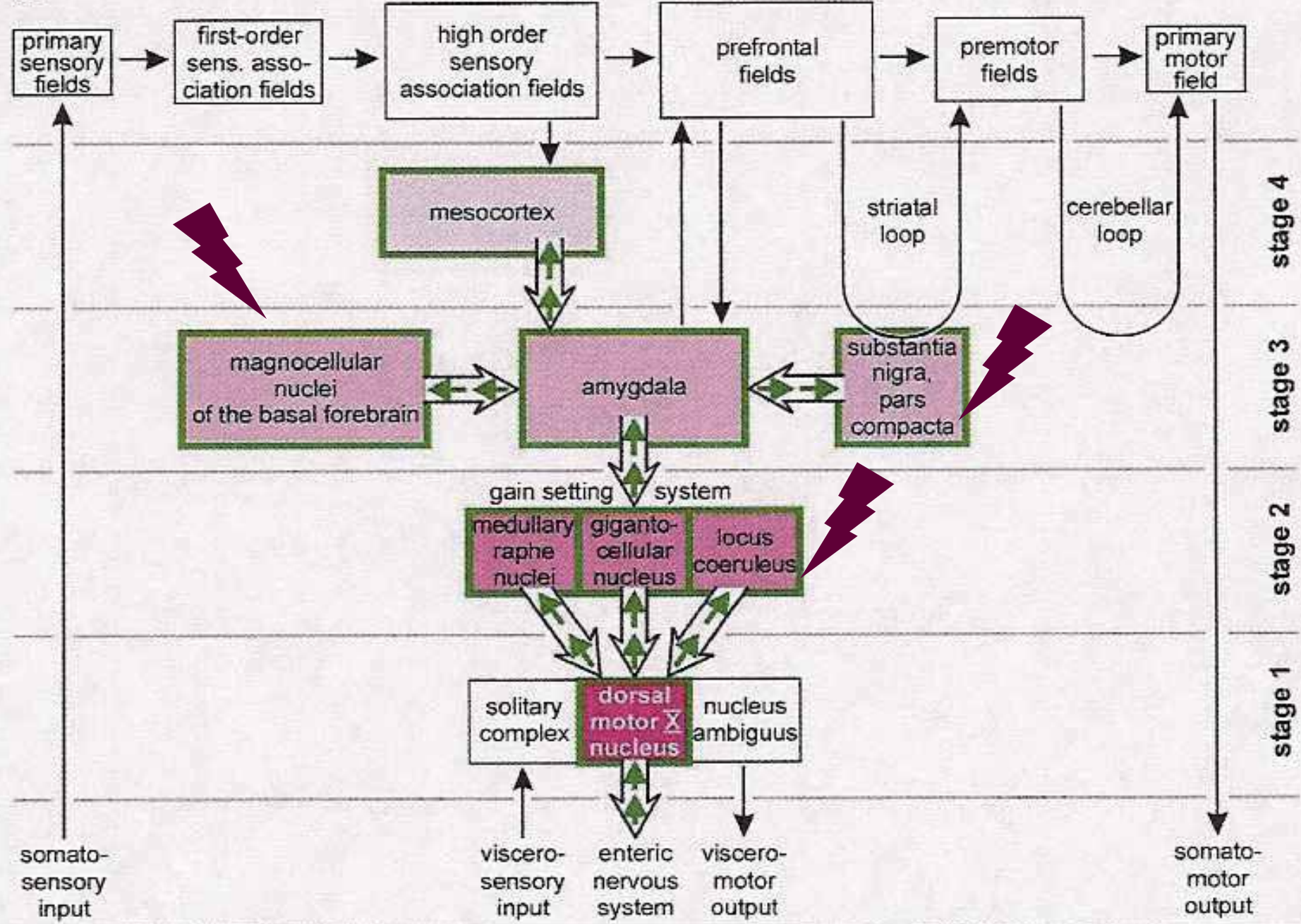
symptomatic  
phase

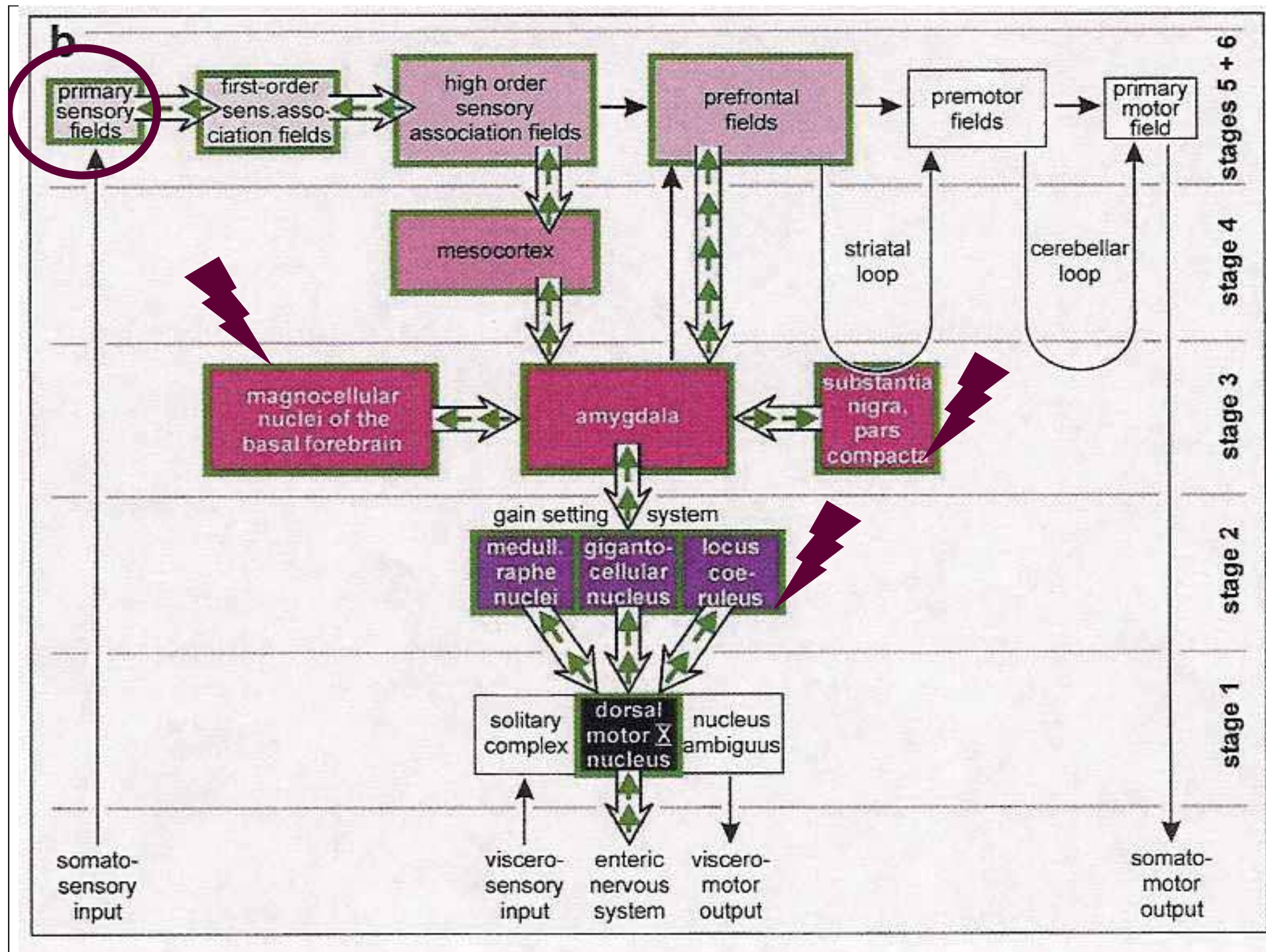
1      2      3      4

meso-  
cortex  
substantia  
nigra  
locus  
coeruleus  
dorsal IX/X  
nucleus



**C**

**a**



# **Ageing, neurodegeneration and Parkinson's disease**

JOHN V. HINDLE

*Age and Ageing* 2010; **39:** 156–161

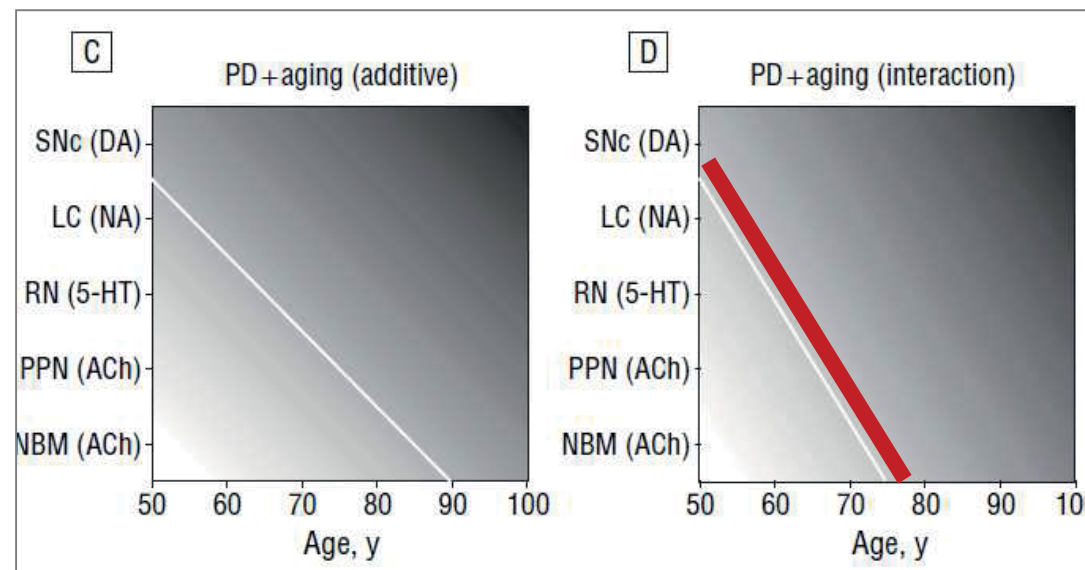
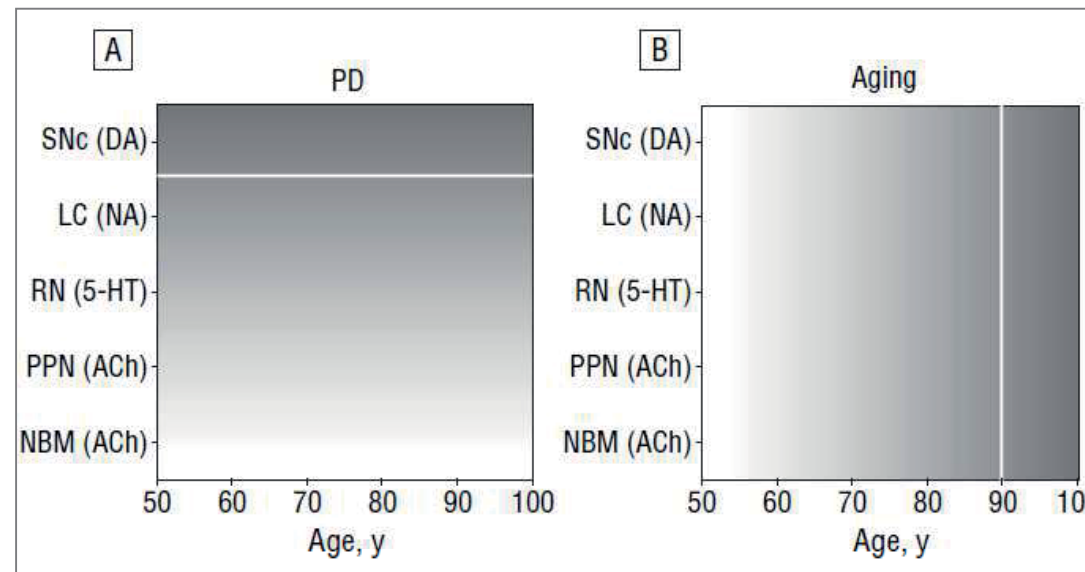
## **Key points**

- The mechanisms of ageing and neurodegeneration are inter-related.
- Ageing is the single most significant factor influencing the clinical presentation, course and progression of PD.
- Age-related changes in cellular function and a reduced compensatory capacity predispose to the pathogenesis of PD.
- The formation of Lewy bodies may represent a marker of protective mechanisms against age-related degeneration of the nervous system.
- PD is one of the best examples of an age-related disease.

# The Relationship of Parkinson Disease With Aging

Gilberto Levy, MD, MS

Arch Neurol. 2007;64(9):1242-1246



# The progression of pathology in longitudinally followed patients with Parkinson's disease

Glenda Halliday · Mariese Hely · Wayne Reid  
John Morris

Case details for patients at different times during the Sydney Multicenter Study of PD

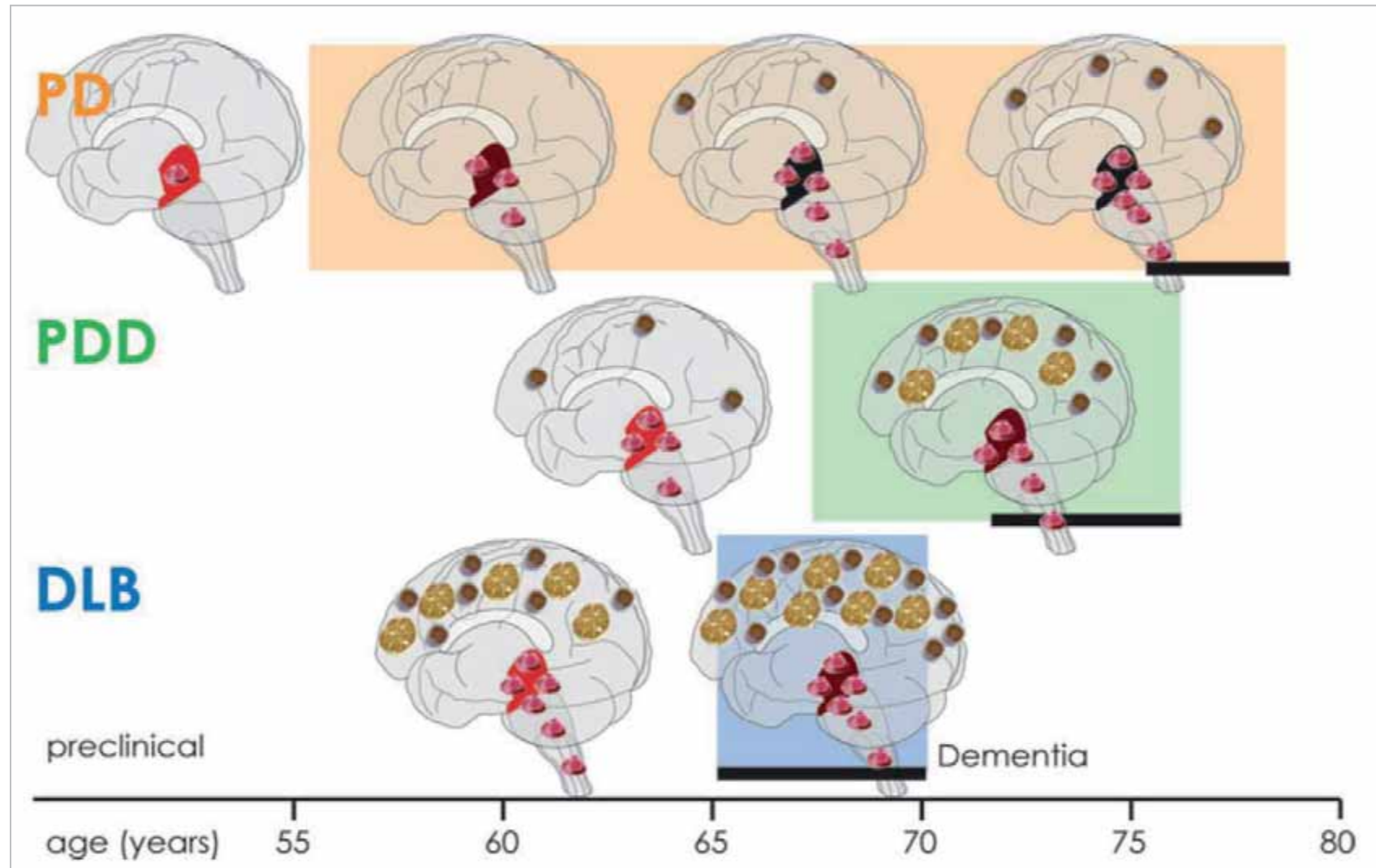
End-stage clinical diagnosis	PD	PDD	DLB
N	29	52	6
<i>During the first 5 years</i>			
Age at onset	70±8	-	65±6
Disease duration	5±0	-	3±2
last H&Y score	3±2	-	4±1
last CDR score	0±0	-	3±0
Braak LB stage	mainly brainstem	-	mainly neocortical
% amyloid plaque	0	-	83
% NIA-Regan AD	0	-	16
<i>Between 6 and 10 years</i>			
Age at onset	68±6	70±5	-
Disease duration	8±1	8±2	-
last H&Y score	3±1	5±1	-
last CDR score	0±0	2±1	-
Braak LB stage	mainly brainstem	limbic & neocortical	-
% amyloid plaque	0	80	-
% NIA-Regan AD	0	10	-
<i>Between 11 and 15 years</i>			
Age at onset	59±11	67±6	-
Disease duration	13±1	13±1	-
last H&Y score	4±1	4±1	-
last CDR score	0±0	2±1	-
Braak LB stage	brainstem & limbic	limbic & neocortical	-
% amyloid plaque	0	56	-
% NIA-Regan AD	0	6	-
<i>Between 16 and 20 years</i>			
Age at onset	58±9	58±7	-
Disease duration	17±1	18±1	-
last H&Y score	4±1	5±0	-
last CDR score	0±0	2±1	-
Braak LB stage	brainstem & limbic	limbic	-
% amyloid plaque	7	44	-
% NIA-Regan AD	0	6	-
<i>20+ years</i>			
Age at onset	-	55±3	-
Disease duration	-	25±2	-
last H&Y score	-	4±1	-
last CDR score	-	2±1	-
Braak LB stage	-	limbic & neocortical	-
% amyloid plaque	-	13	-
% NIA-Regan AD	-	0	-

PARKINSON-DEMENCIA

# The progression of pathology in Parkinson's disease

Glenda Margaret Halliday and Heather McCann

Ann. N.Y. Acad. Sci. ISSN 0077-8923



# The progression of pathology in Parkinson's disease

Glenda Margaret Halliday and Heather McCann

Ann. N.Y. Acad. Sci. ISSN 0077-8923

bodies. PDD phenotype: an older-onset group with shorter disease durations and dementia by midstage disease have greater amounts of cortical Lewy bodies early in their disease and some coexisting Alzheimer's disease pathology appearing with the onset of dementia. DLB phenotype: a dominant dementia syndrome with severe cortical Lewy body loads often with coexisting Alzheimer's disease pathology, which must occur early in the disease process due to their short disease durations and early onset of dementia.

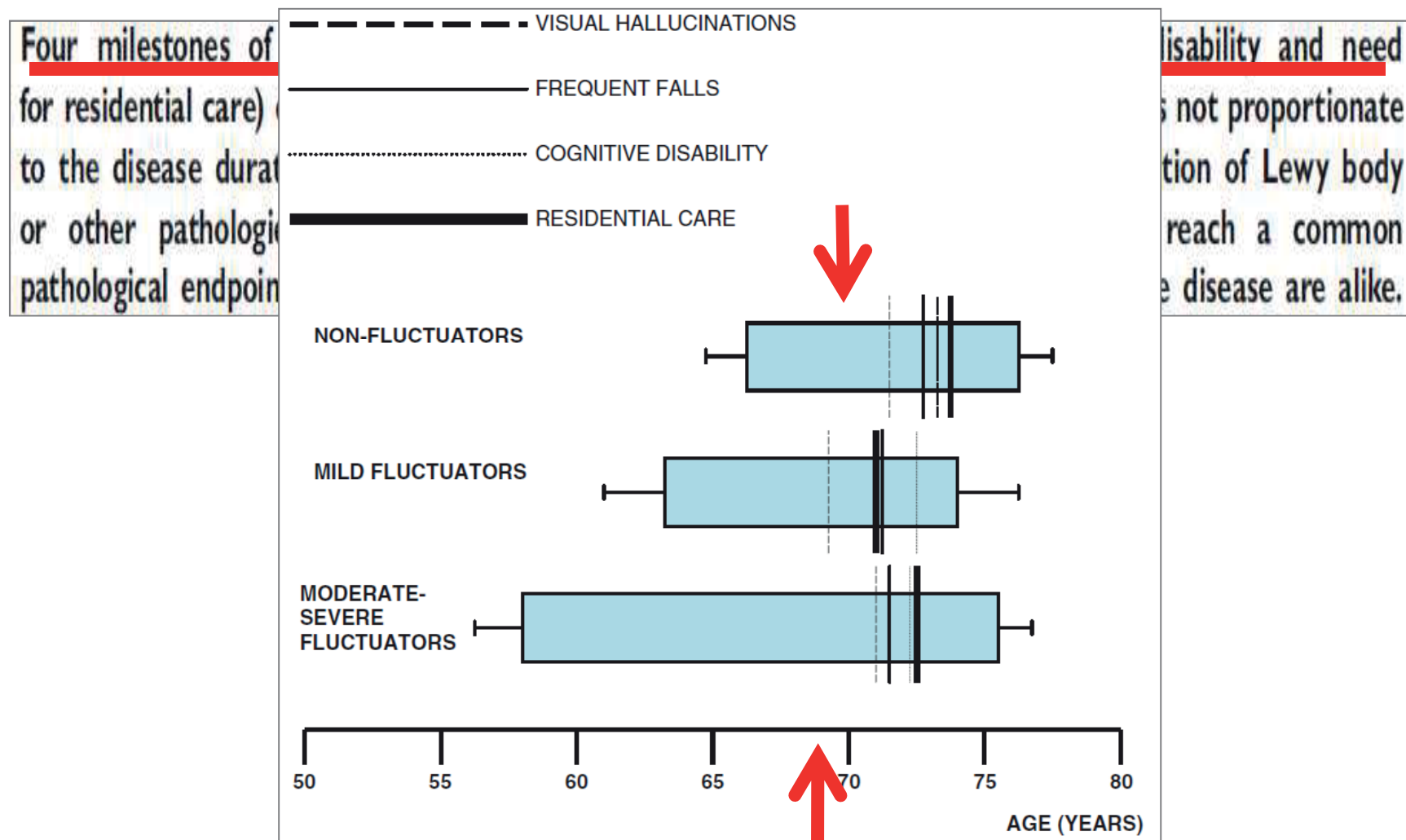
for more autopsy studies assessing closely followed cases over defined epochs is vital to elucidating the true progression of pathology in PD and any contributing factors such as age, disease duration, and coexisting illnesses.

**EDAD, DURACIÓN DE LA ENFERMEDAD**

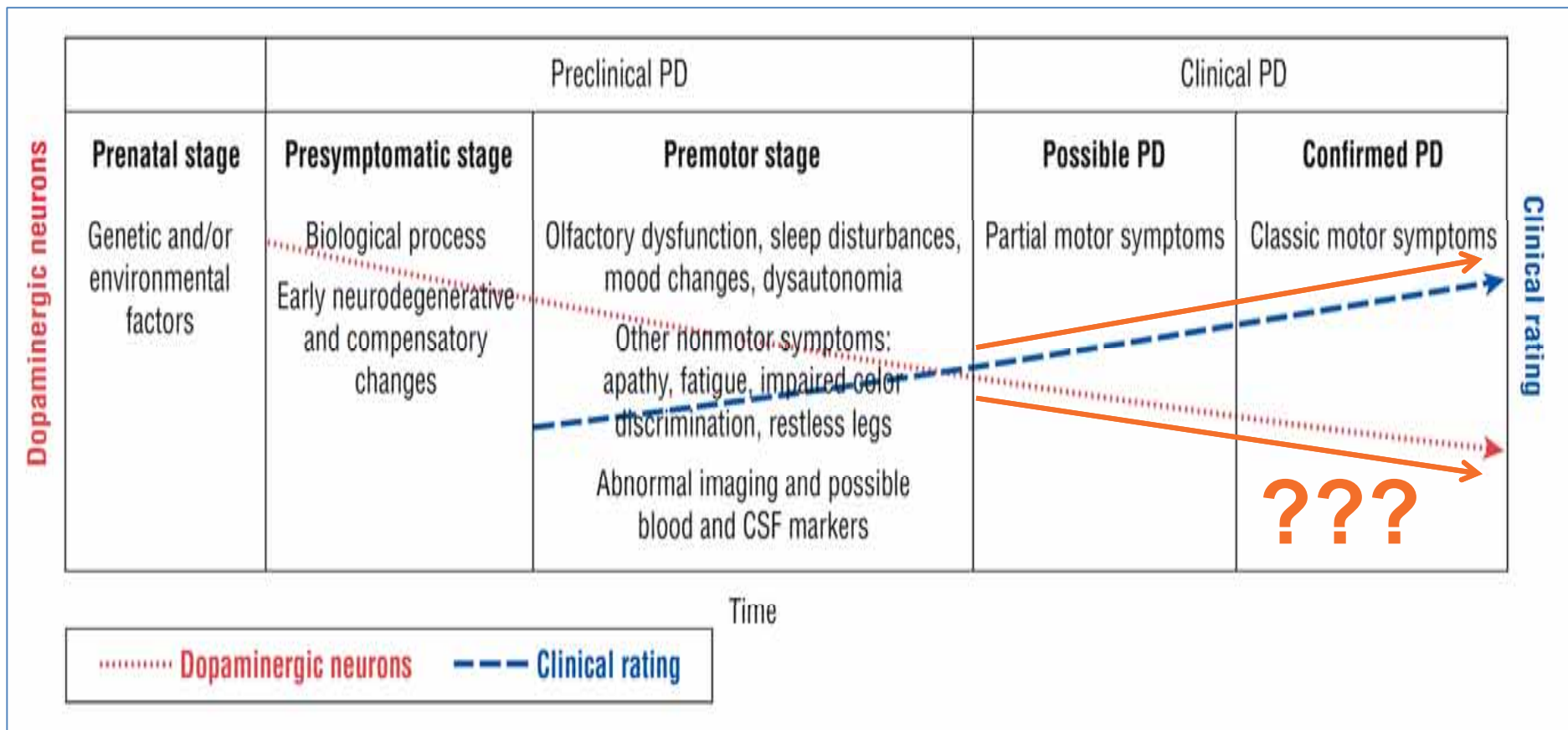
**Y OTRAS ENFERMEDADES COEXISTENTES**

# Patterns of levodopa response in Parkinson's disease: a clinico-pathological study

P. A. Kempster,<sup>1,2</sup> D. R. Williams,<sup>1,3</sup> M. Selikhova,<sup>1</sup> J. Holton,<sup>1</sup> T. Revesz<sup>1</sup> and A. J. Lees<sup>1</sup>



# PERO... ¿qué causa la progresión de la EP?



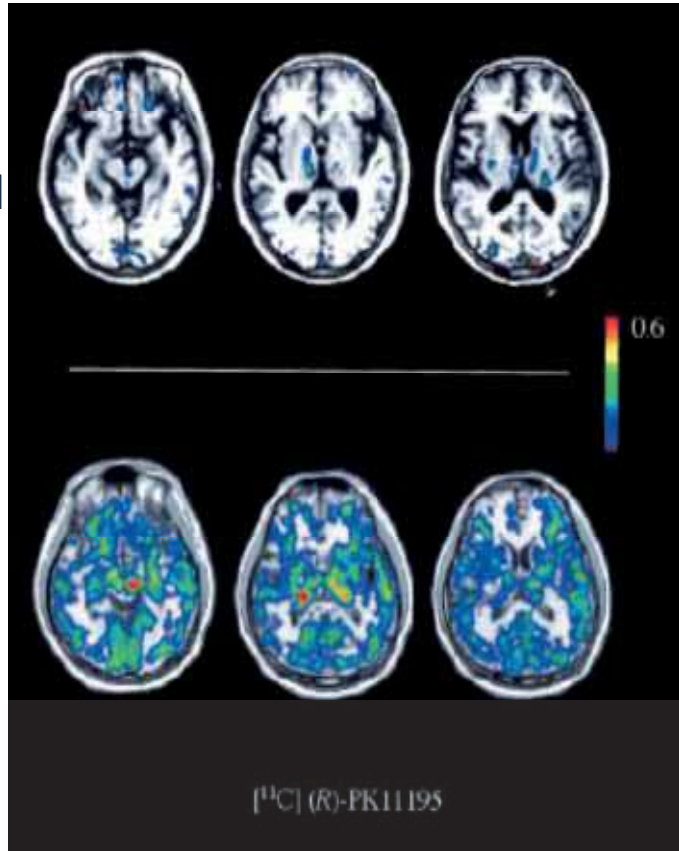
# Evidencia *In vivo* del aumento de microglia (PET-Scan PK11195)

## Microglial Activation and Dopamine Terminal Loss in Early Parkinson's Disease

Yasuomi Ouchi, MD, PhD,<sup>1</sup> Etsuji Yoshikawa, BA,<sup>2</sup> Yoshimoto Sekine, MD, PhD,<sup>1,2</sup>  
Masami Futatsubashi, BA,<sup>2</sup> Toshihiko Kanno, RT,<sup>1</sup> Tomomi Oguisu, MA,<sup>2</sup> Tatsuo Torizuka, MD, PhD<sup>1</sup>

Ann Neurol 2005;57:168–175

Control



\* Correlación negativa con la inervación dopaminérgica estriatal.

\* Correlación positiva con los síntomas motores contralaterales.

# HLA-DR susceptibilidad genética en rastreo del genoma



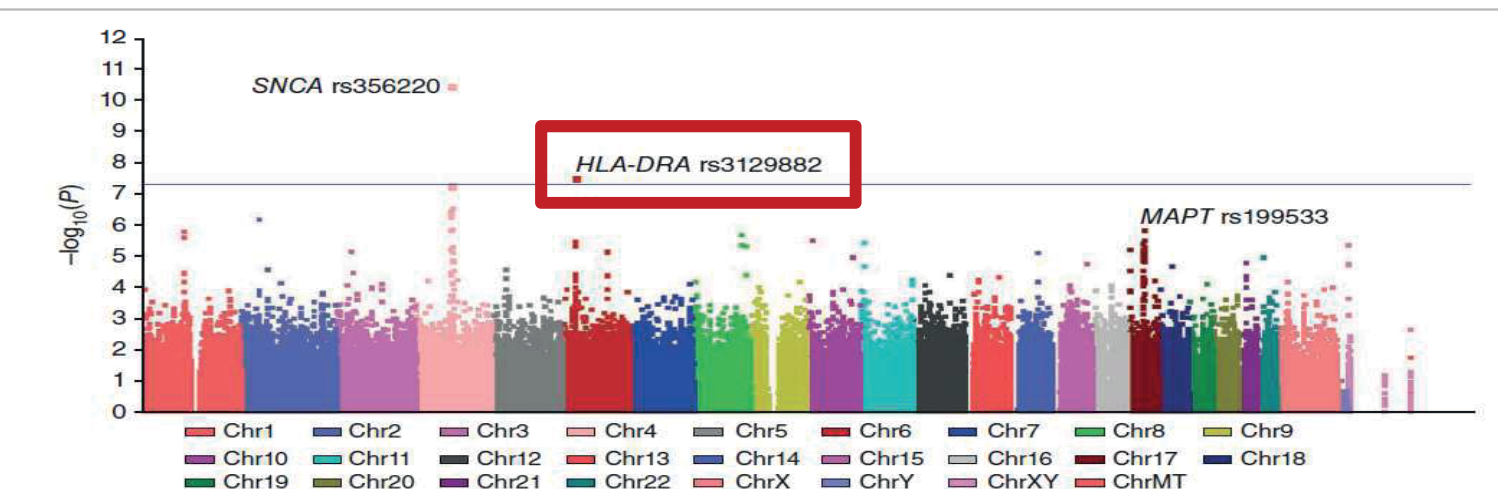
**nature  
genetics**

Received 9 March; accepted 15 July; published online 15 August 2010; doi:10.1038/ng.642

## Common genetic variation in the *HLA* region is associated with late-onset sporadic Parkinson's disease

Taye H Hamza<sup>1</sup>, Cyrus P Zabetian<sup>2,3</sup>, Albert Tenesa<sup>4</sup>, Alain Laederach<sup>1</sup>, Jennifer Montimurro<sup>1</sup>, Dora Yearout<sup>1-3</sup>, Denise M Kay<sup>1</sup>, Kimberly F Doheny<sup>5</sup>, Justin Paschall<sup>6</sup>, Elizabeth Pugh<sup>5</sup>, Victoria I Kusel<sup>1</sup>, Randall Collura<sup>1</sup>, John Roberts<sup>7</sup>, Alida Griffith<sup>8</sup>, Ali Samii<sup>2,3</sup>, William K Scott<sup>9</sup>, John Nutt<sup>10</sup>, Stewart A Factor<sup>11</sup> & Haydeh Payami<sup>1</sup>

### Genome wide associaton studies: genetic susceptibility factors



**Figure 1** Genome-wide association *P* values. The Manhattan plot shows the *P* values for association of 811,597 SNPs with Parkinson's disease. SNPs that surpassed genome-wide significance ( $P < 5 \times 10^{-8}$ ) were on chromosomes 4 (*SNCA* region) and 6 (*HLA-DRA*). *SNCA* was known to be associated with Parkinson's disease; however, the association with *HLA* was not previously known. The other known Parkinson's disease-associated region is on chromosome 17 (*MAPT* region), which replicated at  $P = 1.3 \times 10^{-6}$ .

## HLA-DR susceptibilidad genética en rastreo del genoma

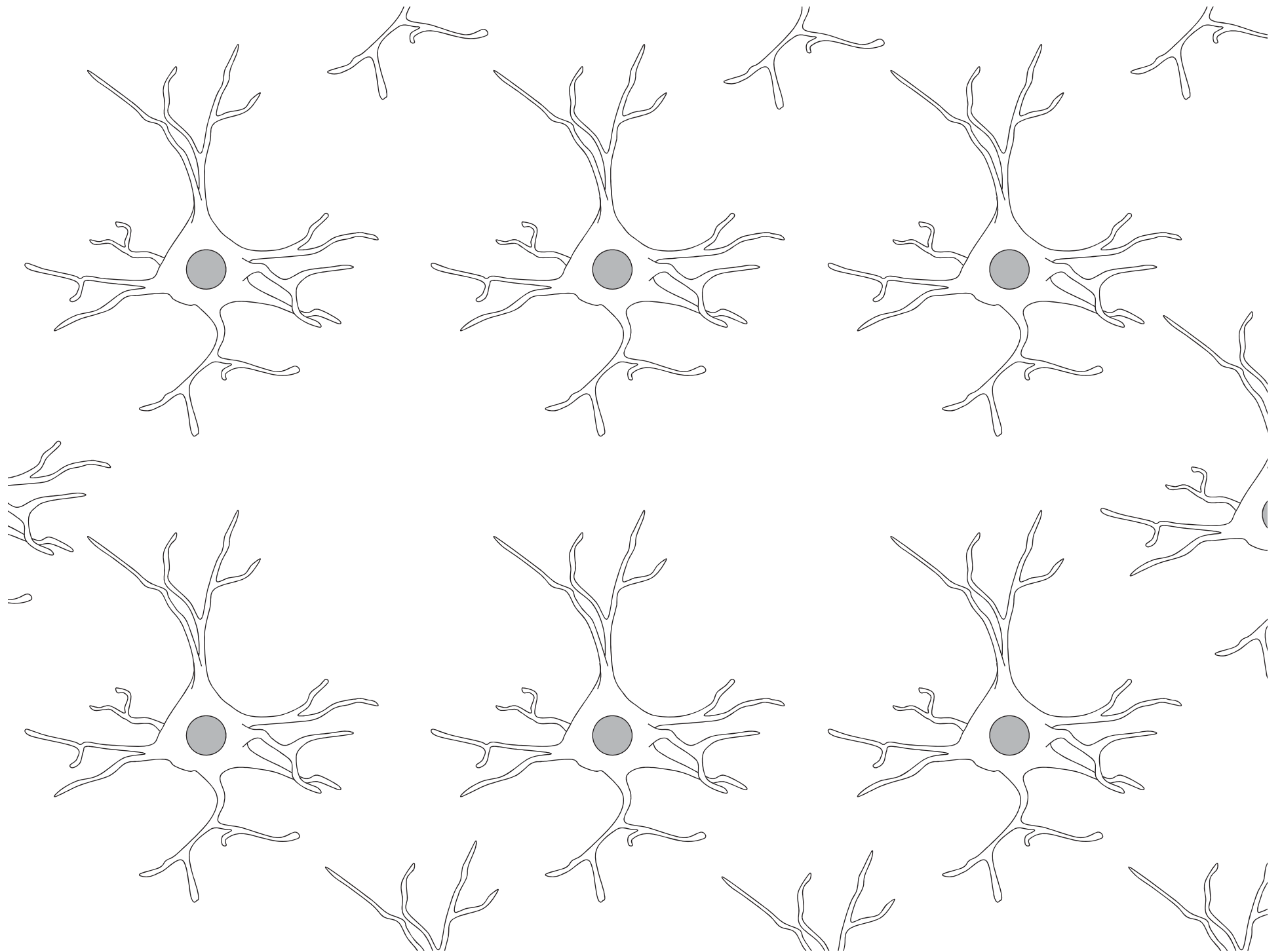
**nature genetics**

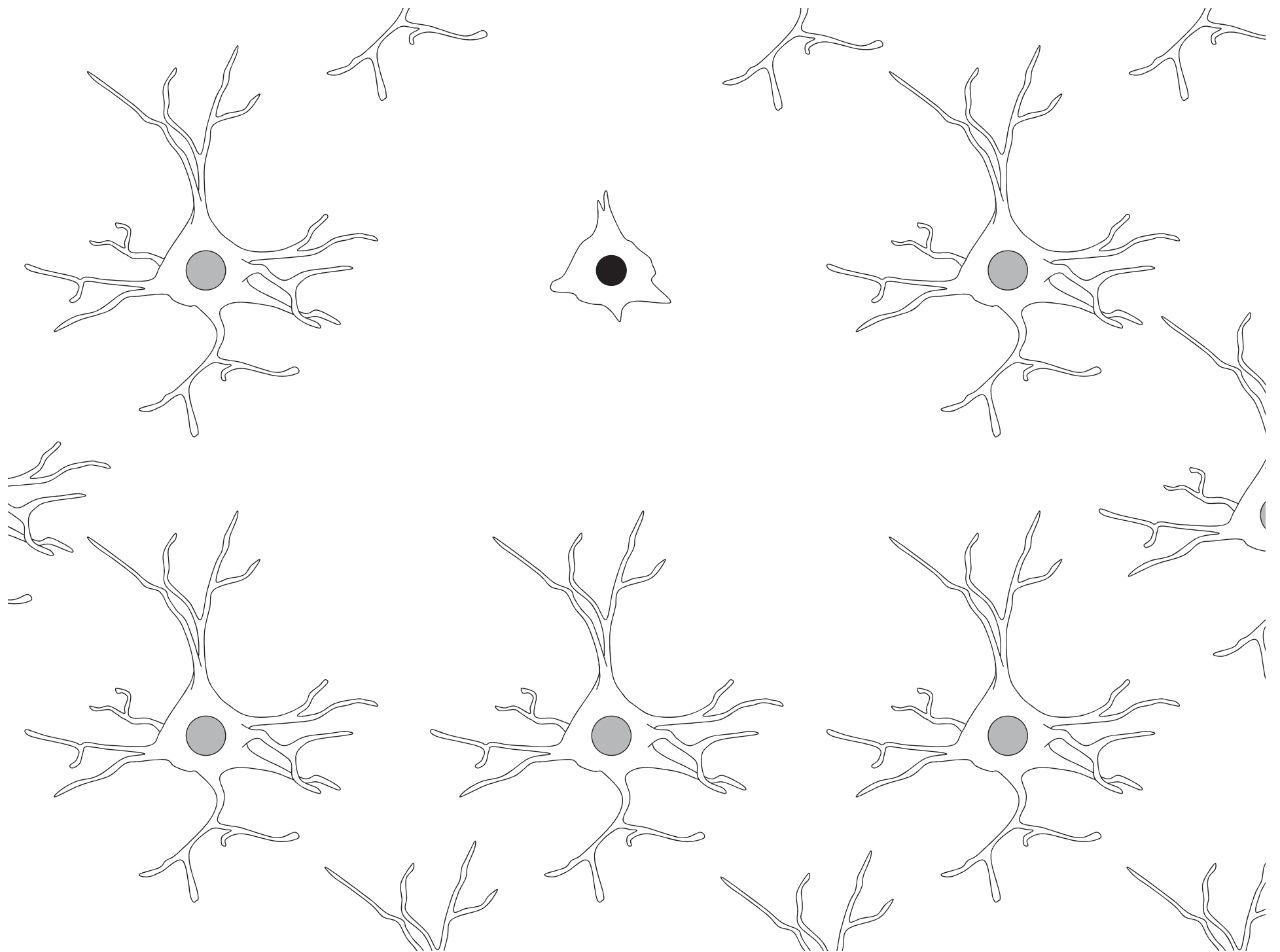
Received 9 March; accepted 15 July; published online 15 August 2010; doi:10.1038/ng.642

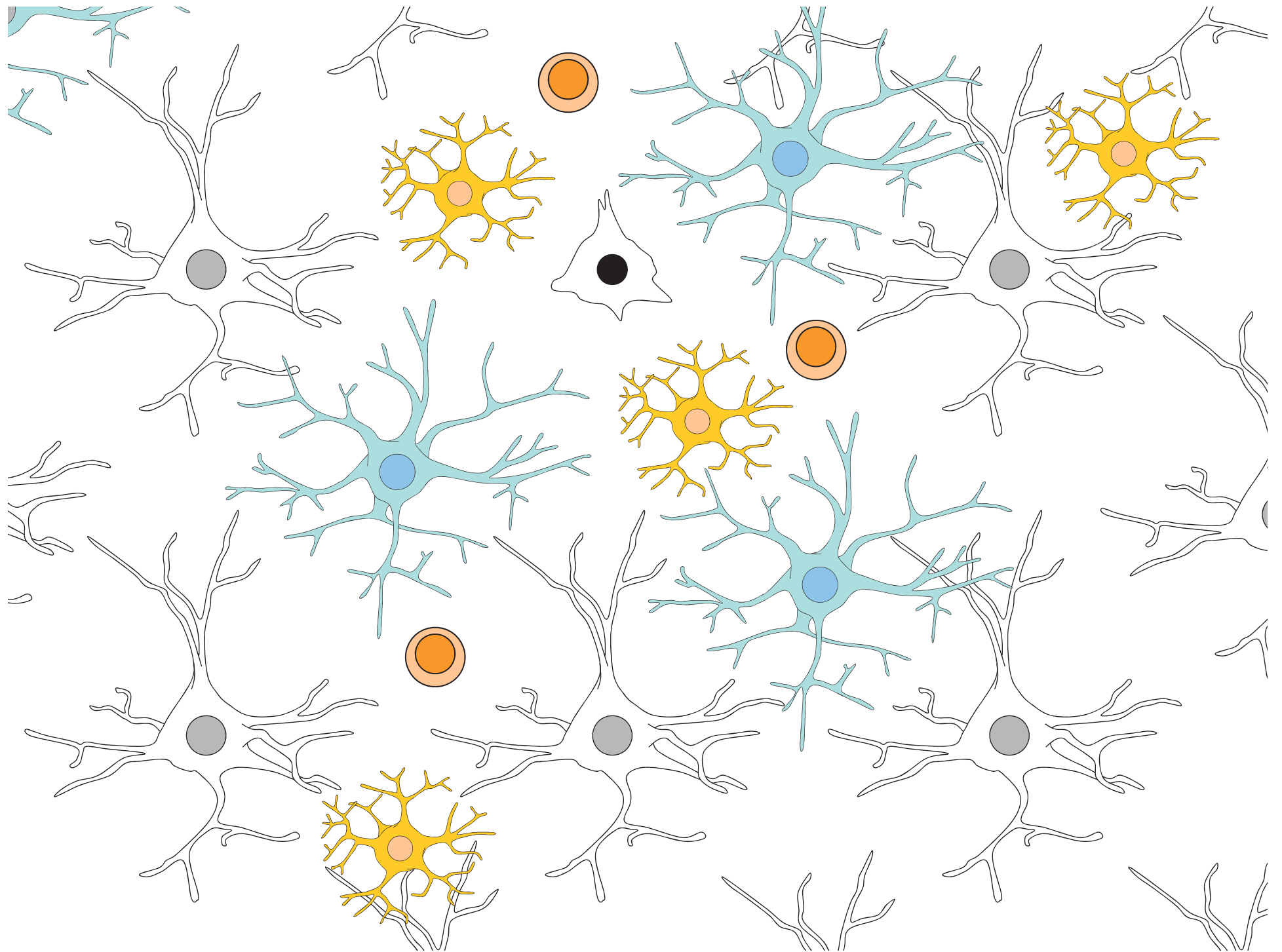
### Common genetic variation in the *HLA* region is associated with late-onset sporadic Parkinson's disease

Taye H Hamza<sup>1</sup>, Cyrus P Zabetian<sup>2,3</sup>, Albert Tenesa<sup>4</sup>, Alain Laederach<sup>1</sup>, Jennifer Montimurro<sup>1</sup>, Dora Yearout<sup>1-3</sup>, Denise M Kay<sup>1</sup>, Kimberly F Doheny<sup>5</sup>, Justin Paschall<sup>6</sup>, Elizabeth Pugh<sup>5</sup>, Victoria I Kusel<sup>1</sup>, Randall Collura<sup>1</sup>, John Roberts<sup>7</sup>, Alida Griffith<sup>8</sup>, Ali Samii<sup>2,3</sup>, William K Scott<sup>9</sup>, John Nutt<sup>10</sup>, Stewart A Factor<sup>11</sup> & Haydeh Payami<sup>1</sup>

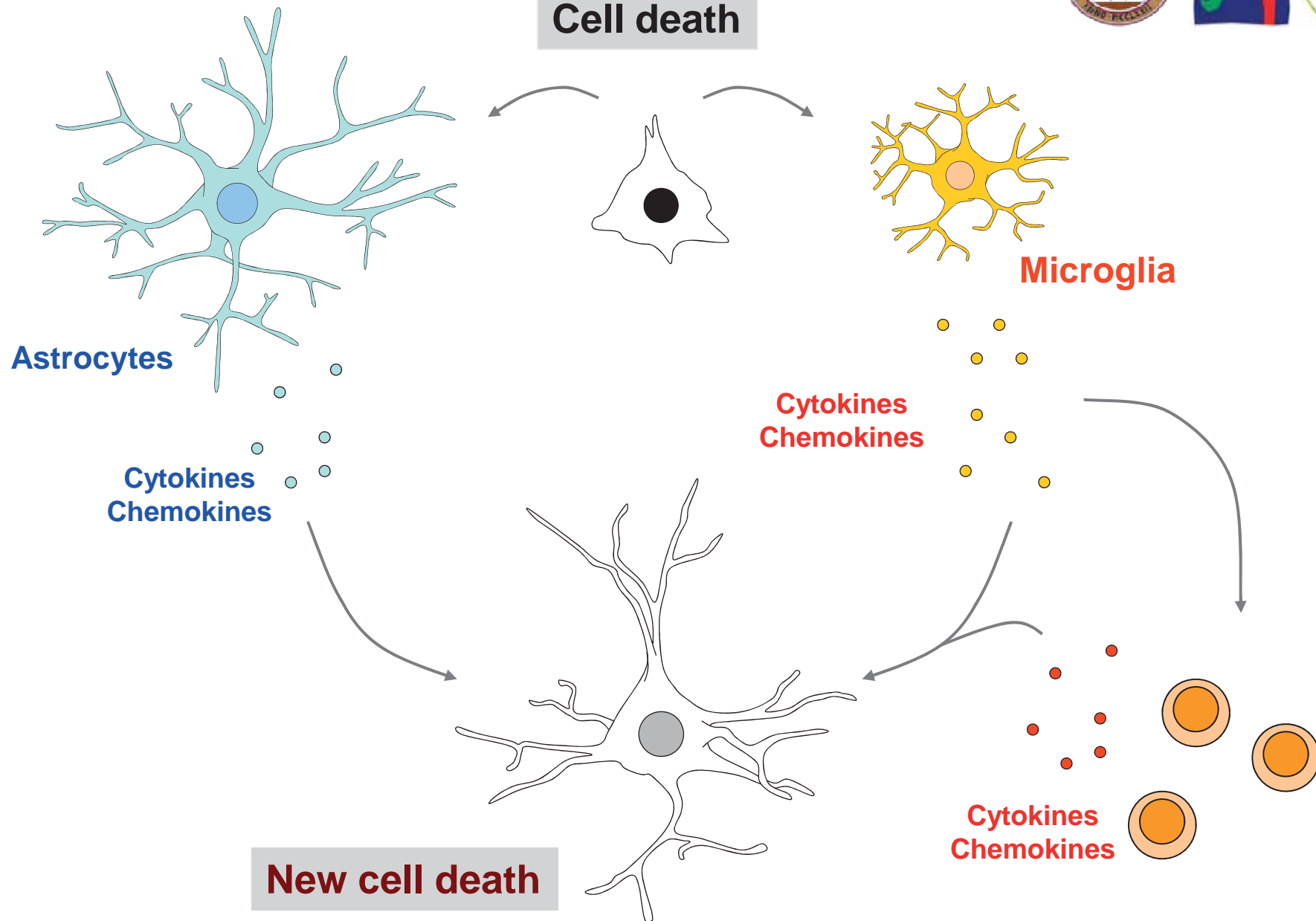
The brains of individuals with Parkinson's disease show upregulation of DR antigens and the presence of DR-positive reactive microglia<sup>12</sup>, and nonsteroidal anti-inflammatory drugs reduce Parkinson's disease risk<sup>4,13</sup>. The genetic association with *HLA* supports the involvement of the immune system in Parkinson's disease and offers new targets for drug development.



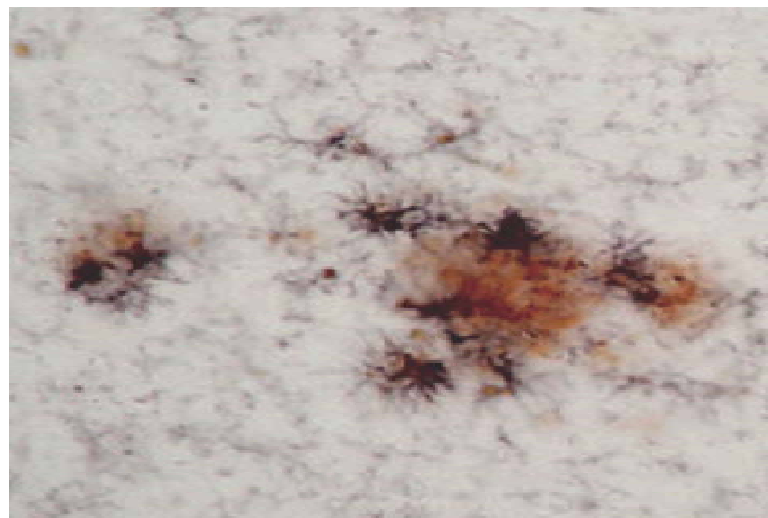
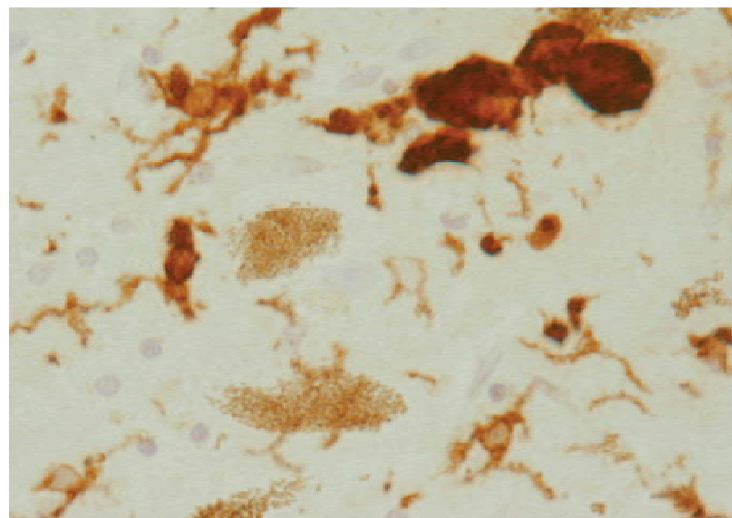




## Cell death

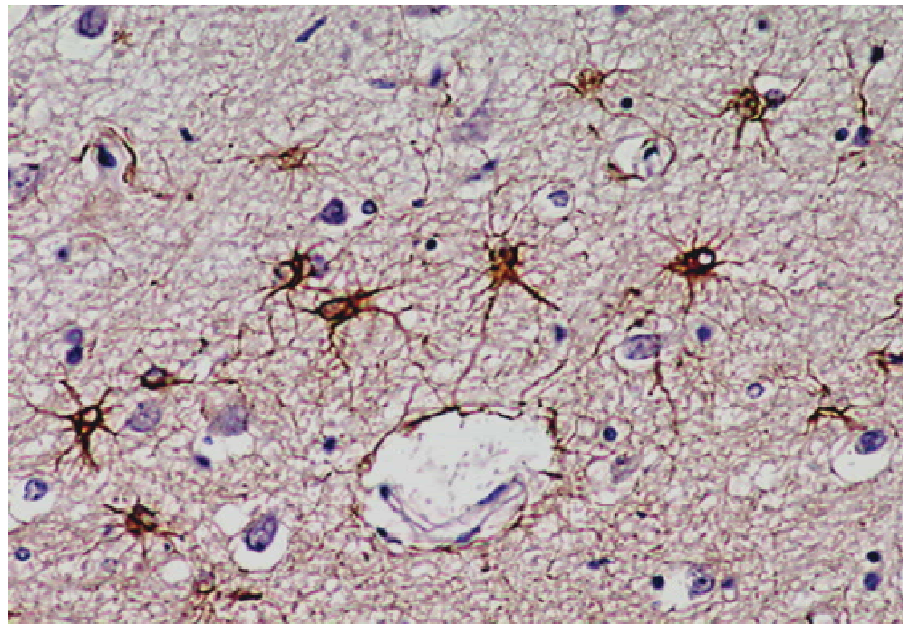


## Estudios *post-mortem* en pacientes con PD o con AD **presentaban microglía activa** en las áreas de mayor muerte neuronal



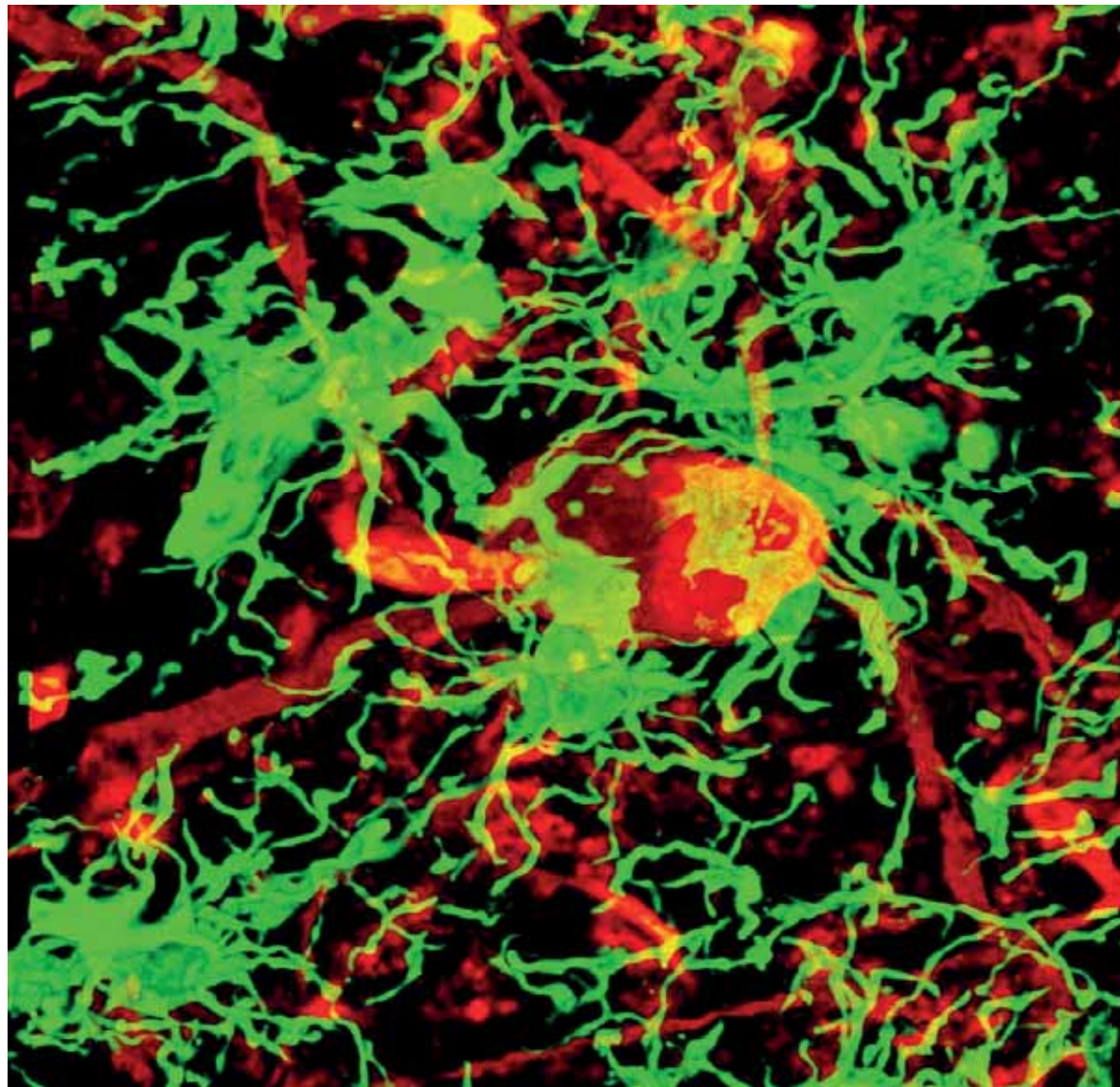
McGeer *et al.*, Neurology 1988

## Estudios *post-mortem* en pacientes con PD o con AD **presentaban astroglía activa** en las áreas de mayor muerte neuronal



Forno et al., Prog Brain Res. 1992;  
Yamaguchi et al., Acta Neuropathologica. 1987

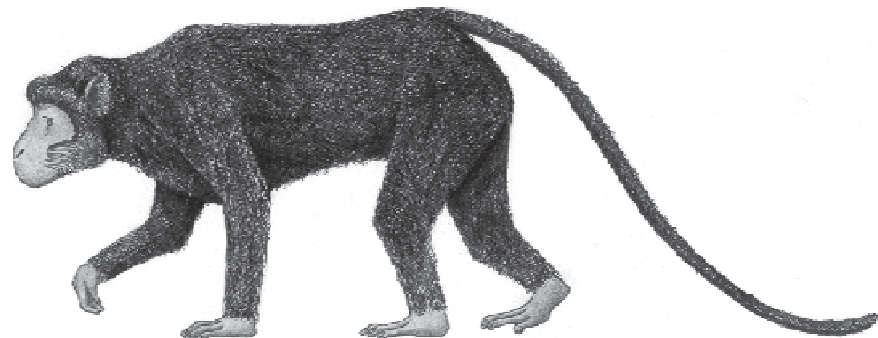
TH: Dopaminergic neurons  
Iba-1: Microglia



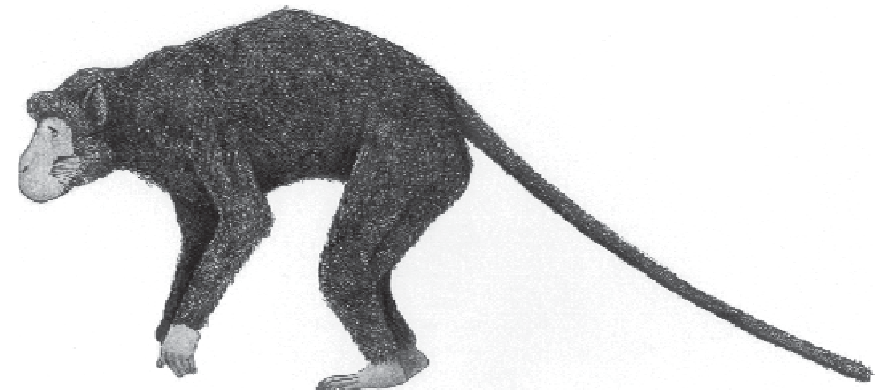
# Modelo de parkinsonismo crónico en monos

Síndrome Parkinsoniano + Muerte Neuronal

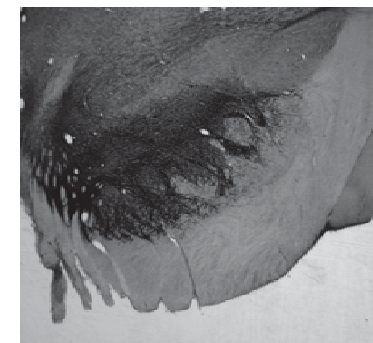
Control



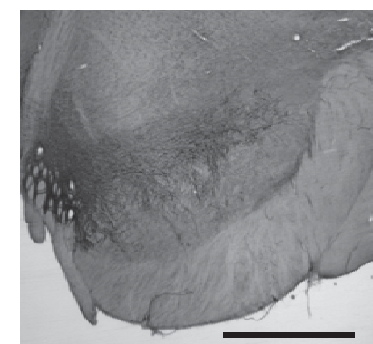
Parkinsonian



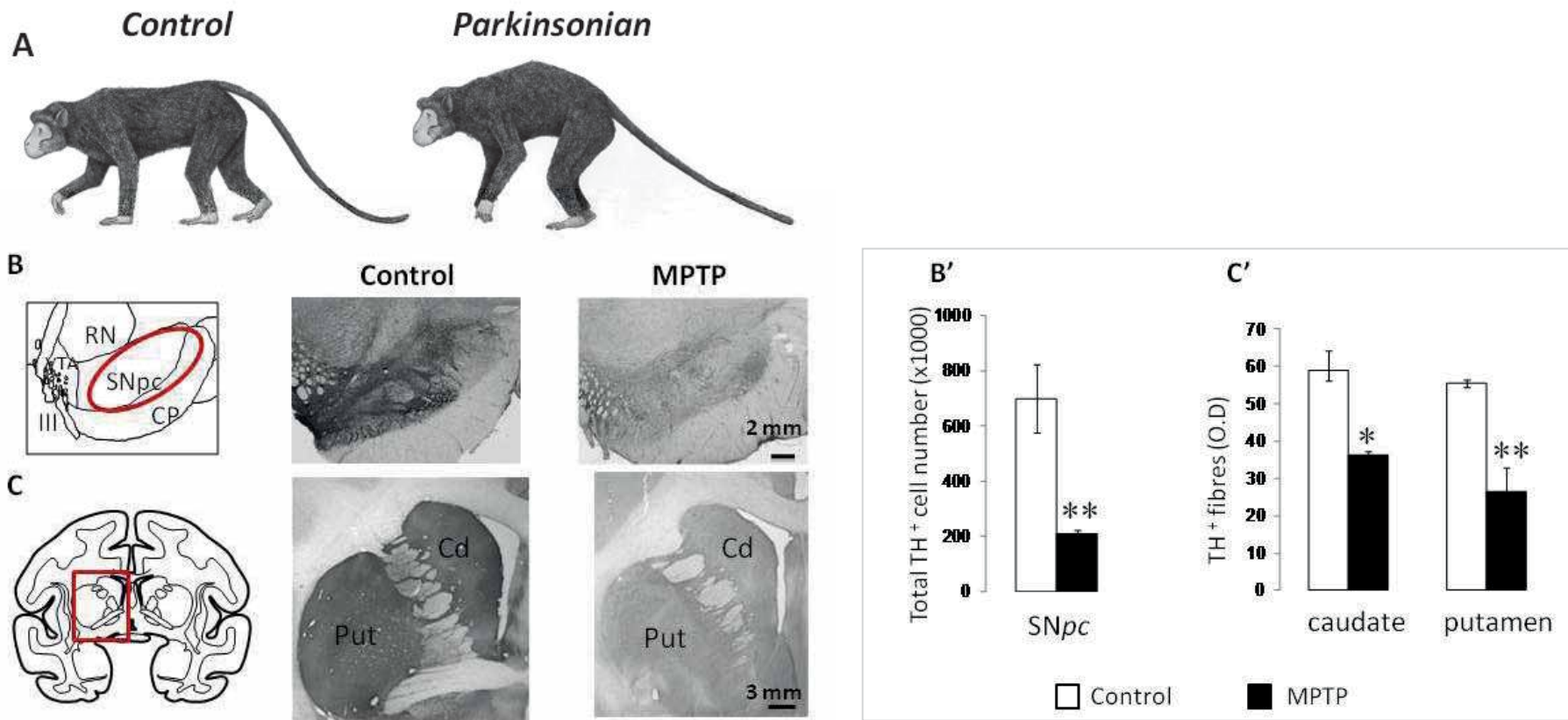
Control



Parkinsonian



# La intoxicación crónica con MPTP induce una pérdida neuronal dopaminérgica persistente y progresiva en la sustancia negra, y de sus proyecciones al estriado

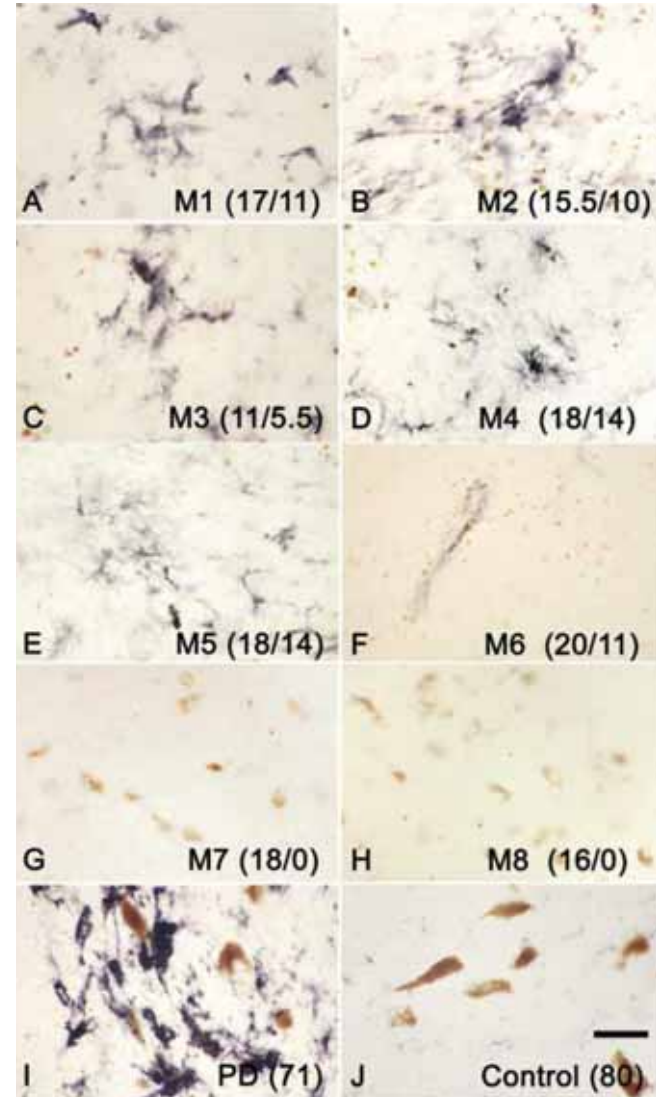




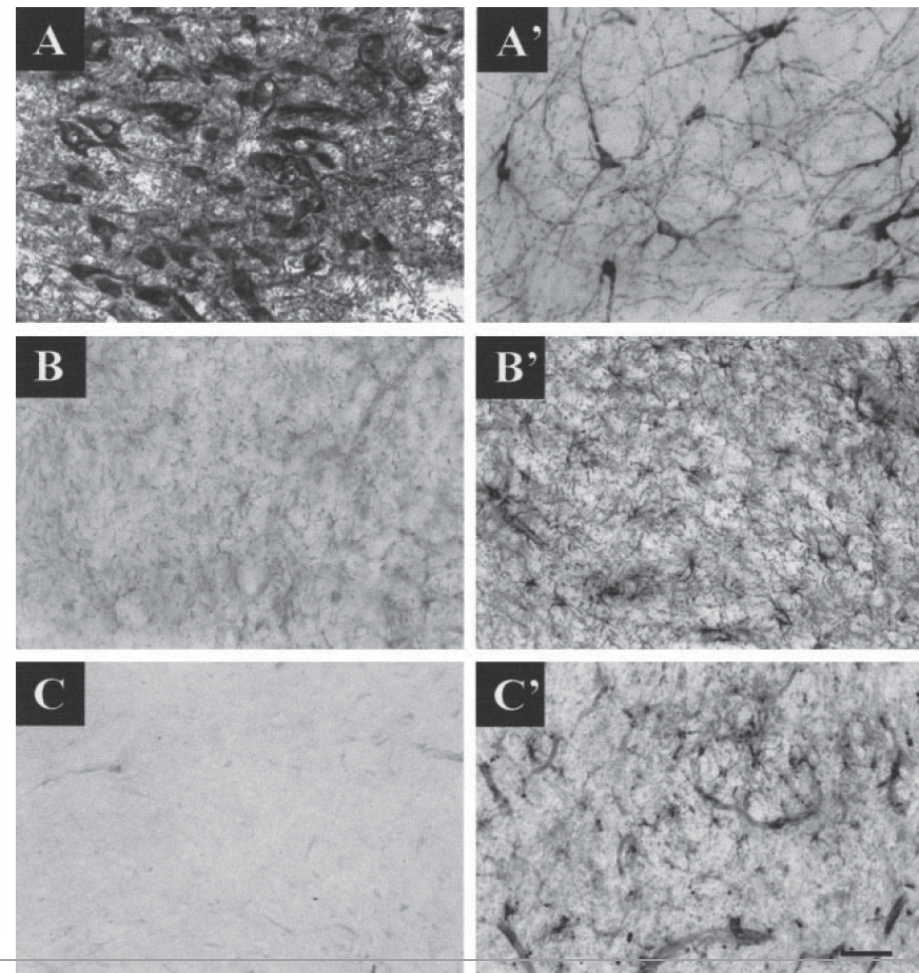
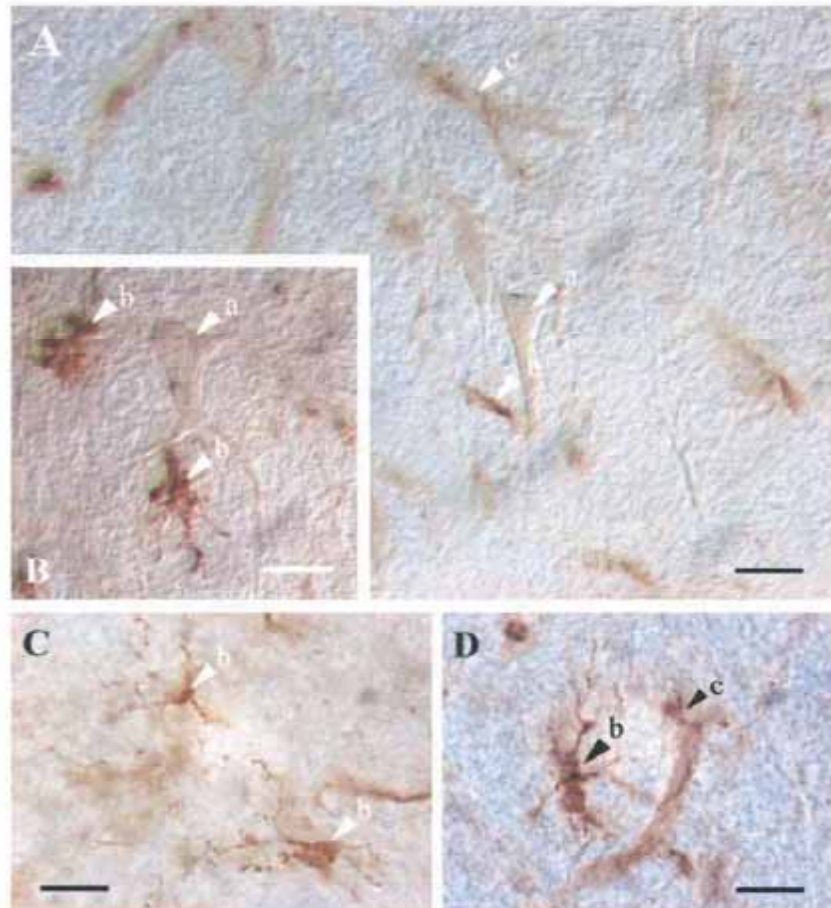
## Microglía y astrocitosis activas años después de la última dosis de MPTP

**PERO...**  
**los monos estaban  
tratados con levodopa**

McGeer *et al.*, Ann Neurol. 2003



## Monos parkinsonizados crónicamente Microglía activa 1 año después de la última dosis de MPTP y sin tratamiento con levodopa

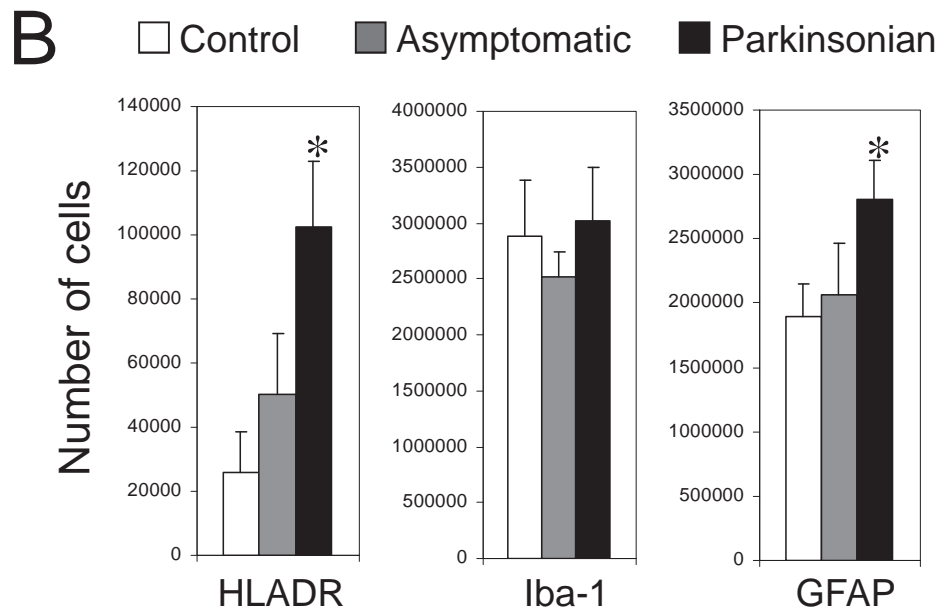
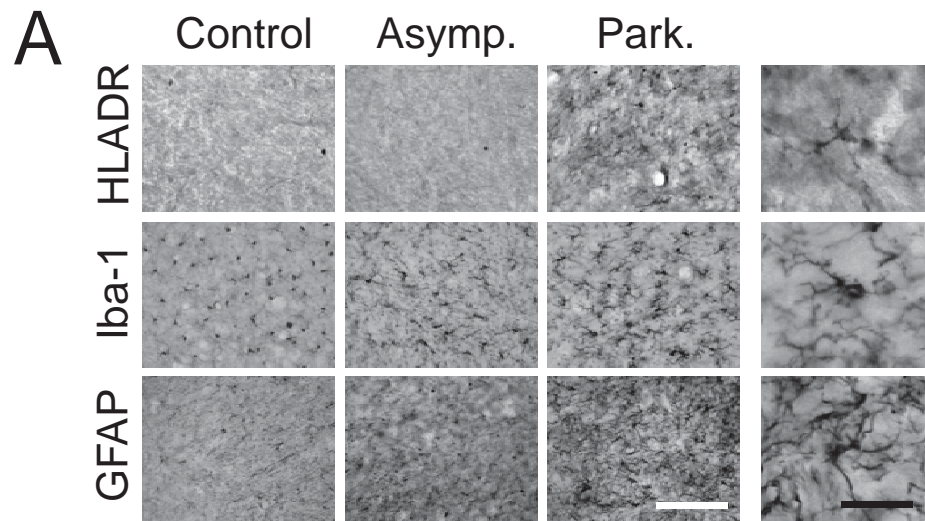


Barcia et al., Glia 2004



## Parkinsonismo crónico en monos MPTP

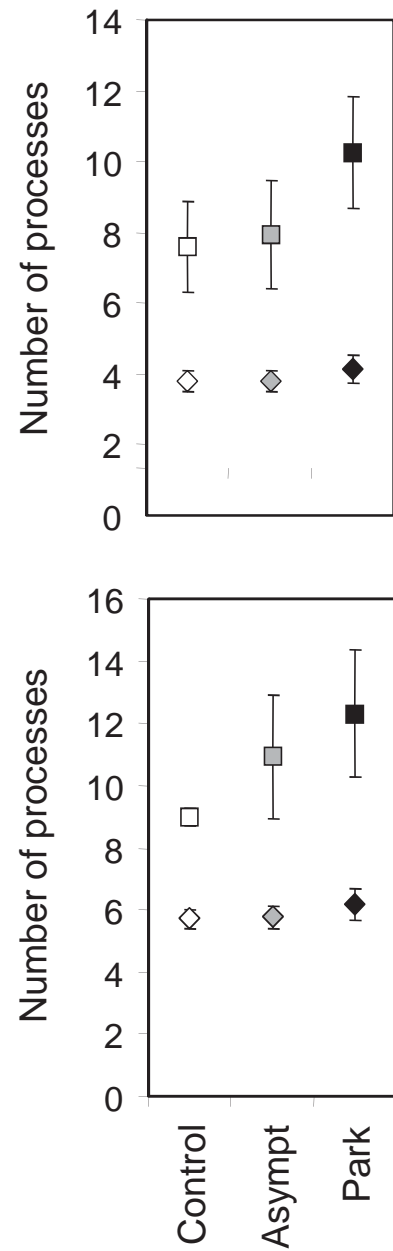
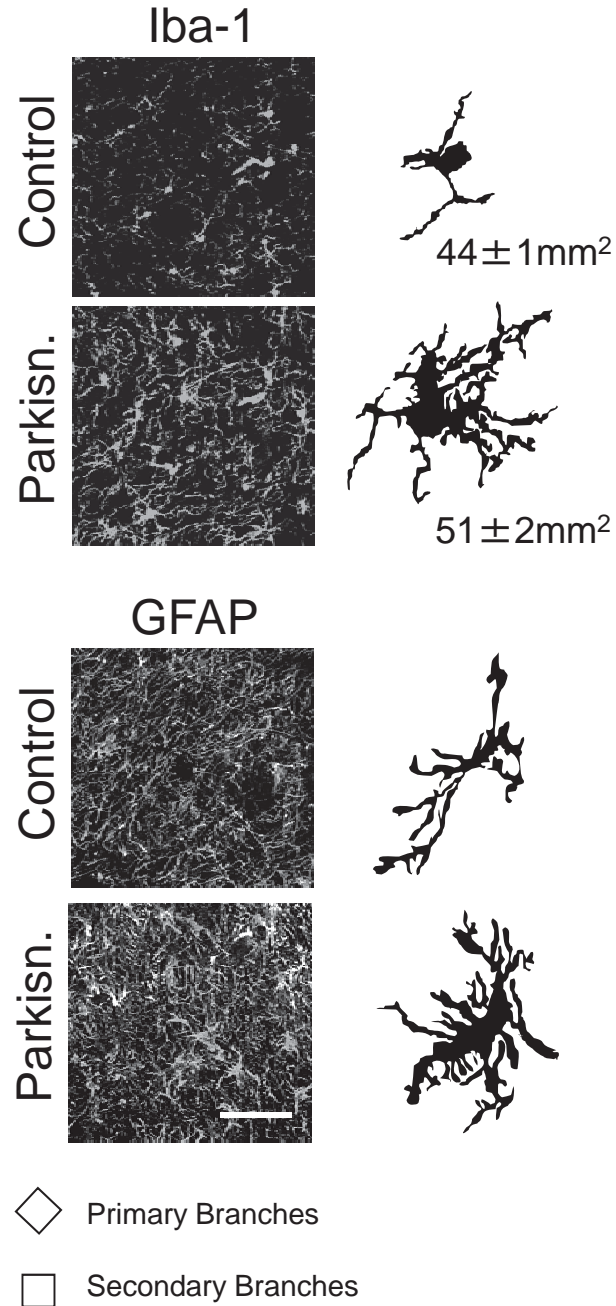
Activación persiste años  
después de la última dosis de  
MPTP



## Parkinsonismo crónico en monos MPTP

Activación persiste años  
después de la última dosis de  
MPTP

Aumenta el tamaño  
y el número de ramificaciones





# ¿Porqué y cómo continúa activa la microglía?



## Las candidatas son las CITOQUINAS

**TNF- $\alpha$  e IFN- $\gamma$**



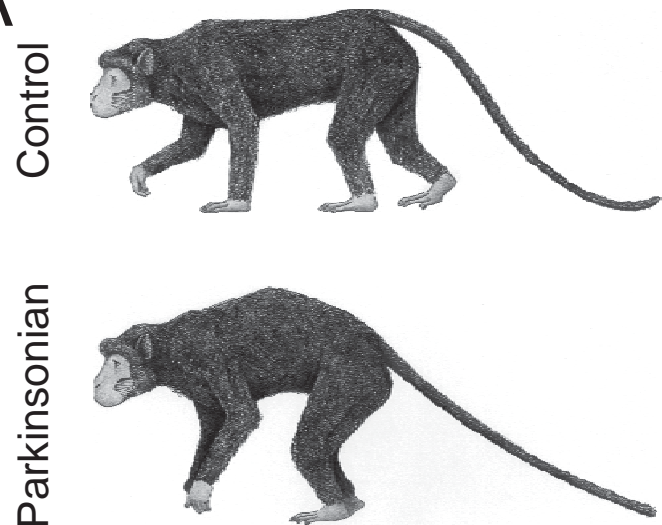
**Serum levels of TNF- $\alpha$  & IFN- $\gamma$  increase in PD patients**  
*(Mogi et al., 1994, Mount et al., 2007)*

**IFN- $\gamma$  KO mice are protected against MPTP**  
*(Mount et al., 2007)*

**TNF- $\alpha$  and TNF- $\alpha$ R KO mice are less sensitive to MPTP**  
*(Ferger et al., 2004; McCoy et al., 2006; Sriram et al., 2006)*



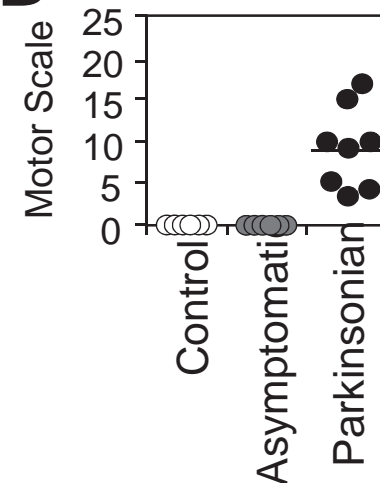
**A**



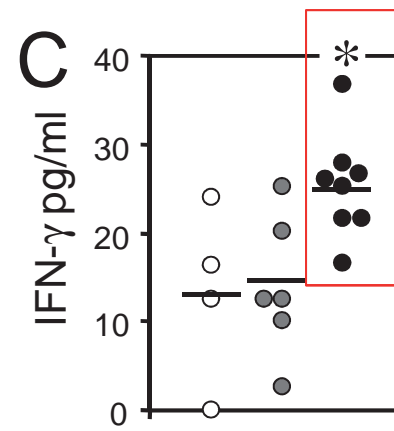
Control

Parkinsonian

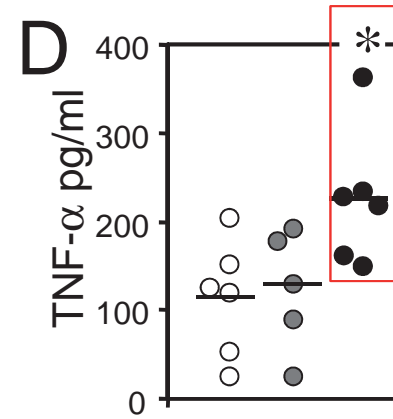
**B**



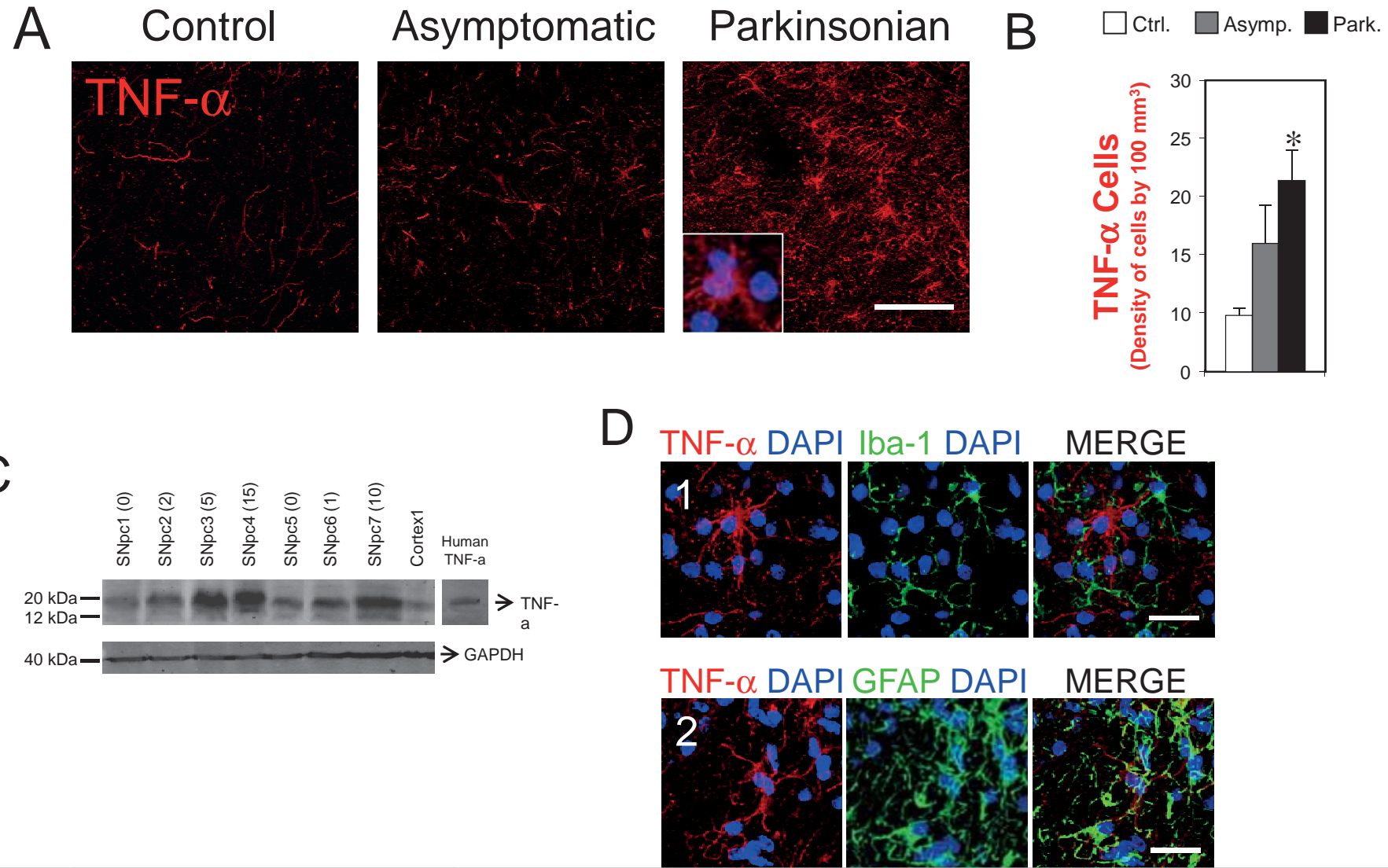
## Niveles séricos de citoquinas



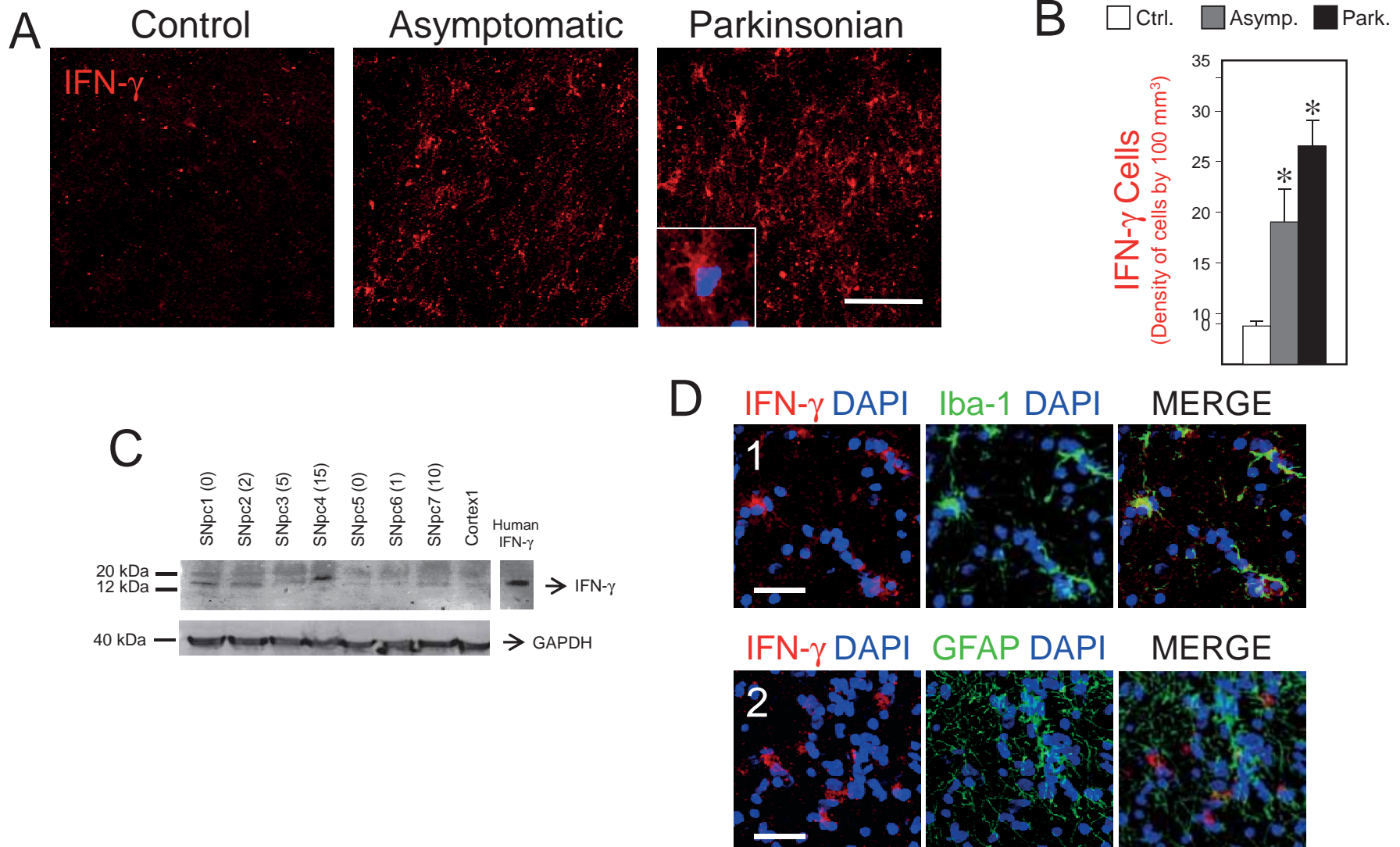
□ Ctrl. ■ Asymp. ■ Park.



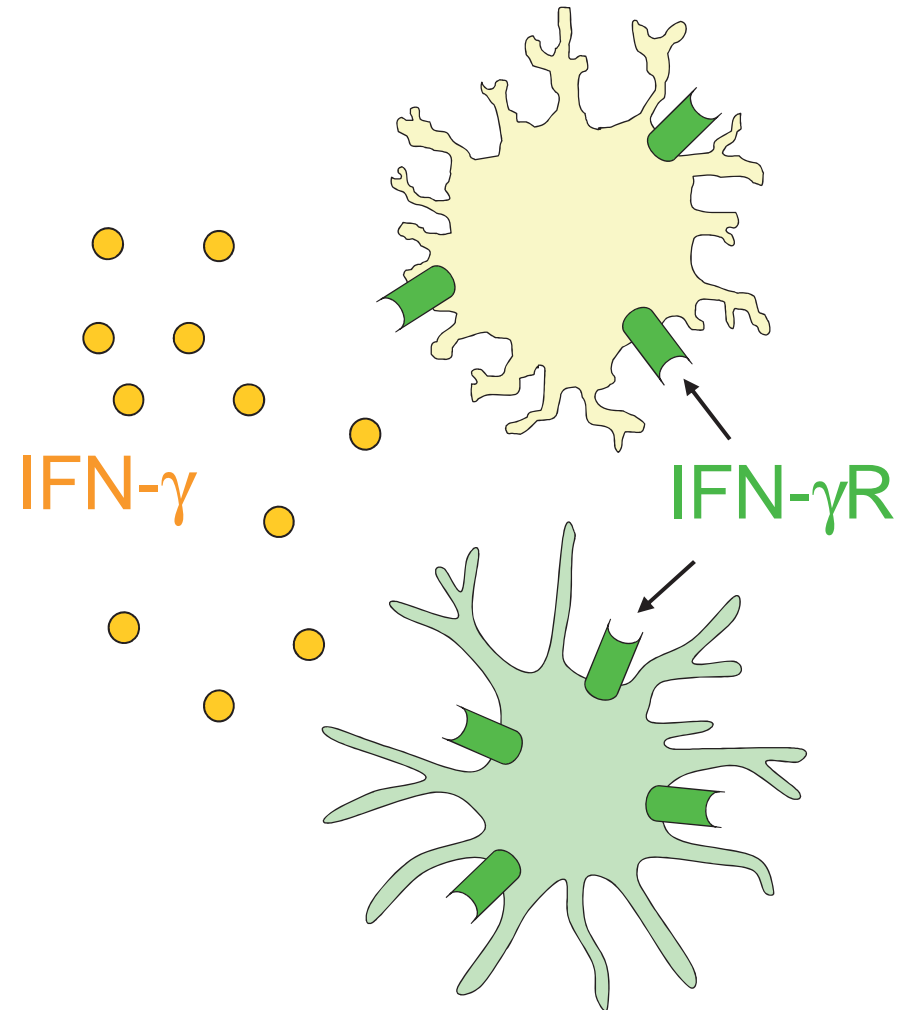
## TNF- $\alpha$ aumentado en monos parkinsonianos



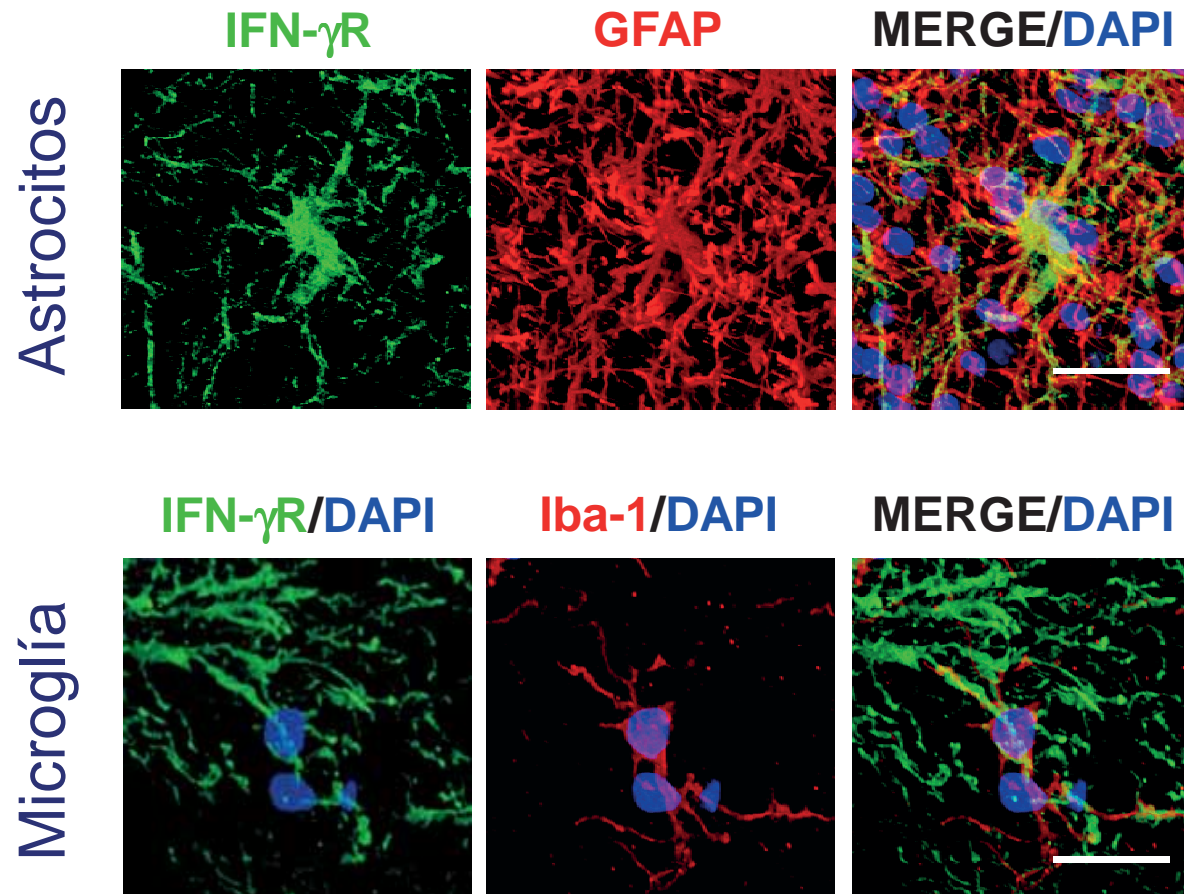
## IFN- $\gamma$ aumentado en monos parkinsonianos



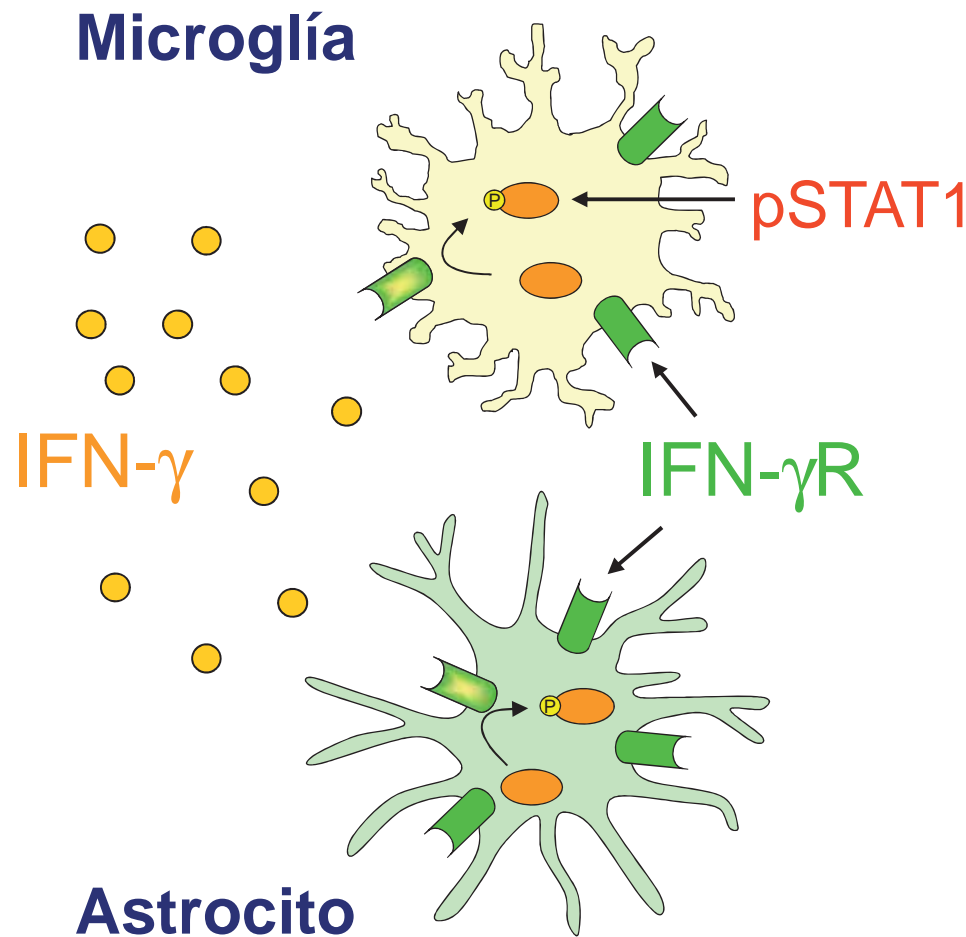
## ¿En que células se expresa el receptor de IFN- $\gamma$ ?



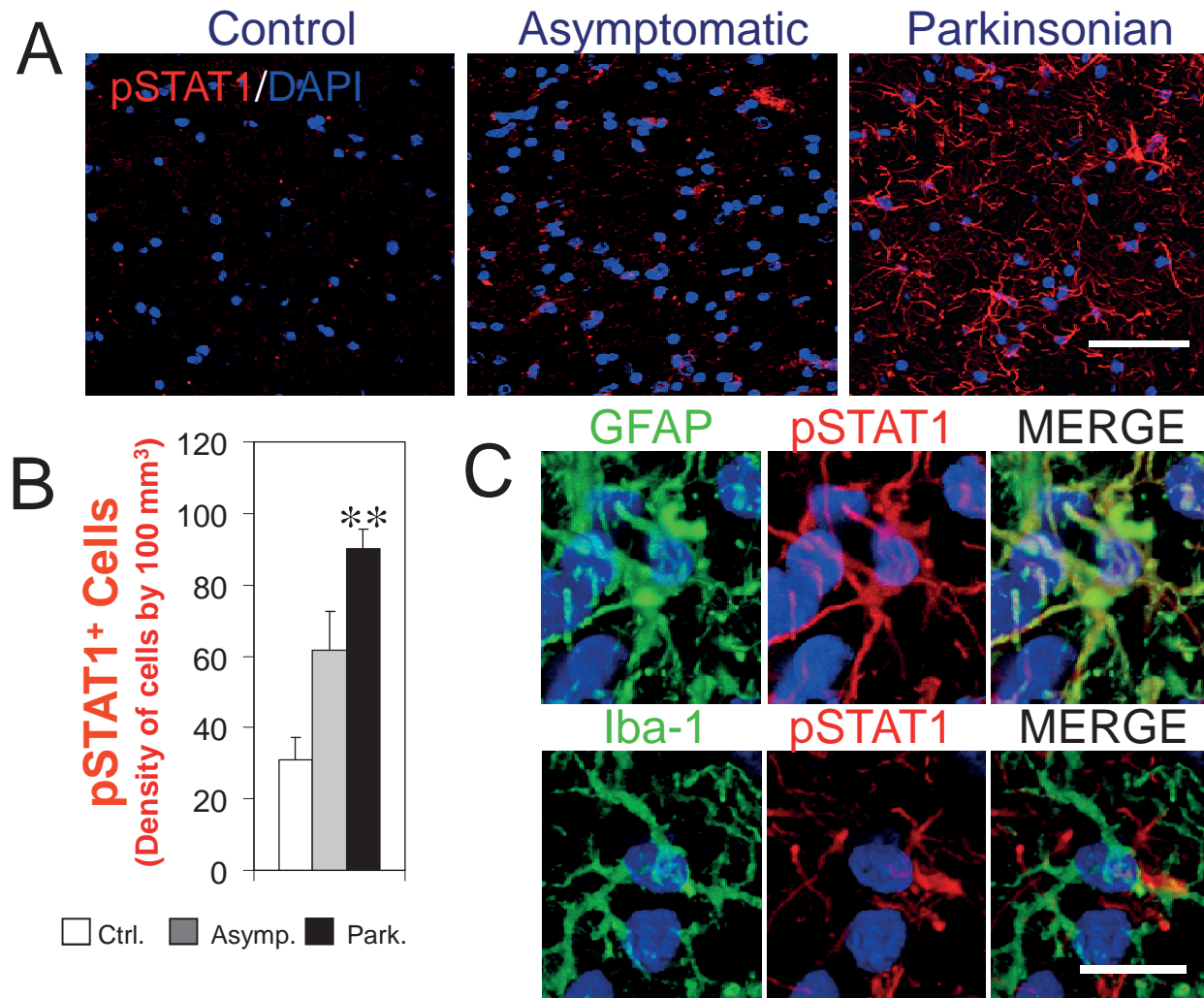
## El receptor de IFN- $\gamma$ se expresa en microglía y astrocita



## El receptor de IFN- $\gamma$ se expresa en microglía y astrocita



## La señal de IFN- $\gamma$ aumenta en los monos parkinsonianos



**STAT1** → member of the Signal Transducers and Activators of Transcription family.  
It is involved in upregulating genes due to a signal by IFN.



# ¿Cuál es el papel de IFN- $\gamma$ y TNF- $\alpha$ en la activación glial?

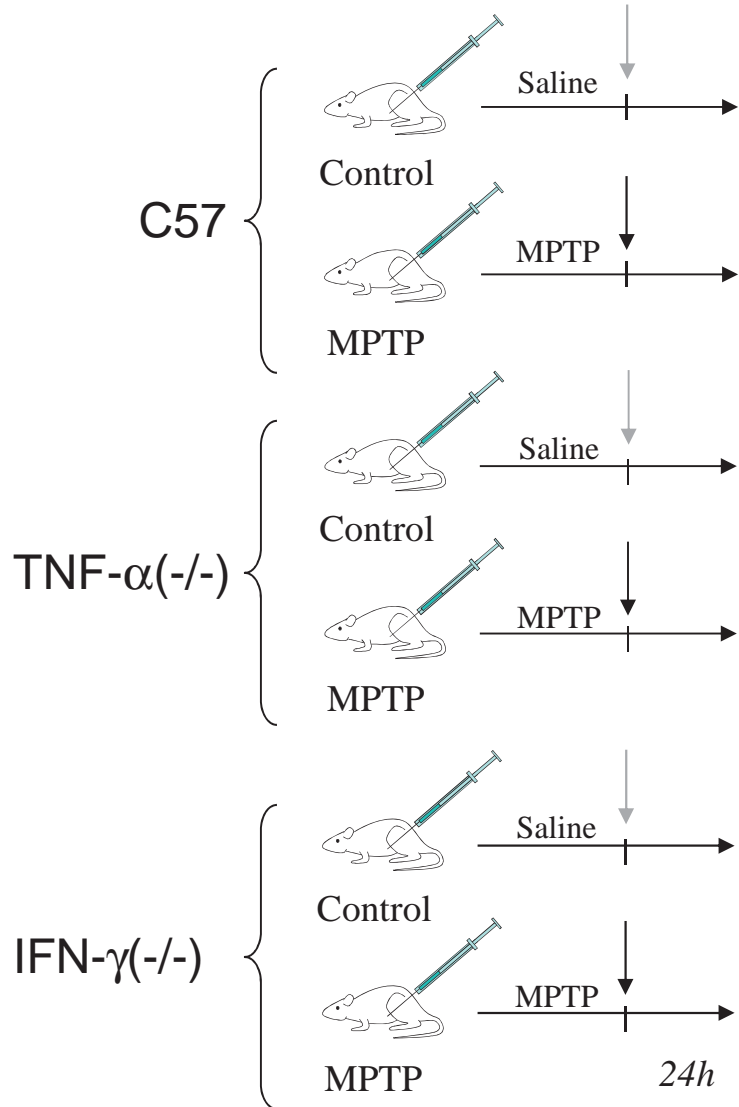
Citation: Cell Death and Disease (2011) 2, e142; doi:10.1038/cddis.2011.17

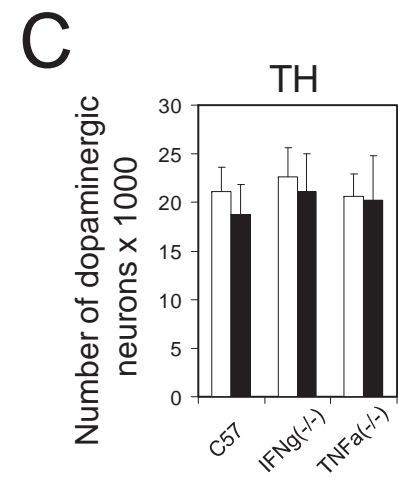
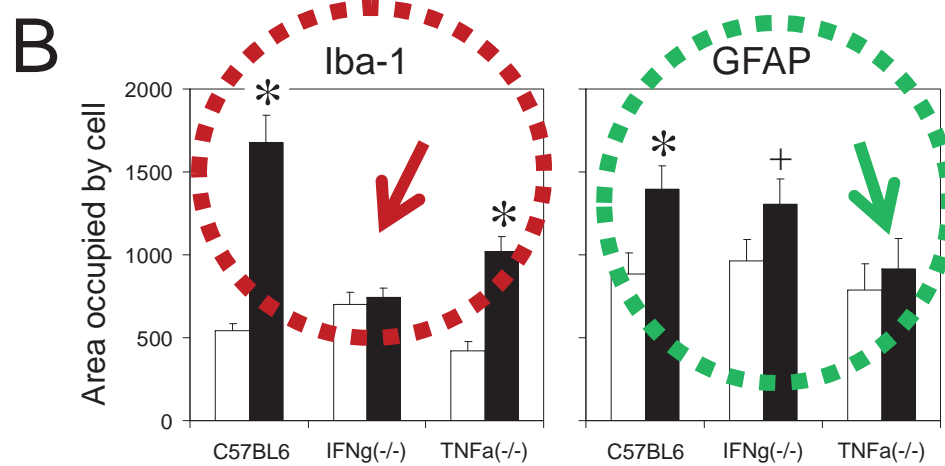
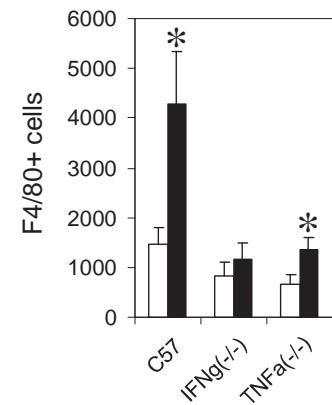
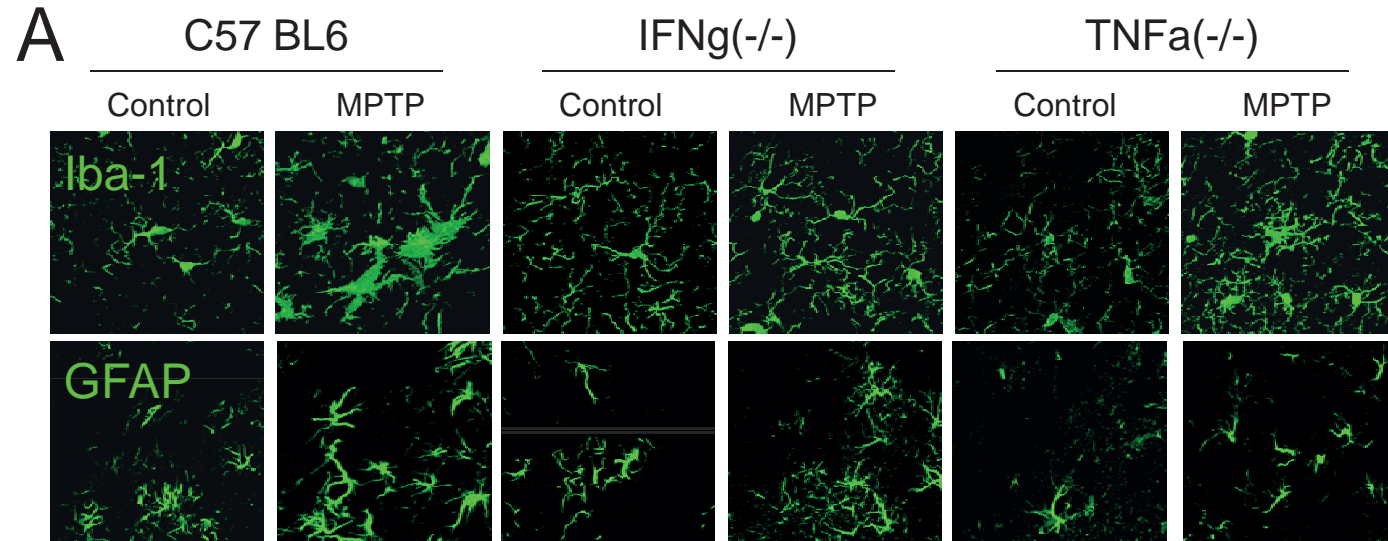
© 2011 Macmillan Publishers Limited. All rights reserved 2041-4889/11

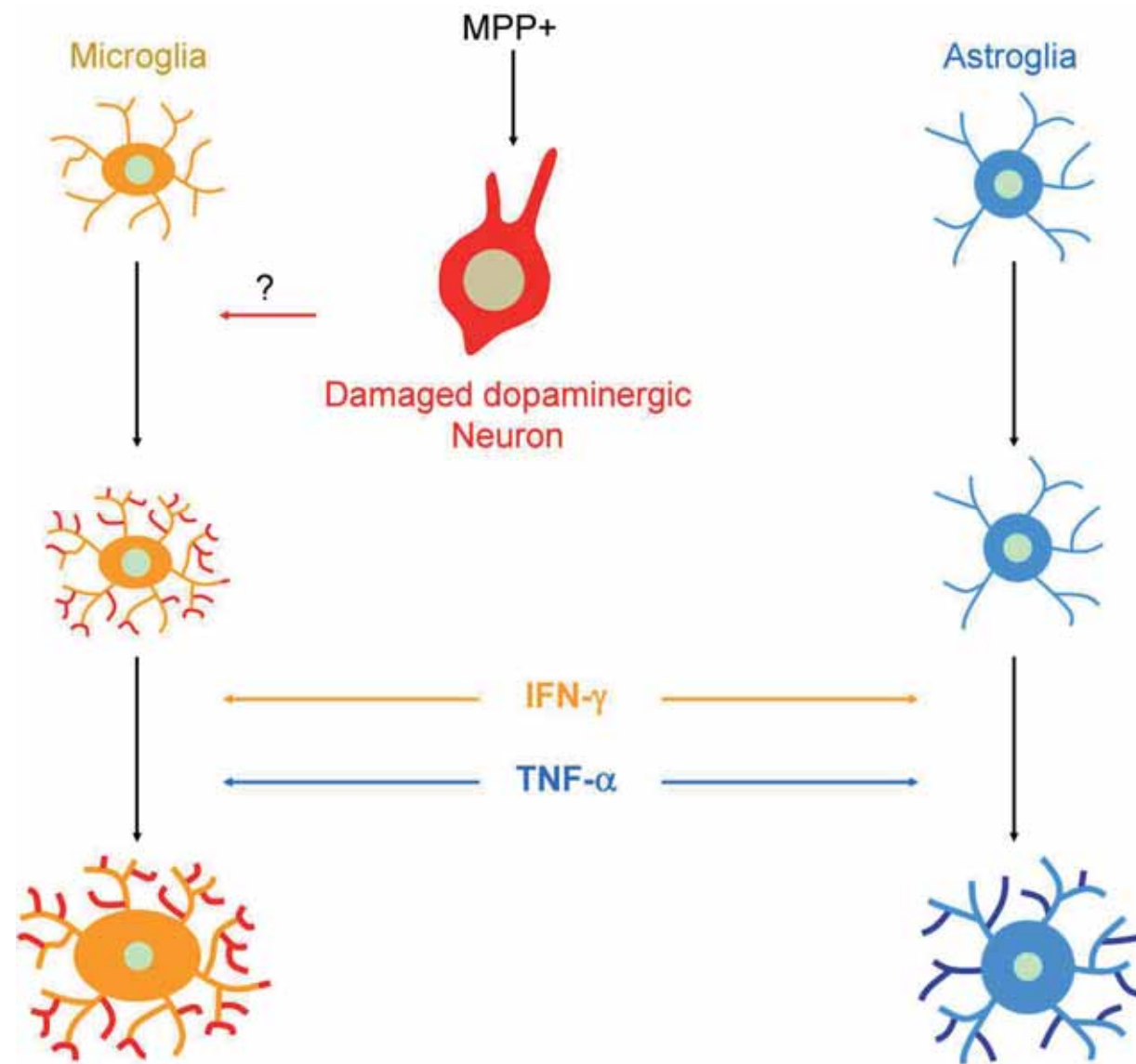
[www.nature.com/cddis](http://www.nature.com/cddis)

**IFN- $\gamma$  signaling, with the synergistic contribution of TNF- $\alpha$ , mediates cell specific microglial and astroglial activation in experimental models of Parkinson's disease**

C Barcia<sup>1,2</sup>, CM Ros<sup>1,2</sup>, V Annese<sup>1,2</sup>, A Gómez<sup>1,2</sup>, F Ros-Bernal<sup>1,2</sup>, D Aguado-Yera<sup>1,2</sup>, ME Martínez-Pagán<sup>1</sup>, V de Pablos<sup>1,2</sup>, E Fernandez-Villalba<sup>1,2</sup> and MT Herrero\*<sup>1,2</sup>









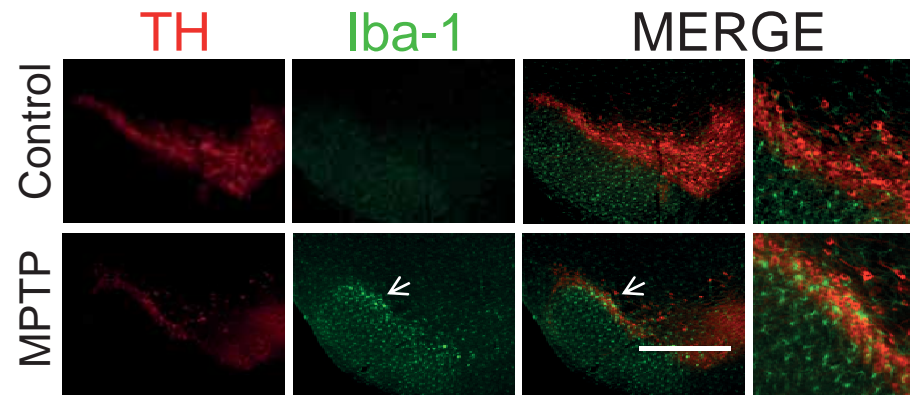
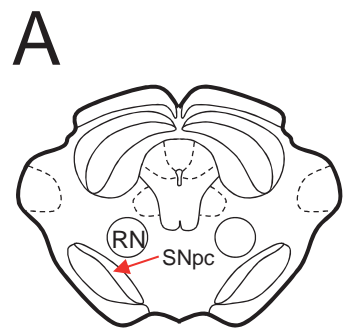
Microglia



# ¿Cuál es el papel de la microglía en la enfermedad de Párkinson?

## Activación específica de microglía en ratones parkinsonizados

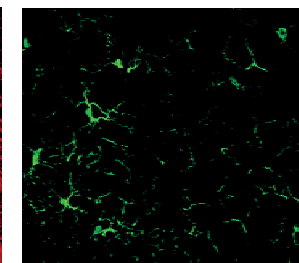
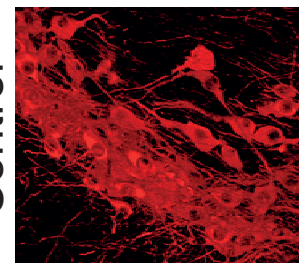
**A**



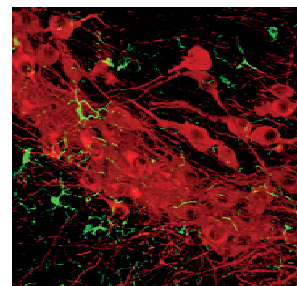
**B**



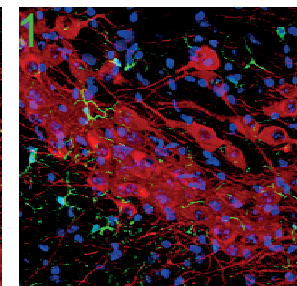
Control



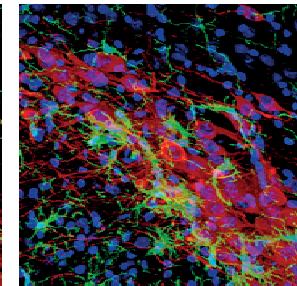
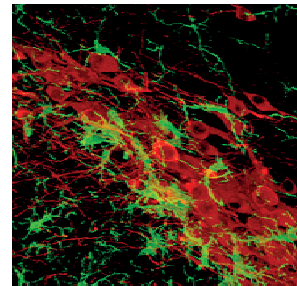
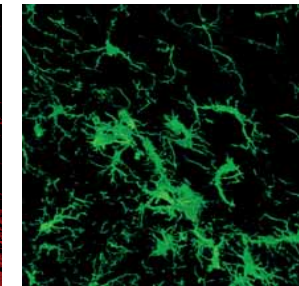
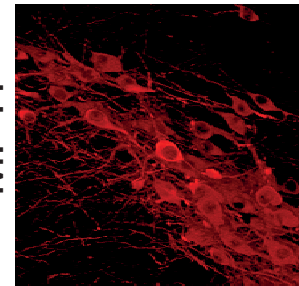
TH/Iba-1

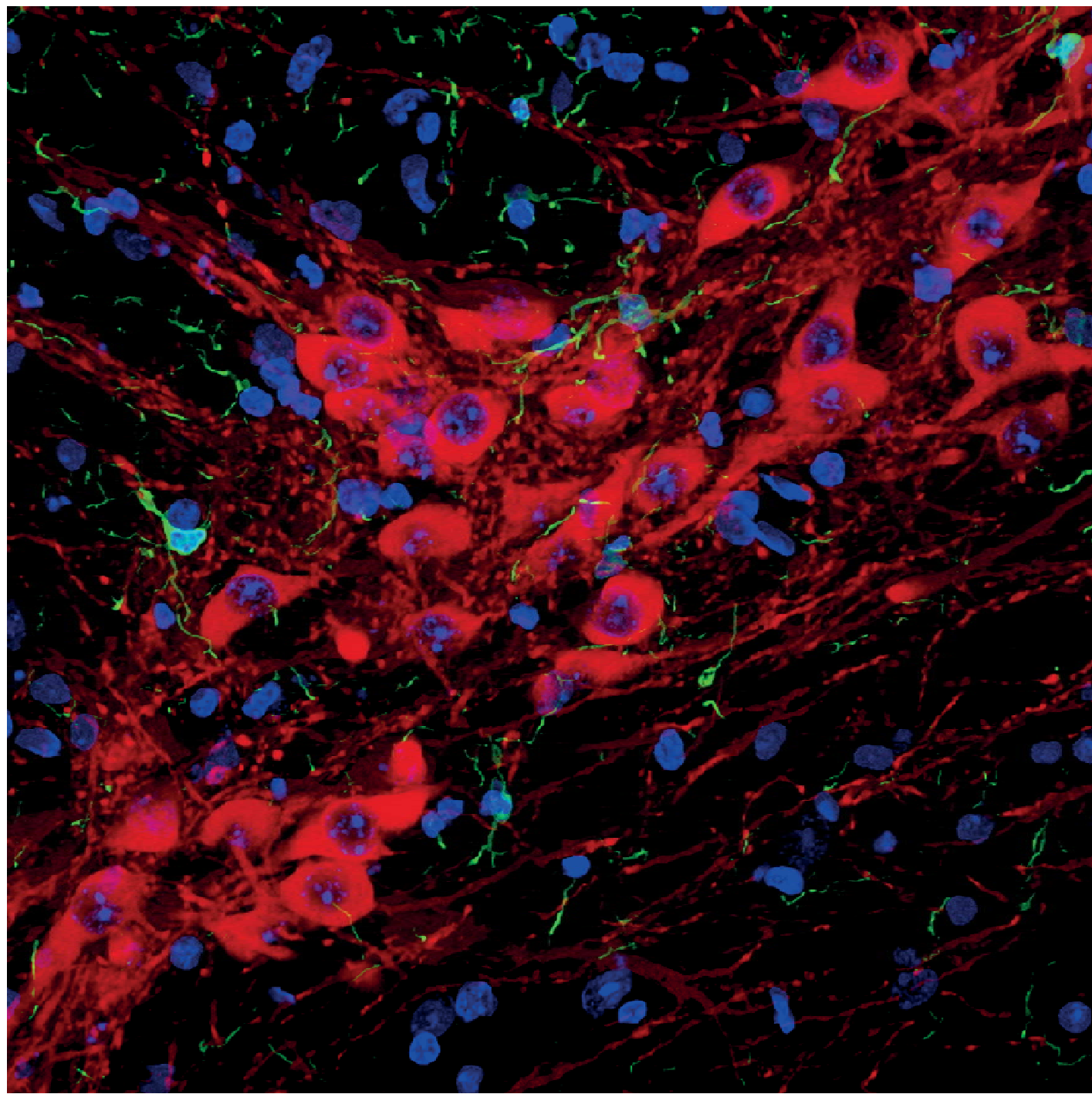


DAPI/TH/Iba-



MPTP

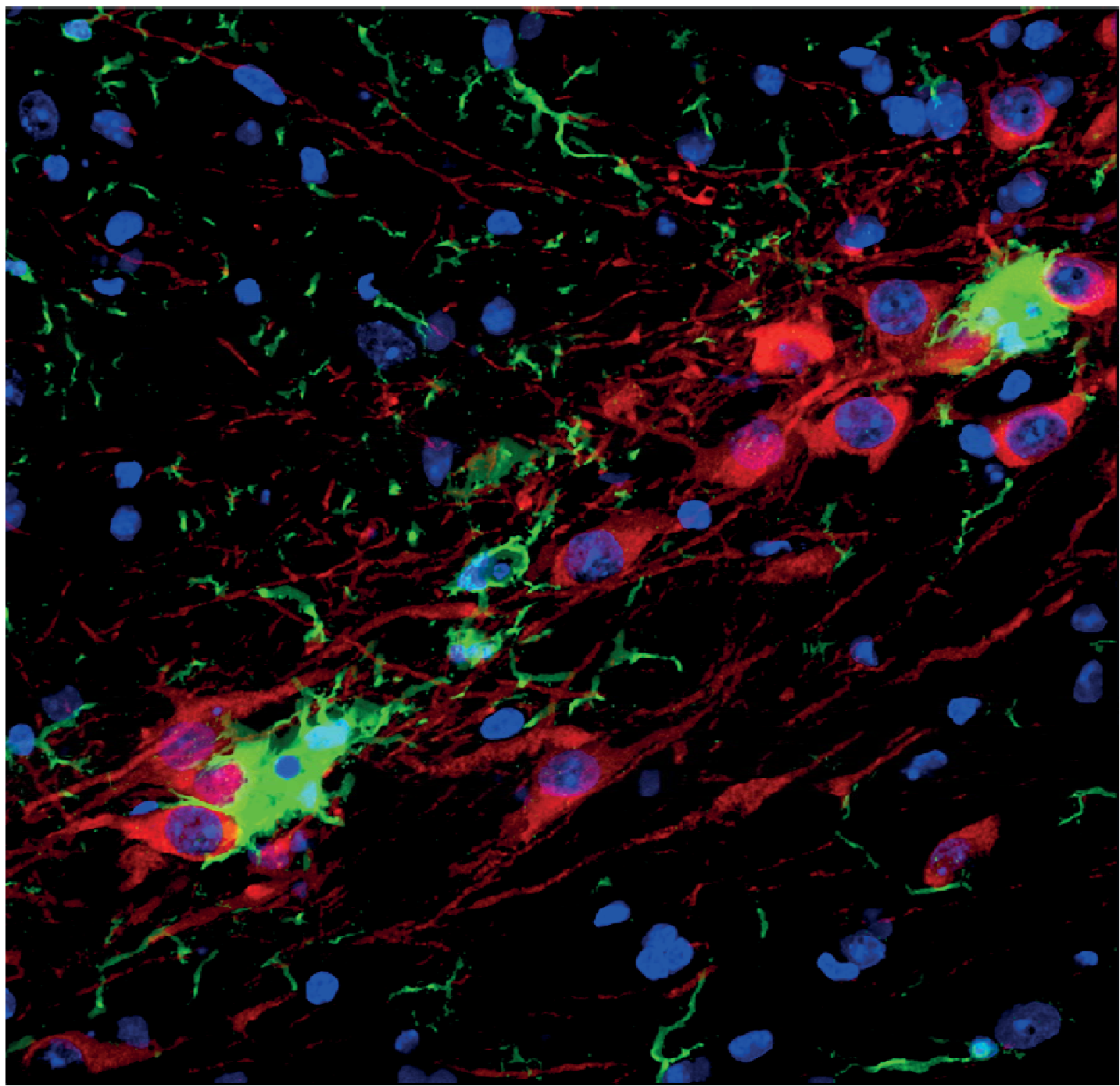




TH: Dopaminergic neurons

Iba-1: Microglia

DAPI: Nuclei



TH: Dopaminergic neurons

Iba-1: Microglia

DAPI: Nuclei



# ¿Es que la microglía hace contactos con las neuronas dopaminérgicas?

## ¿Y aumentan después del tratamiento con MPTP?

SCIENTIFIC REPORTS | 2 : 809 | DOI: 10.1038/srep00809

**OPEN**

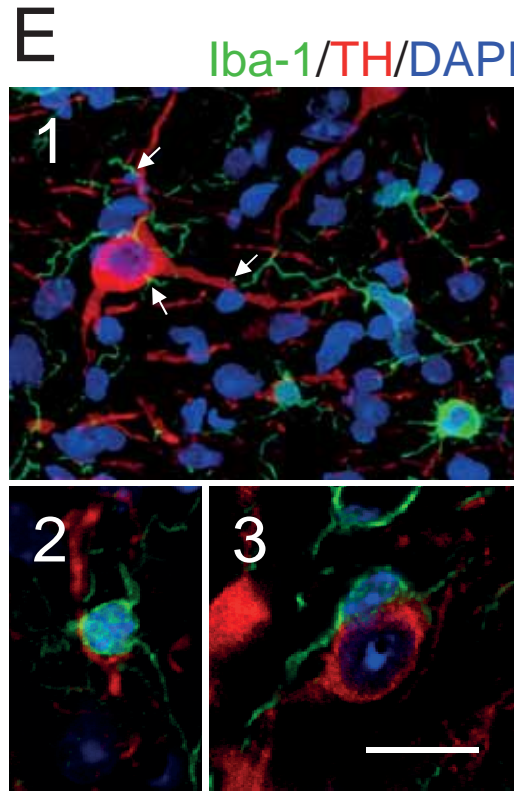
SUBJECT AREAS:  
INFLAMMATION  
CELLULAR IMAGING  
CELL DEATH IN THE NERVOUS SYSTEM  
PARKINSON'S DISEASE

Received:

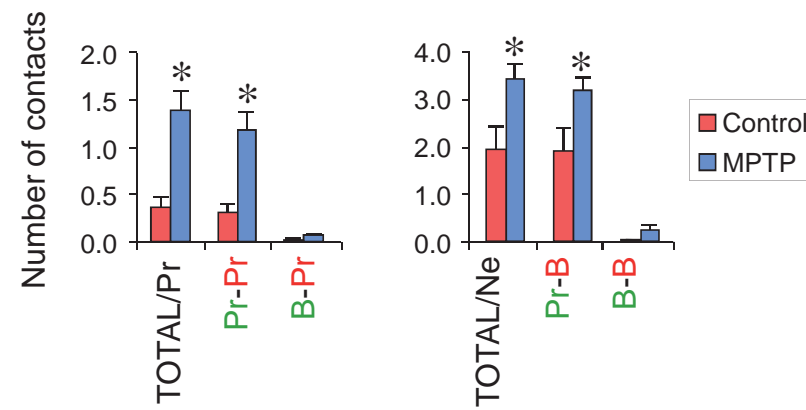
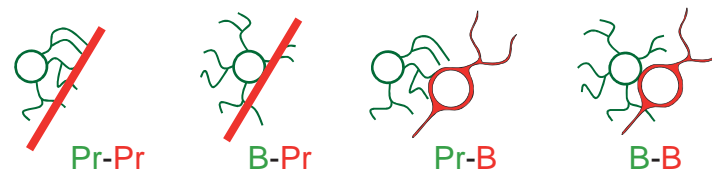
ROCK/Cdc42-mediated microglial motility and gliaple formation lead to phagocytosis of degenerating dopaminergic neurons *in vivo*

Carlos Barcia<sup>1,2</sup>, Carmen María Ros<sup>1,2</sup>, Valentina Annese<sup>1,2</sup>, María Angeles Carrillo-de Savio<sup>1,2</sup>, Francisco Ros-Bernal<sup>1,2</sup>, Aurora Gómez<sup>1,2</sup>, José Enrique Yuste<sup>1,2</sup>, Carmen María Campuzano<sup>3</sup>, Vicente de Pablos<sup>1,2</sup>, Emiliano Fernández-Villalba<sup>1,2</sup> & María Trinidad Herrero<sup>1,2</sup>

SI → 24 h después de la intoxicación con MPTP  
**Aumentan los contactos entre las neuronas y la microglía**



**F** Microglia/dopaminergic neuron





# ¿Y en el parkinsonismo crónico?

SCIENTIFIC REPORTS | 2 : 809 | DOI: 10.1038/srep00809

**OPEN**

SUBJECT AREAS:  
INFLAMMATION  
CELLULAR IMAGING  
CELL DEATH IN THE NERVOUS SYSTEM  
PARKINSON'S DISEASE

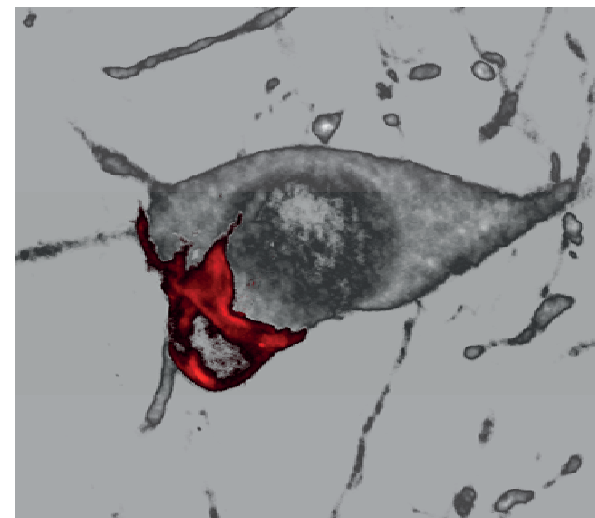
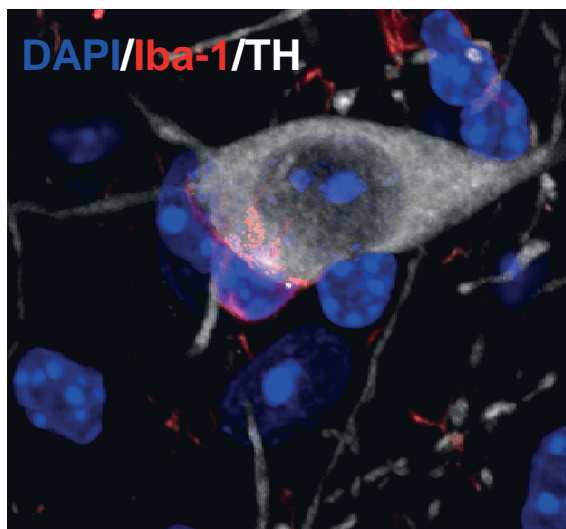
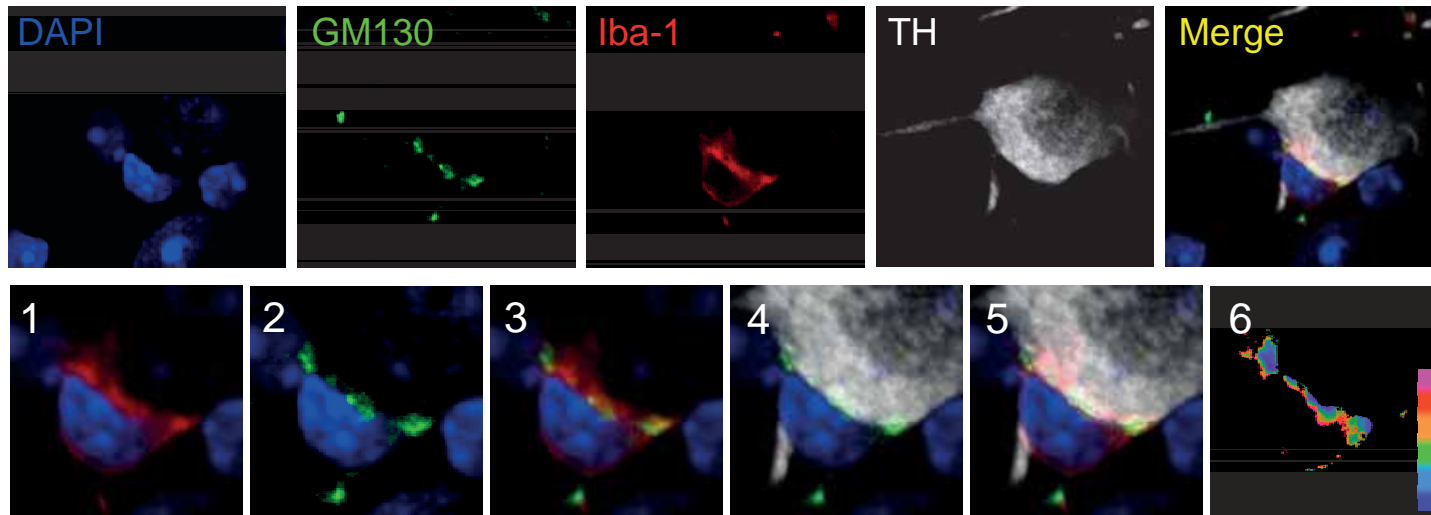
Received:

ROCK/Cdc42-mediated microglial motility and gliapse formation lead to phagocytosis of degenerating dopaminergic neurons *in vivo*

Carlos Barcia<sup>1,2</sup>, Carmen María Ros<sup>1,2</sup>, Valentina Annese<sup>1,2</sup>, María Angeles Carrillo-de Savio<sup>1,2</sup>, Francisco Ros-Bernal<sup>1,2</sup>, Aurora Gómez<sup>1,2</sup>, José Enrique Yuste<sup>1,2</sup>, Carmen María Campuzano<sup>3</sup>, Vicente de Pablos<sup>1,2</sup>, Emiliano Fernández-Villalba<sup>1,2</sup> & María Trinidad Herrero<sup>1,2</sup>

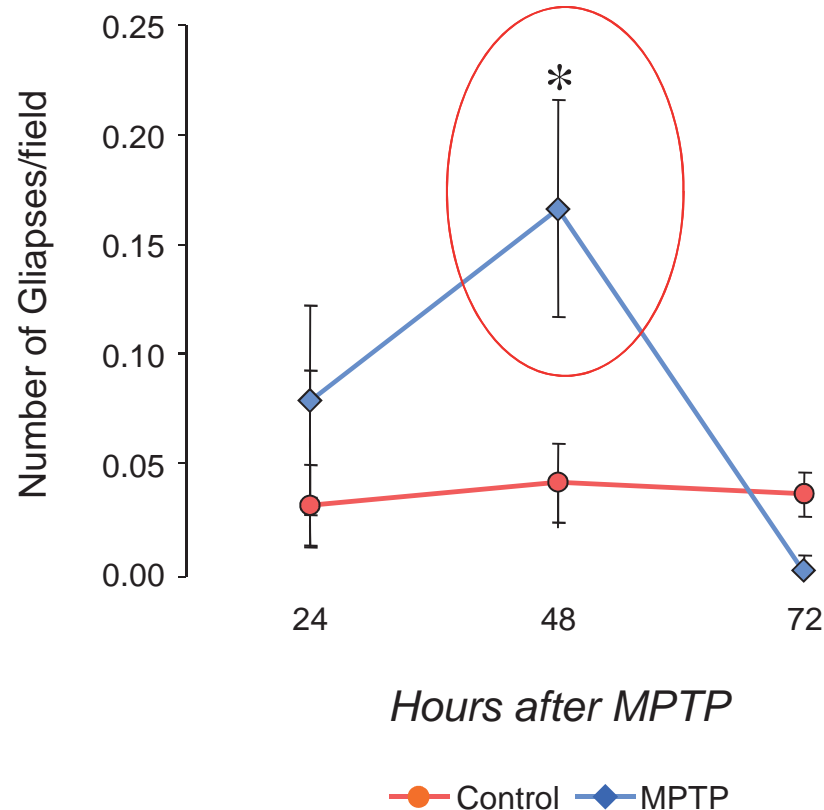
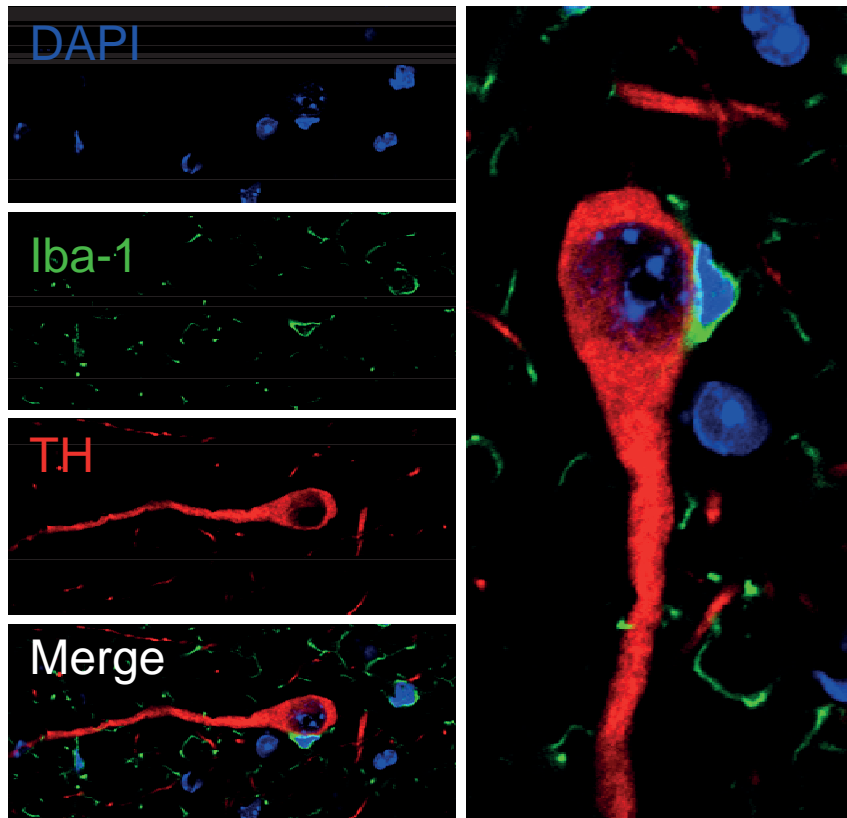
## GLIAPSIS: contactos microglía-neurona

Gliapse 1



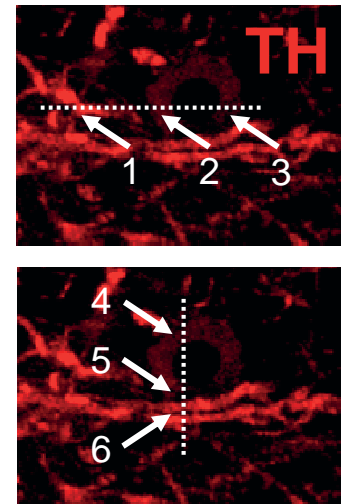
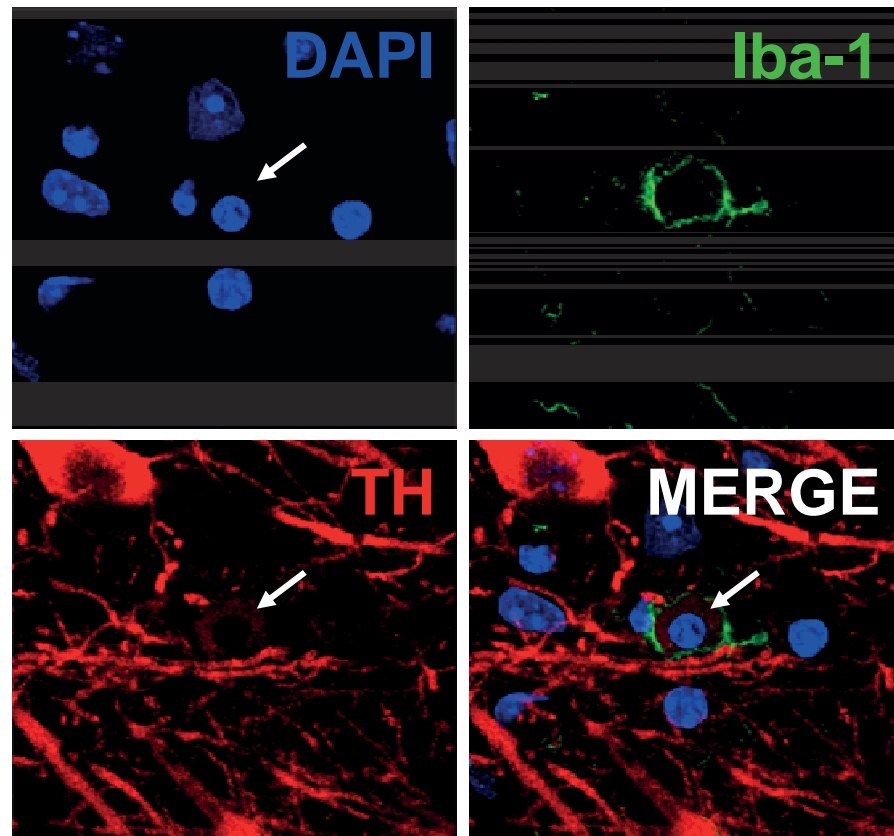
Iba-1/TH

## GLIAPSIS: contactos microglía-neurona preceden a la muerte neuronal y fagocitosis

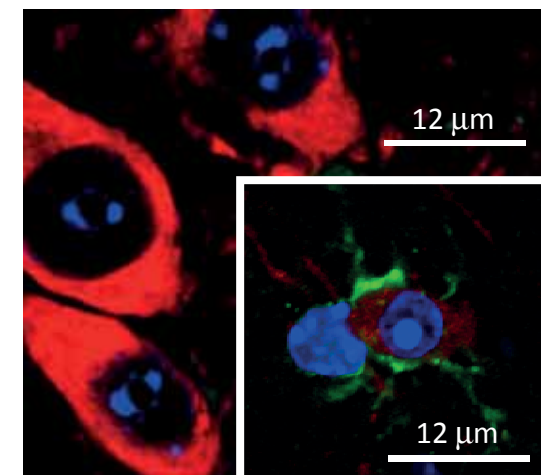




# ¿Se polariza la microglía? ¿Por qué?

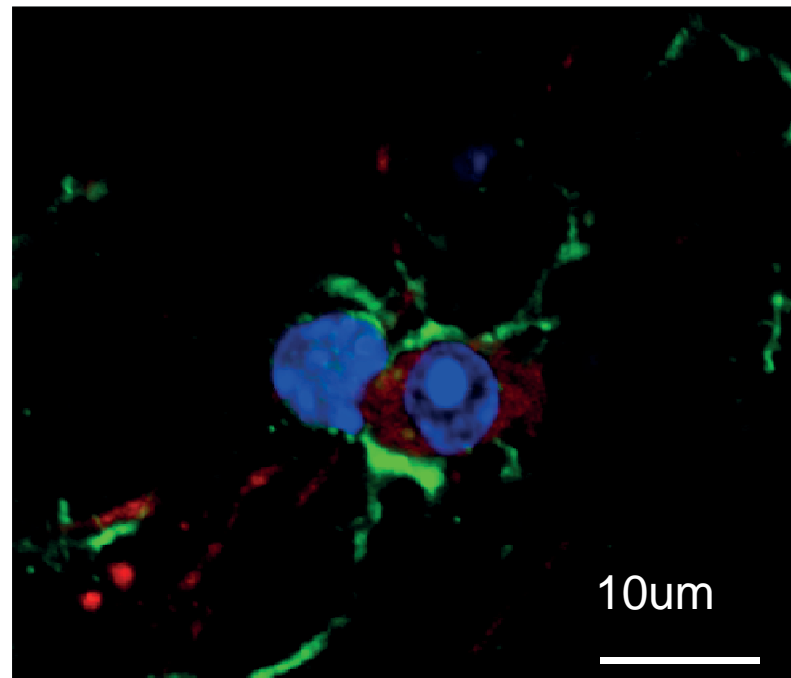
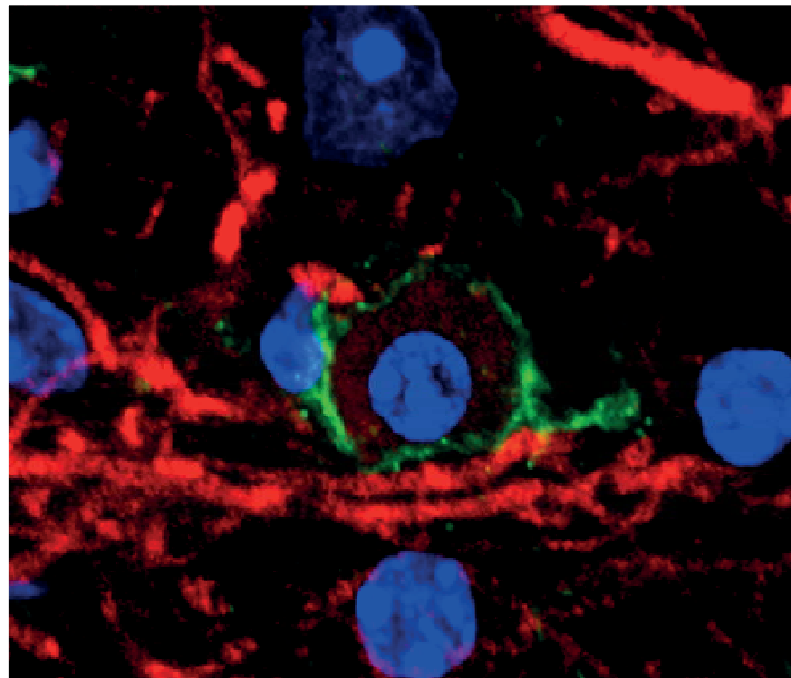


TH/Iba-1/DAPI



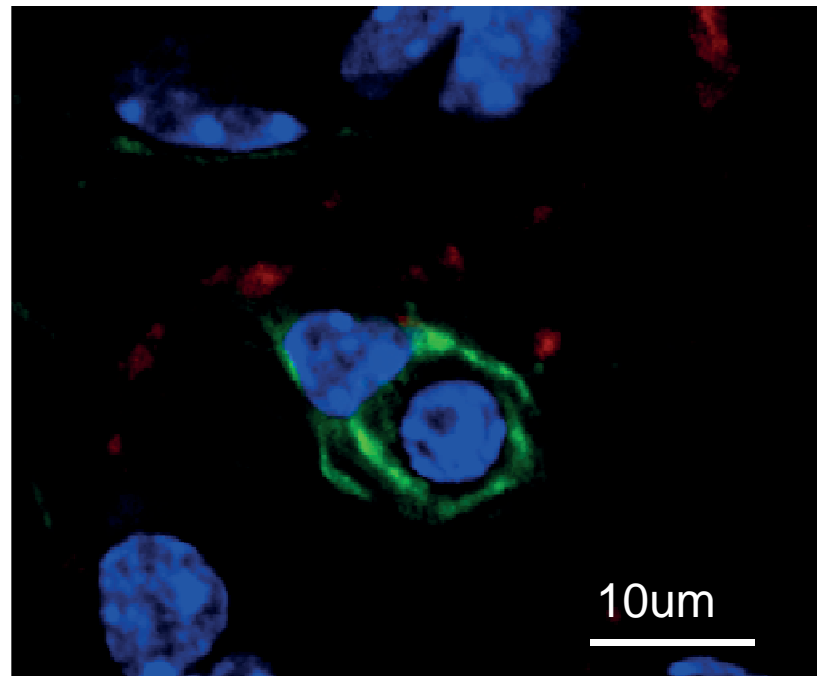
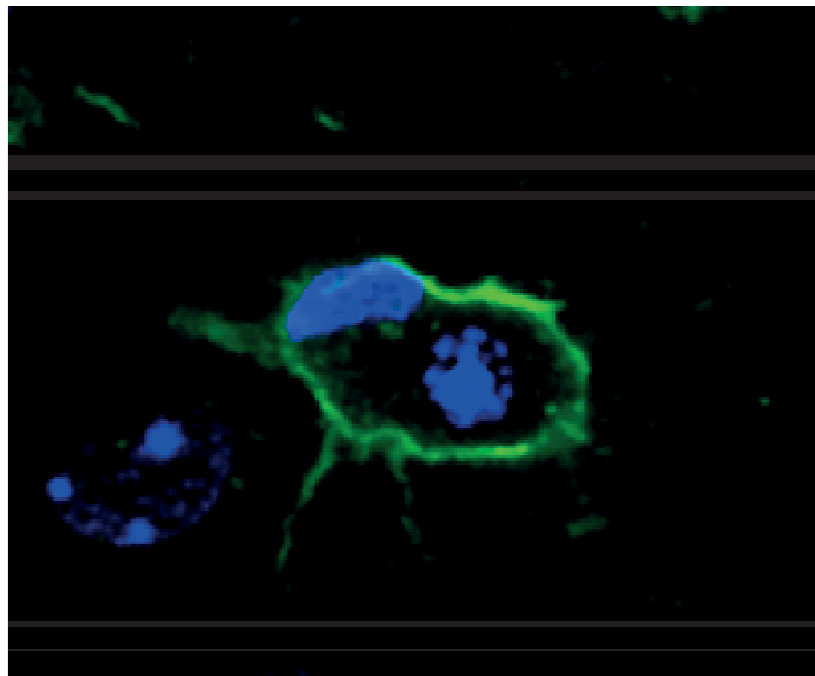
Después de la intoxicación con MPTP  
se produce fagocitosis

## Después de la intoxicación con MPTP se produce fagocitosis



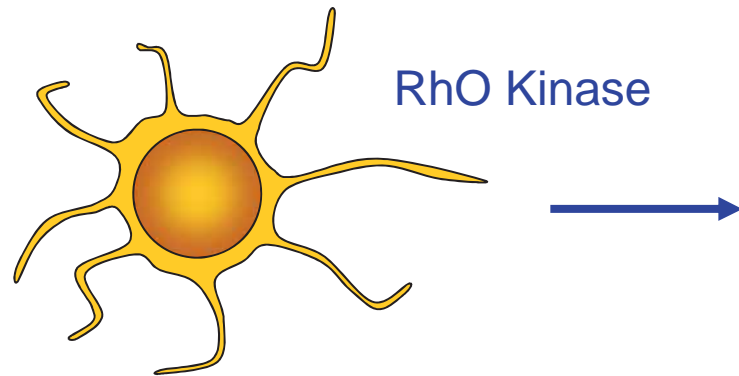
**TH/Iba-1/DAPI**

## Después de la intoxicación con MPTP se produce fagocitosis

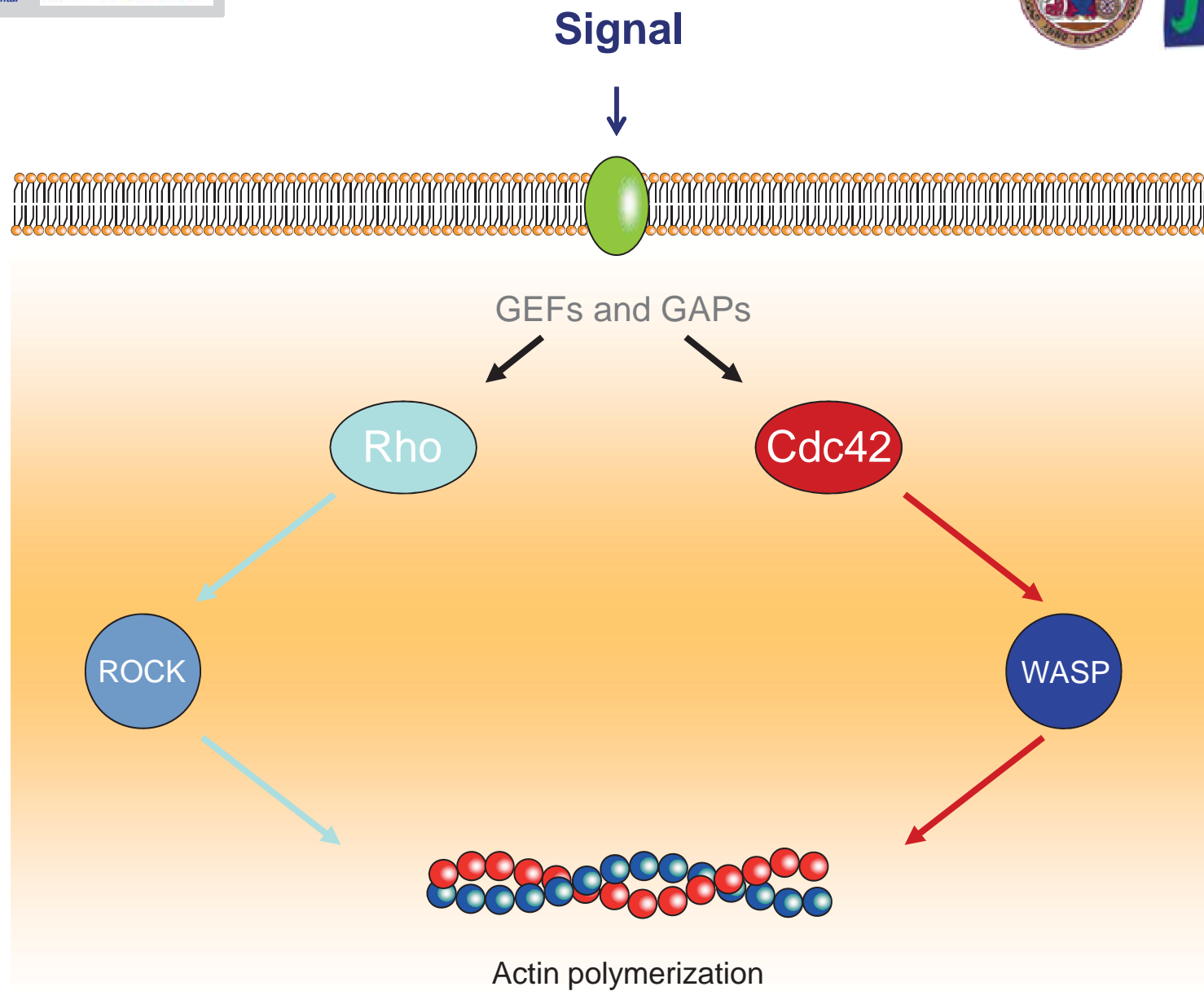


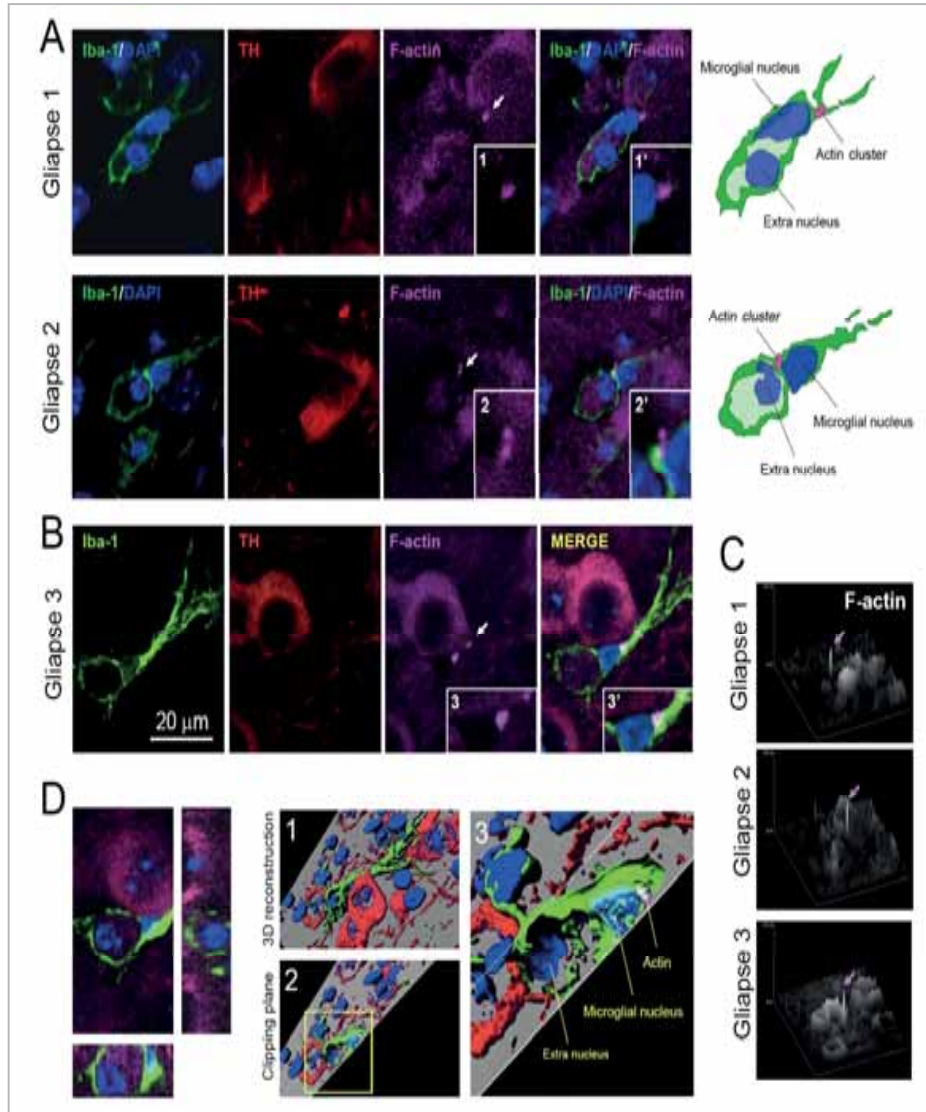
**TH/Iba-1/DAPI**

# Para fagocitar neuronas, la microglía debe polarizarse



## ¿Y si bloqueamos la polarización?





SCIENTIFIC REPORTS | 2 : 809 | DOI: 10.1038/srep00809

OPEN

SUBJECT AREAS:  
INFLAMMATION  
CELLULAR IMAGING  
CELL DEATH IN THE NERVOUS SYSTEM  
PARKINSON'S DISEASE

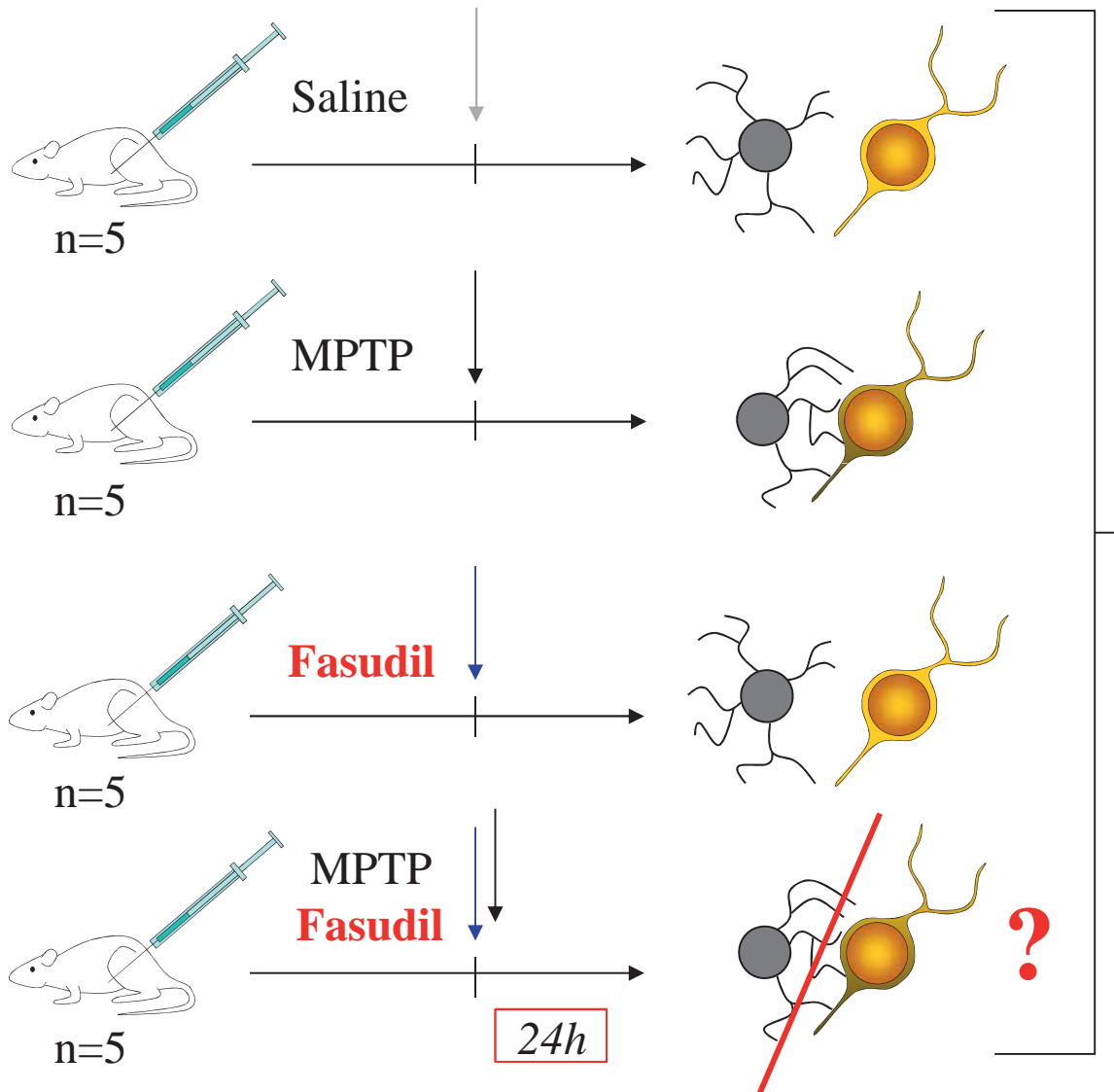
Received

## ROCK/Cdc42-mediated microglial motility and gliapse formation lead to phagocytosis of degenerating dopaminergic neurons *in vivo*

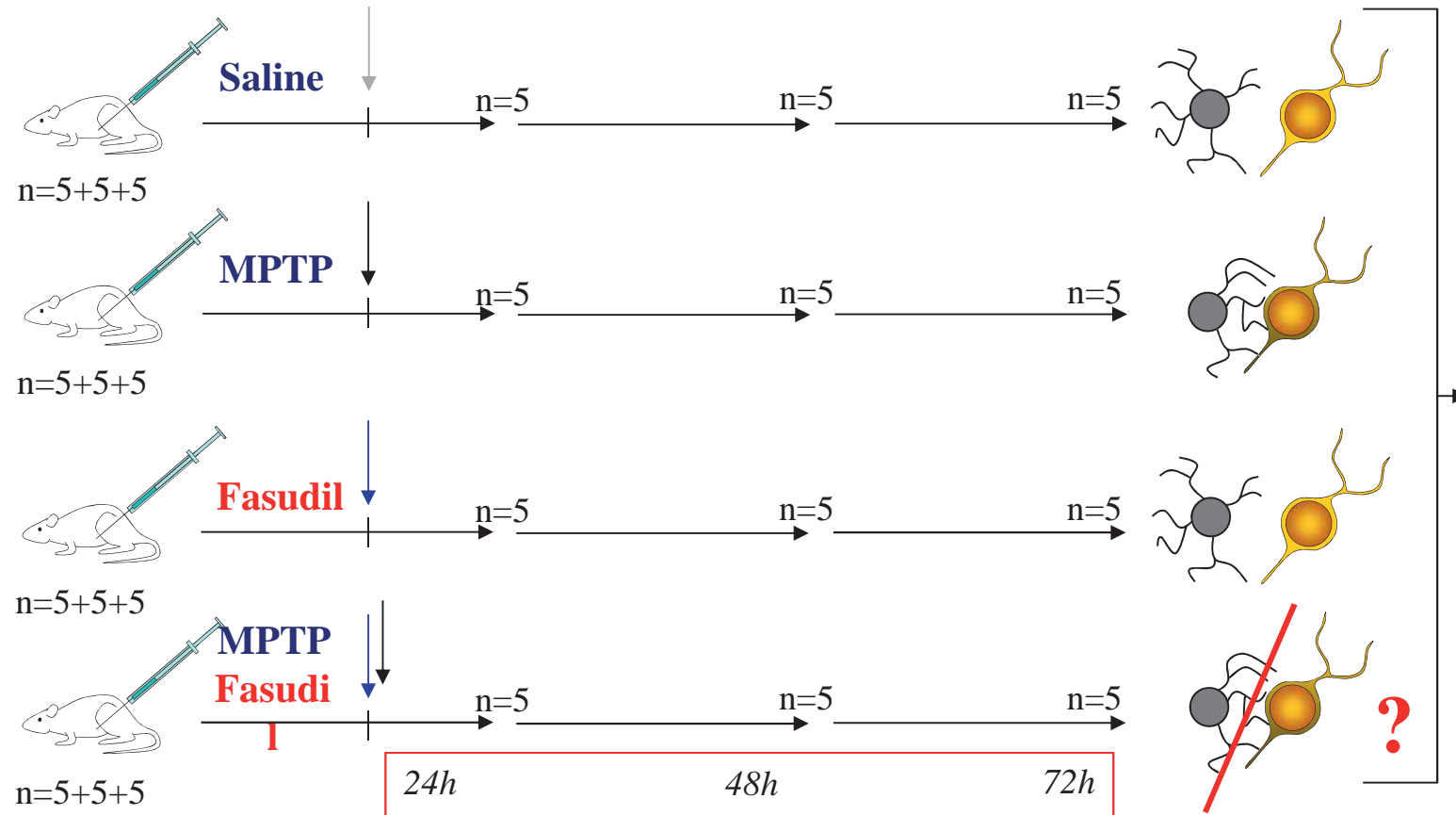
Carlos Barcia<sup>1,2</sup>, Carmen María Roa<sup>1,2</sup>, Valentina Annese<sup>1,2</sup>, María Ángeles Carrillo-de Savio<sup>1,2</sup>, Francisco Ros-Bernol<sup>1,2</sup>, Aurora Gómez<sup>1,2</sup>, José Enrique Yuste<sup>1,2</sup>, Carmen María Campuzano<sup>1</sup>, Vicente de Pablos<sup>1,2</sup>, Emilio Fernández-Villaverde<sup>1,2</sup> & María Trinidad Herrero<sup>1,2</sup>

## ROCK media:

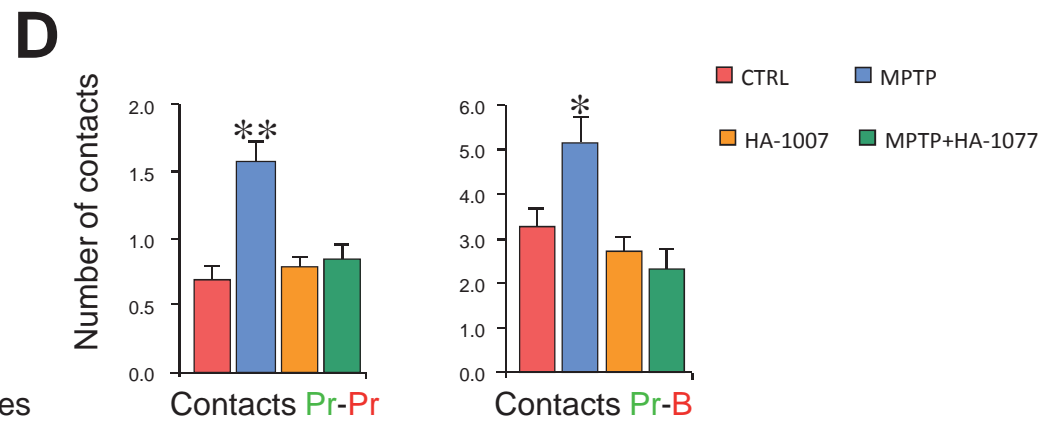
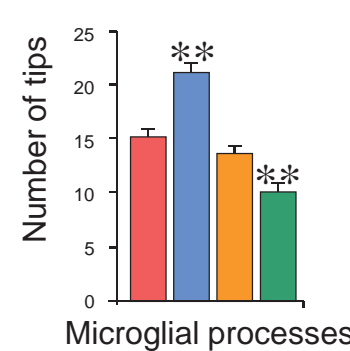
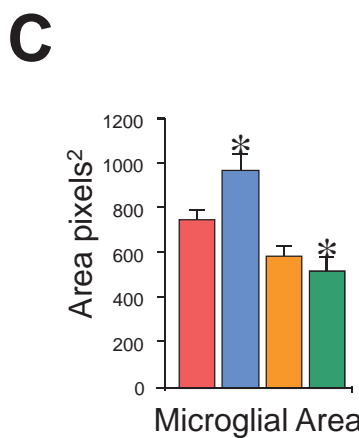
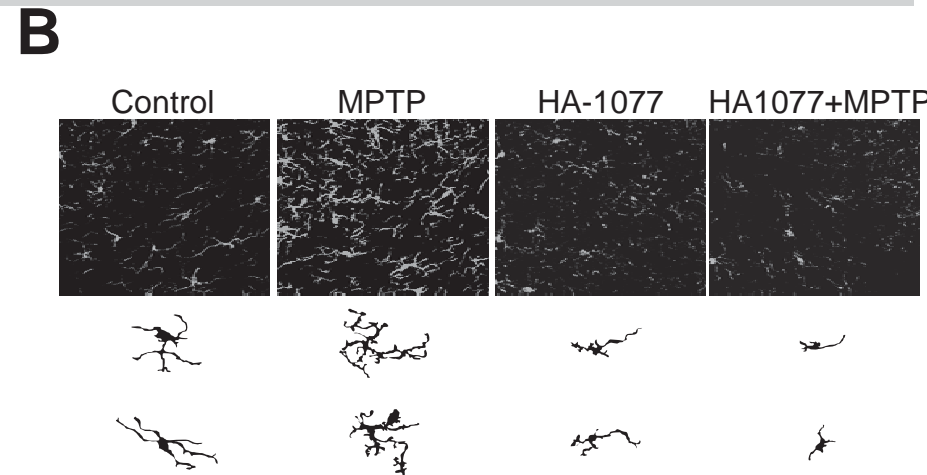
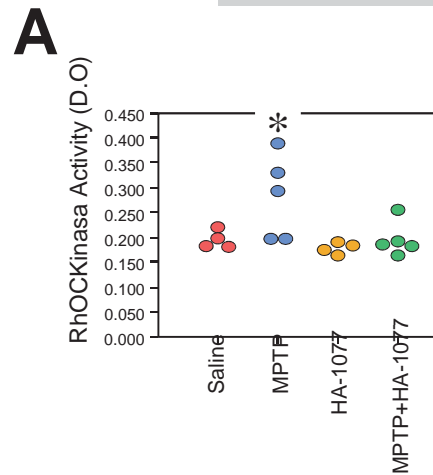
1. la motilidad de la Microglía
2. la formación de Gliapsis
3. la fagocitosis



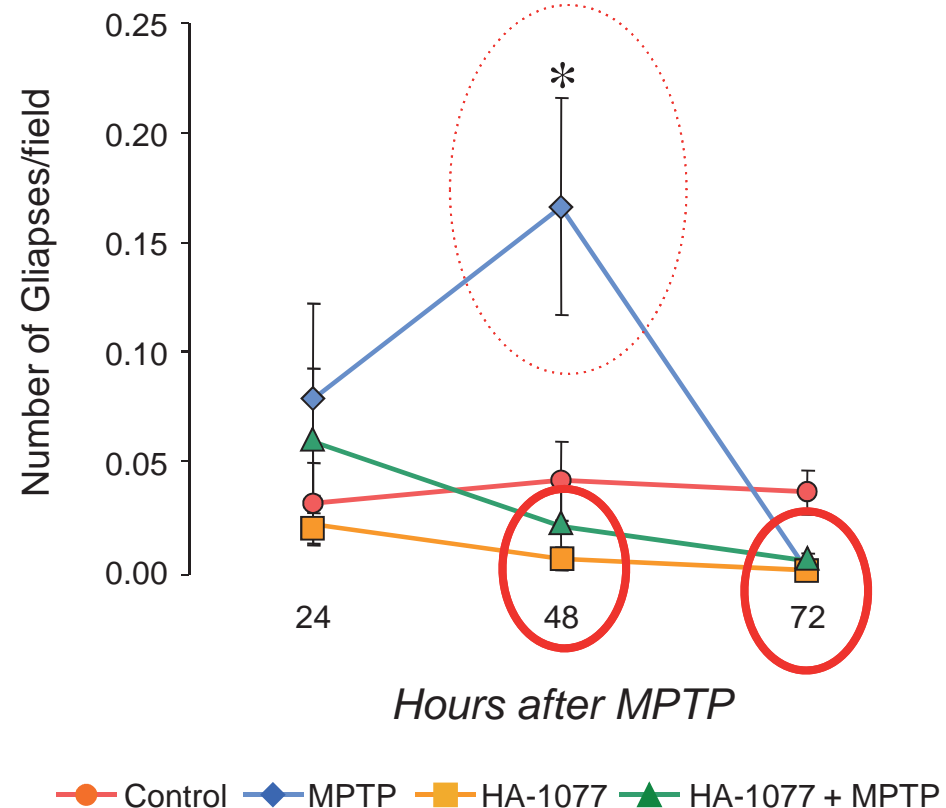
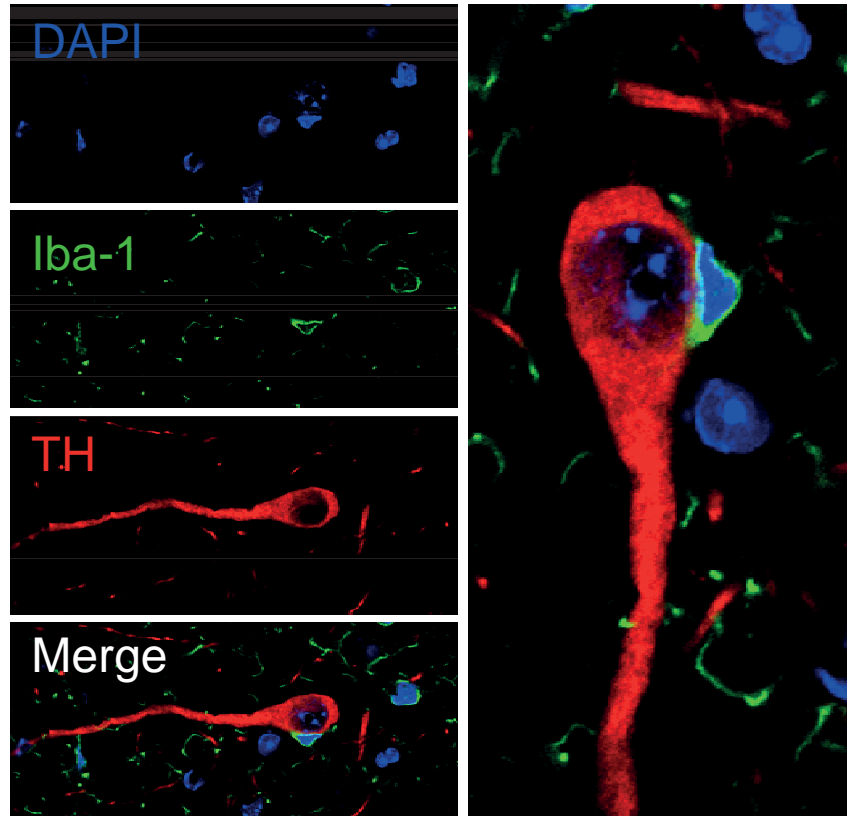
**Efecto de un inhibidor  
de ROCK**  
**Tratar con Fasudil**



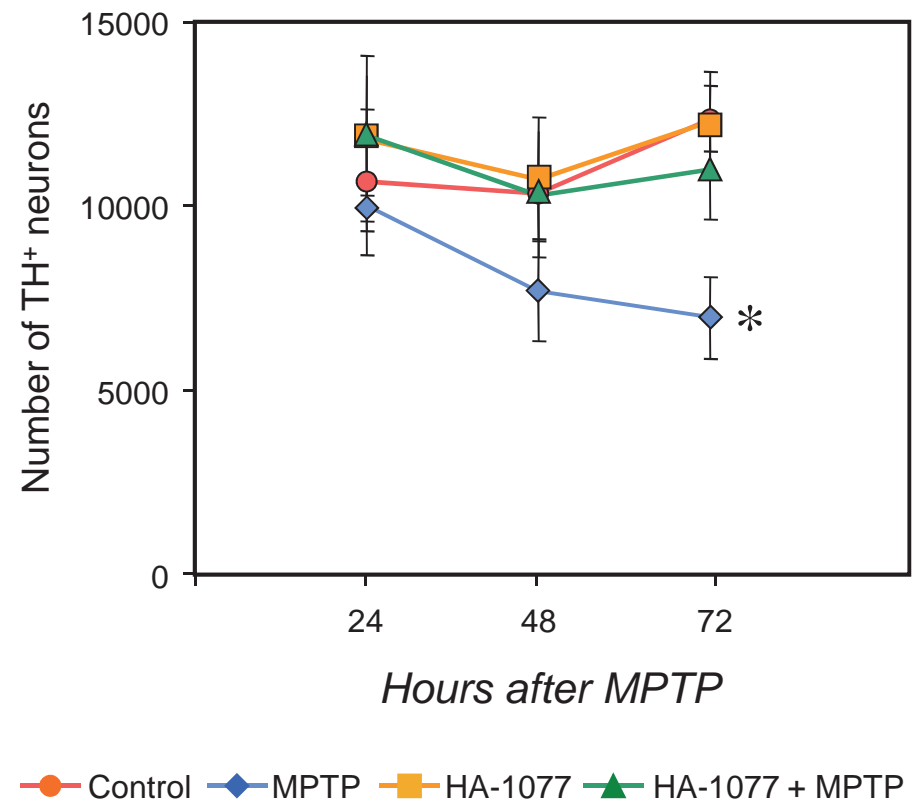
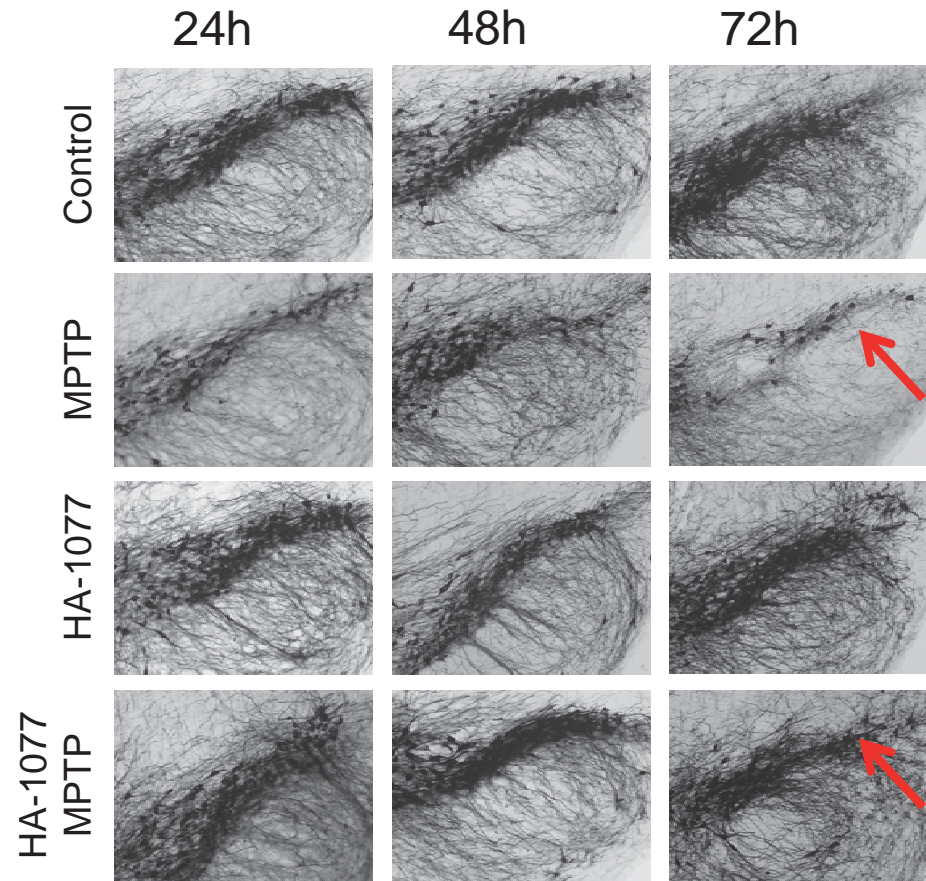
## Fasudil (HA-1077 / inhibidor de ROCK) bloquea la polarización de la microglía



## Fasudil (HA-1077 / inhibidor de ROCK) disminuye el número de GLIAPSIS



## Fasudil (HA-1077 / inhibidor de ROCK) previene la muerte de neuronas dopaminérgicas tras intoxicación con MPTP





1. La microglía se polariza hacia las neuronas dopaminérgicas tras el tratamiento con MPTP **por un mecanismo dependiente de ROCK.**
  
1. Tras el tratamiento con MPTP la polarización microglial aumenta la formación de **contactos glia-neurona (gliapsis)** que preceden a la muerte neuronal dopaminérgica.
  
1. Las neuronas **dopaminérgicas dañadas son fagocitadas por células microgliales.**
  
1. El **tratamiento con Fasudil** inhibe la polarización y la muerte dopaminérgica.
  
1. Esta estrategia podría ser beneficiosa para mantener las neuronas dopaminérgicas en la enfermedad de Párkinson y **prevenir efectos deletéreos asociados a envejecimiento cerebral fisiológico.**



**Nunca olvidamos que nosotros trabajamos por los pacientes,  
para mejorar su calidad de vida**



***La esperanza tiene formas redondeadas  
Tremendos laberintos entre nueve letras  
Un sinfín de contrariedades  
Y vueltas al punto placentero***

**José María Delgado García**

